

CONTRIBUTION

โครงการวิจกรรมโภคภัณฑ์

เรื่อง: การอนุรักษ์ตัวชุดเชยด้วยคอนโถรเลอร์บอร์ด BL1120 (Little Giant)

ผู้ดำเนินงาน: นางสาวศศิธร อันธรักษ์ปัญญา (B3904602)

อาจารย์ที่ปรึกษา: รองศาสตราจารย์ ดร. สราเวศ สุจิตร

อาจารย์สมศักดิ์ วาณิชอนันต์ชัย

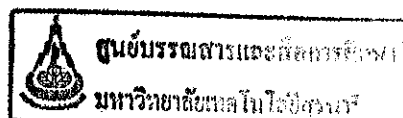
สาขาวิชาระบบที่ สาขาวิชาโภคภัณฑ์

ภาคการศึกษาที่ 3/2542

รายงานนี้เป็นส่วนหนึ่งของการศึกษาตามหลักสูตรปริญญาตรีสาขาวิชาระบบที่ สาขาวิชาโภคภัณฑ์

สำนักวิชาระบบที่ มหาวิทยาลัยเทคโนโลยีสุรนารี พ.ศ. 2542

ลิขสิทธิ์เป็นของสำนักวิชาระบบที่ มหาวิทยาลัยเทคโนโลยีสุรนารี



Telecommunication Engineering Project
“Compensator Implementation by BL1120 Controller Board (Little Giant)”
Author: Miss Sasithorn ANURAKPANYA (B3904602)
Adviser: Assoc. Prof. Sarawut SUJITJORN
Lect. Somsak WANICH-ANAN-CHAI
School of Telecommunication Engineering
Trimester 3/1999

A REPORT SUBMITTED IN PARTIAL FULFILLMENT OF THE REQUIREMENT FOR
THE DEGREE OF BACHELOR OF ENGINEERING IN TELECOMMUNICATION ENGINEERING
THE INSTITUTE OF ENGINEERING, SURANAREE UNIVERSITY OF TECHNOLOGY, 1999
COPYRIGHT RESERVED TO THE UNIVERSITY

บทคัดย่อ

โครงการวิศวกรรมโทรคมนาคมนี้ ศึกษาเกี่ยวกับการอนุวัตตัวชดเชยด้วยคอนโทรลเลอร์บอร์ด BL1120 (Little Giant) โดยมีการประยุกต์ทฤษฎีการแปลงทرانสเฟอร์ฟังก์ชันจาก s -domain ไปเป็น z -domain ด้วยเทคนิคของทูลสติน เพื่อเตรียมทرانสเฟอร์ฟังก์ชันใน z -domain มาทำการอนุวัตตัวชดเชยที่มีทرانสเฟอร์ฟังก์ชันอันดับหนึ่งและสอง โครงสร้างของตัวชดเชยที่อนุวัตด้วยนี้จะเหมือนกับโครงสร้างของตัวกรองความถี่แบบดิจิตอลชนิด IIR

เทคนิคการแปลงแบบทูลสตินนี้จะต้องมีการปรับ dc gain ของ $H(s)$ ให้เท่ากับ $H(z)$ และการปรับแก้การโถกทางความถี่ (frequency prewarping) เพิ่มเติมด้วยในกรณีที่จำเป็น แล้วจะทำให้ค่าอัตราขยายและเฟส ของ $H(s)$ ใกล้เคียงกับ $H(z)$ มากยิ่งขึ้น โดยมีผลการทดสอบเป็นสิ่งยืนยัน

ABSTRACT

This Telecommunication Engineering Project is concerned with the implementation of digital compensator using the BL1120 (Little Giant) controller board. Preparation of $H(z)$ for the first and second order compensator implementation utilizes transformation from $H(s)$ to $H(z)$ based on Tustin's approximation. Also, Structure of compensator is similar to IIR digital filter.

Dc gain adaptation and frequency prewarping may be added for Tustin's transformation because they make gain and phase in s -domain close to the ones in z -domain. Compensator testing shows this effects.

กิตติกรรมประกาศ

ผู้เขียนขอขอบพระคุณบุพการีที่อบรมสั่งสอนและเตือนดู รวมทั้งให้การสนับสนุนอย่างคิมา
โดยตลอด

ขอขอบพระคุณ รองศาสตราจารย์ ดร. สราเวศิ สุจิตรา และ อาจารย์สมศักดิ์ วานิชอนันต์ชัย
ในฐานะอาจารย์ที่ปรึกษาโครงการวิศวกรรมโทรคมนาคมที่ให้คำปรึกษาและแนะนำในการทำงานชิ้น
นี้งานต่าง ๆ สำเร็จลุล่วงไปได้ด้วยดี

ขอขอบคุณ Mr. Allan Pentecost, Mr. David Terra and Mr. Richard Jenson (Technician
Support Services Department) จากบริษัท Z-World ประเทศสหรัฐอเมริกา ที่ให้คำแนะนำเกี่ยวกับการ
ใช้งานโปรแกรมไกด์ไลน์มิกซ์ซี

ขอขอบคุณ คุณประพลด สาระตะคุ สำหรับการอำนวยความสะดวกในการยื่นอุปกรณ์การ
ทดสอบ

นอกจากนี้ผู้เขียนขอขอบคุณ คุณศุภชาติ วรรณิ คุณณัฐนันท์ พัดพิทักษ์กุล คุณฤทธิ์ตน์ ชิน
เวชกิจวนิชย์ และคุณแพดเจ็ต เพ่าละออ สำหรับกำลังใจและให้ความช่วยเหลือทุกอย่างแก่ผู้เขียนรวมทั้ง
เพื่อน ๆ ทุกคนที่เคยเป็นกำลังใจในระหว่างทั้งรายงานฉบับนี้เสร็จสิ้น โดยสมบูรณ์

นางสาวศศิธร อนุรักษ์บัญญา

สารบัญ

สารบัญ (ต่อ)

	หน้า
2.6 ค่อน ไทรอลเลอร์บอร์ด BL1120 (Little Giant)	34
2.6.1 ส่วนประกอบของค่อน ไทรอลเลอร์บอร์ด	35
2.6.2 สิ่งที่ควรทำก่อนการใช้งานบอร์ด	37
2.6.3 การกำหนดค่าเริ่มต้นให้กับส่วนประกอบต่าง ๆ ของ ค่อน ไทรอลเลอร์บอร์ดเพื่อใช้ในการอนุวัตตัวชุดเชย	38
บทที่ 3 โปรแกรมการอนุวัตตัวชุดเชยด้วยค่อน ไทรอลเลอร์บอร์ด BL1120 (Little Giant)	48
3.1 กล่าวนำ	48
3.2 ภาพรวมของการอนุวัตตัวชุดเชย	49
3.2.1 โปรแกรมการอนุวัตตัวชุดเชยที่มีกราฟิกชั้นอันดับหนึ่ง	49
3.2.2 โปรแกรมการอนุวัตตัวชุดเชยที่มีกราฟิกชั้นอันดับสอง	54
3.2.3 การคำนวณเพื่อกำหนดค่าความถี่ที่ใช้ในการสุ่มสัญญาณ (Sampling frequency, f_s)	59
3.3 โปรแกรมการแปลงกราฟิกชั้นจาก s-domain ไปเป็น z-domain แบบทุกสติน	62
บทที่ 4 การทดสอบโปรแกรมการอนุวัตตัวชุดเชยด้วยค่อน ไทรอลเลอร์บอร์ด	
BL1120 (Little Giant)	65
4.1 กล่าวนำ	65
4.2 วิธีทดสอบโปรแกรมการอนุวัตตัวชุดเชยด้วยค่อน ไทรอลเลอร์บอร์ด BL1120 (Little Giant)	65
4.2.1 อุปกรณ์ที่ใช้ในการทดสอบ	65
4.2.2 การวัดอัตราขยายและเฟสของสัญญาณเอาท์พุท	66
4.3 การทดสอบโปรแกรมการรับและส่งสัญญาณด้วยค่อน ไทรอลเลอร์บอร์ด BL1120 (Little Giant)	70
4.4 การทดสอบโปรแกรมการอนุวัตตัวชุดเชยด้วยค่อน ไทรอลเลอร์บอร์ด BL1120 (Little Giant)	78
4.4.1 การทดสอบโปรแกรมการอนุวัตตัวชุดเชยที่มีกราฟิกชั้นอันดับหนึ่ง	78
4.4.2 การทดสอบโปรแกรมการอนุวัตตัวชุดเชยที่มีกราฟิกชั้นอันดับสอง	81

สารบัญ (ต่อ)

	หน้า
บทที่ 5 ข้อสรุปและข้อเสนอแนะ	84
5.1 ข้อสรุป	84
5.2 ข้อเสนอแนะ	85
บรรณานุกรม	86
ภาคผนวก	87
(ก) โปรแกรมการอนุวัตตัวชุดเชยที่มีทรานสเฟอร์ฟิ้งก์ชันอันดับหนึ่ง	88
(ข) โปรแกรมการอนุวัตตัวชุดเชยที่มีทรานสเฟอร์ฟิ้งก์ชันอันดับสอง	91
(ค) โปรแกรมการแปลงทรานสเฟอร์ฟิ้งก์ชันจาก s-domain ไปเป็น z-domain แบบทุกดิน	94
(ง) โปรแกรมการทดสอบการรับและส่งสัญญาณด้วยคอนโทรลเลอร์บอร์ด BL1120 (Little Giant)	97
(จ) ผลการทดสอบโปรแกรมการรับและส่งสัญญาณด้วยคอนโทรลเลอร์บอร์ด BL1120 (Little Giant)	100
(ฉ) โปรแกรมที่ใช้ทดสอบ โปรแกรมการอนุวัตตัวชุดเชยที่มีทรานสเฟอร์ฟิ้งก์ชัน อันดับหนึ่งและสอง	104
(ช) ค่าอัตราขยายและเฟสที่ได้จากการทดสอบ โปรแกรมการอนุวัตตัวชุดเชยที่มี ทรานสเฟอร์ฟิ้งก์ชันอันดับหนึ่งและสอง	109
ประวัติผู้เขียน	112

สารบัญตาราง

หน้า

ตารางที่ 2.1	ความสัมพันธ์ในรูปทั่วไปสำหรับการแปลง $G(s)$ อันดับหนึ่งและสอง ไปเป็น $G(z)$ ด้วยการแปลงแบบทุสติน	13
ตารางที่ 2.2	การเปรียบเทียบข้อดีและข้อด้อยของตัวกรองความถี่ชั้นนิด IIR และ FIR	16
ตารางที่ 2.3	ชื่อของตัวดำเนินบนบอร์ดกับบนแพนภาควงจร	41
ตารางที่ 3.1	เวลาที่ใช้ในการทำงานของแต่ละส่วนในโปรแกรมการอนุวัตตัวชุดเซย์ที่มี ทรานสเฟอร์ฟังก์ชันอันดับหนึ่ง	59
ตารางที่ 3.2	เวลาที่ใช้ในการทำงานของแต่ละส่วนในโปรแกรมการอนุวัตตัวชุดเซย์ที่มี ทรานสเฟอร์ฟังก์ชันอันดับสอง	61
ตารางที่ จ.1	ค่าอัตราขยายและช่วงความถี่ที่ค่าอัตราขยายเท่ากันจากการทดสอบ การรับและส่งสัญญาณด้วยคอนโทรลเลอร์บอร์ด ที่ความถี่ในการสุ่ม สัญญาณ 1 kHz โดยทำการเปลี่ยนแปลงขนาดของสัญญาโนินพุท พร้อมแสดงค่าเฉลี่ยที่นำໄไปใช้ในการอนุวัต	101
ตารางที่ จ.2	ค่าอัตราขยายและช่วงความถี่ที่ค่าอัตราขยายเท่ากันจากการทดสอบ การรับและส่งสัญญาณด้วยคอนโทรลเลอร์บอร์ด ที่ความถี่ในการ การสุ่มสัญญาณ 500 Hz โดยทำการเปลี่ยนแปลงขนาดของ สัญญาโนินพุท พร้อมแสดงค่าเฉลี่ยที่นำໄไปใช้ในการอนุวัต	101
ตารางที่ จ.3	ค่าอัตราขยายและเฟสที่ได้จากการโปรแกรมทดสอบการรับ และส่งสัญญาณด้วยคอนโทรลเลอร์บอร์ด BL1120 (Little Giant) ที่ความถี่ในการสุ่มสัญญาณเท่ากับ 1 kHz และใช้สัญญาโนินพุท ที่มีขนาด $0.216 V_{pp}$	102
ตารางที่ จ.4	ค่าอัตราขยายและเฟสที่ได้จากการโปรแกรมทดสอบการรับ และส่งสัญญาณด้วยคอนโทรลเลอร์บอร์ด BL1120 (Little Giant) ที่ความถี่ในการสุ่มสัญญาณเท่ากับ 500 Hz และใช้สัญญาโนินพุท ที่มีขนาด $0.216 V_{pp}$	103
ตารางที่ จ.1	ค่าอัตราขยายและเฟสที่ได้จากการทดสอบตัวชุดเซย์ที่มี ทรานสเฟอร์ฟังก์ชันอันดับหนึ่ง ที่ความถี่ในการสุ่มสัญญาณเท่ากับ 1 kHz	110

ตารางที่ ช.2 ค่าอัตราขยายและเฟสที่ได้จากการทดสอบตัวชุดขยายที่มี
ทรานส์ฟอร์มเก็บชั้นอันดับสอง ที่ความถี่ในการสุ่มสัญญาณ
ท่ากับ 500 Hz

111

สารบัญ

หน้า

รูปที่

1.1 การทำงานของโปรแกรมการอนุวัตตัวชดเชยที่มีทรานสเฟอร์ฟังก์ชันอันดับหนึ่ง	1
1.2 การทำงานของโปรแกรมการอนุวัตตัวชดเชยที่มีทรานสเฟอร์ฟังก์ชันอันดับสอง	2
2.1 การประมาณพื้นที่โดยการใช้สี่เหลี่ยมคางหมู	9
2.2 Mapping จาก s-plane ไปบน z-plane โดยใช้การแปลงแบบทุสติน (ไบลิเนียร์)	9
2.3 โครงสร้างของตัวกรองความถี่ดิจิตอลในเวลาจริง	14
2.4 การนำเสนอข้อมูลของตัวกรองความถี่แบบดิจิตอล	15
2.5 องค์ประกอบพื้นฐานที่ใช้ในโครงสร้างตัวกรองความถี่	18
2.6 โครงสร้างแบบตรง (Direct Form)	19
2.7 โครงสร้างของ second-order ที่ใช้ในการสร้างตัวกรองความถี่แบบดิจิตอลชนิด IIR ในทางปฏิบัติ: (a) canonic second-order section; (b) direct form second-order section.	20
2.8 โครงสร้างทรานสโพส (a) transpose canonic second-order; (b) transpose direct form second-order.	22
2.9 โครงสร้างแบบต่อเรียงกัน (Cascade Form)	23
2.10 โครงสร้างแบบต่อขนาน (Parallel Form)	25
2.11 โครงสร้างที่ใช้ในการอนุวัตตัวชดเชยที่มีทรานสเฟอร์ฟังก์ชันอันดับหนึ่ง	27
2.12 โครงสร้างที่ใช้ในการอนุวัตตัวชดเชยที่มีทรานสเฟอร์ฟังก์ชันอันดับหนึ่ง	28
2.13 หน้าต่างของโปรแกรมไกดามิกส์ซี	32
2.14 การปรับตั้งค่าที่ Serial Options	33
2.15 การปรับตั้งค่าที่ Communications port (COM1) properties	34
2.16 ส่วนประกอบของคอนโทรลเลอร์บอร์ด BL1120 (Little Giant)	35
2.17 การปรับตั้งค่า J25 และ J12:1-2 บนคอนโทรลเลอร์บอร์ด	38
2.18 วงจรของตัวขยายสัญญาณก่อนที่สัญญาณอินพุทจะเข้าไปยังส่วนของ ADC	39
2.19 ตำแหน่งของตัวค้านทานบนบอร์ด	41
2.20 ตัวค้านทานแบบต่าง ๆ	42
2.21 รูปแบบของวงจรขยายสัญญาณก่อนที่สัญญาณอินพุทจะผ่านไปยัง ADC	42

สารบัญรูป (ต่อ)

หน้า

รูปที่

2.22 วงจรของตัวแปลงสัญญาณอนาล็อกเป็นดิจิตอล (ADC) และตัวแปลงสัญญาณดิจิตอลเป็นอนาล็อก (DAC)	45
2.23 แผนภาพของ CTC counter/timerฯ	46
3.1 แผนภูมิการทำงานของโปรแกรมการอนุวัตตัวชุดเชยที่มีทราบสไฟอร์ฟังก์ชัน อันดับหนึ่ง	51
3.2 กระบวนการทำงานของบล็อกที่สินสี่และสินห้า	53
3.3 แผนภูมิการทำงานของโปรแกรมการอนุวัตตัวชุดเชยที่มีทราบสไฟอร์ฟังก์ชัน อันดับสอง	56
3.4 กระบวนการทำงานของบล็อกที่สินสี่และสินห้า	58
3.5 การใช้งานโปรแกรมการแปลงแบบทุสตินใน MATLAB	62
3.6 ผลการทำงานของโปรแกรมการแปลงแบบทุสตินสำหรับทราบสไฟอร์ฟังก์ชัน อันดับหนึ่ง	63
3.7 ผลการทำงานของโปรแกรมการแปลงแบบทุสตินสำหรับทราบสไฟอร์ฟังก์ชัน อันดับสอง	64
4.1 การต่ออุปกรณ์เพื่อใช้ในการทดสอบ	66
4.2 ภาพสัญญาณอินพุตและเอาท์พุตพร้อมการอ่านค่าแรงดันและความถี่	67
4.3 การวัดความถี่สัญญาณของสัญญาณอินพุต	68
4.4 การวัดเวลาที่ต่างกันของอินพุตกับเอาท์พุต	69
4.5 การวัดค่าแรงดันกรณีใช้ CURSOR	70
4.6 อัตราขยายและเฟสของสัญญาณจากการทดสอบโปรแกรมการรับและส่งสัญญาณ ด้วยคอนโทรลเลอร์บอร์ด ที่ความถี่ของการสุ่มสัญญาณ 1 kHz และใช้สัญญาณ อินพุต $0.216 V_{pp}$	71
4.7 รูปสัญญาณที่ความถี่ 4.950 Hz โดยมีความถี่ในการสุ่มสัญญาณเท่ากับ 1 kHz	72
4.8 รูปสัญญาณที่ความถี่ 29.07 Hz โดยมีความถี่ในการสุ่มสัญญาณเท่ากับ 1 kHz	72
4.9 รูปสัญญาณที่ความถี่ 31.25 Hz ซึ่งเป็นค่าความถี่ที่มากที่สุดที่สัญญาณอินพุตขังมีเฟส	

สารบัญรูป (ต่อ)

หน้า

รูปที่

4.10 รูปสัญญาณที่ความถี่ 200 Hz ซึ่งเป็นค่าความถี่ที่มากที่สุดที่สัญญาณเอาท์พุทยังไม่ ผิดเพี้ยนไปจากสัญญาณอินพุท โดยความถี่ในการสุ่มสัญญาณเท่ากับ 1 kHz	73
4.11 อัตราขยายและเฟสของสัญญาณจากการทดสอบ โปรแกรมการรับและส่งสัญญาณ ด้วยคอนโทรลเลอร์ ที่ความถี่ของการสุ่มสัญญาณ 500 Hz และใช้สัญญาณ อินพุท $0.216 V_{pp}$	74
4.12 รูปสัญญาณที่ความถี่ 6.623 Hz โดยความถี่ในการสุ่มสัญญาณเท่ากับ 500 Hz	75
4.13 รูปสัญญาณที่ความถี่ 25.25 Hz ซึ่งเป็นค่าความถี่ที่มากที่สุดที่สัญญาณอินพุทยังมี เฟสเท่ากับเอาท์พุท โดยความถี่ในการสุ่มสัญญาณเท่ากับ 500 Hz	75
4.14 รูปสัญญาณที่ความถี่ 33.78 Hz โดยความถี่ในการสุ่มสัญญาณเท่ากับ 500 Hz	76
4.15 รูปสัญญาณที่ความถี่ 100 Hz ซึ่งเป็นค่าความถี่ที่มากที่สุดที่สัญญาณเอาท์พุทยังไม่ ผิดเพี้ยนไปจากสัญญาณอินพุท โดยความถี่ในการสุ่มสัญญาณเท่ากับ 500 Hz	76
4.16 ผลตอบสนองทางความถี่ของตัวชดเชยที่มี蜓านสเฟอร์ฟิŋก์ชันอันดับหนึ่ง ที่ความถี่ในการสุ่มสัญญาณเท่ากับ 1 kHz	80
4.17 ผลตอบสนองทางความถี่ของตัวชดเชยที่มี蜓านสเฟอร์ฟิŋก์ชันอันดับสอง ที่ความถี่ในการสุ่มสัญญาณเท่ากับ 500 Hz	82

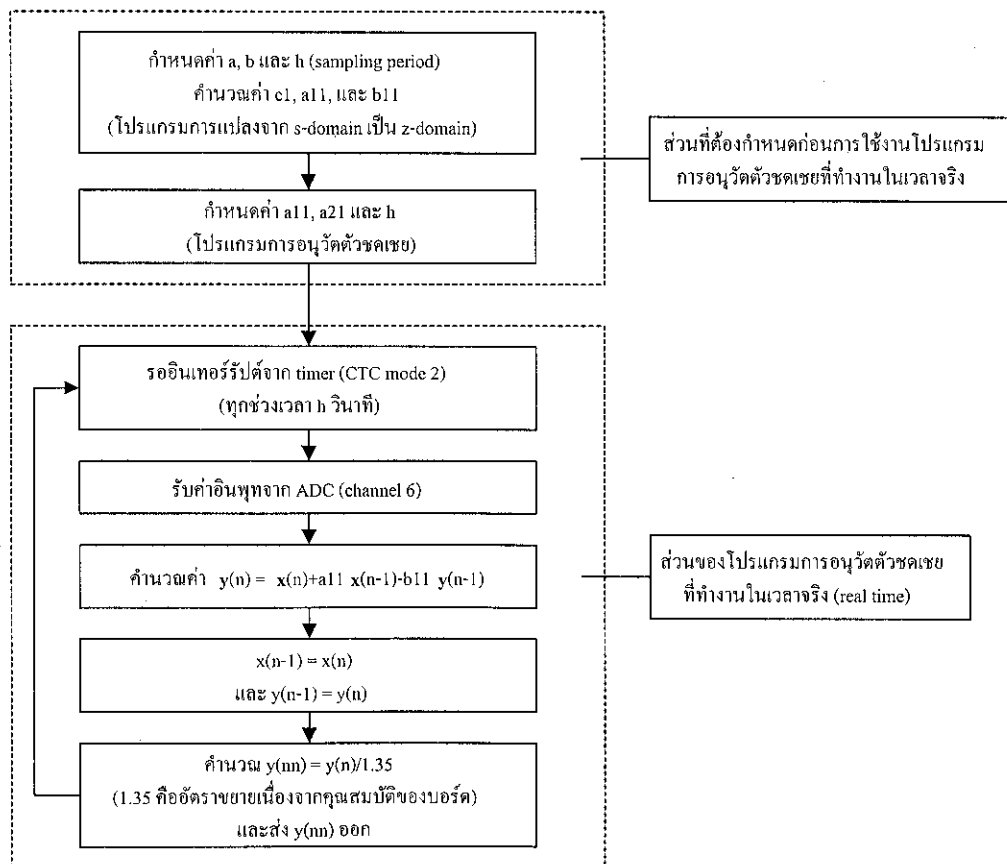
บทที่ 1

บทนำ

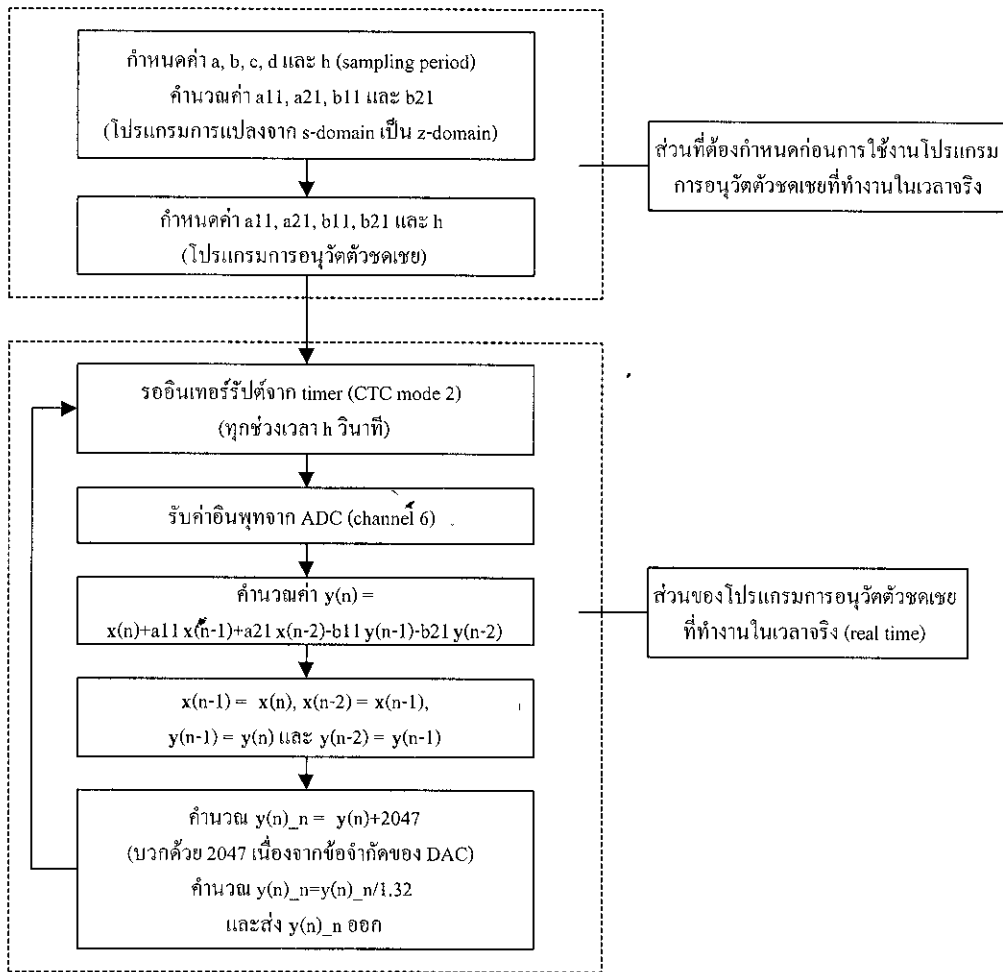
1.1 กล่าวนำ

โครงการวิศวกรรมโทรคมนาคม (Telecommunication-Engineering Project) ภายใต้รายวิชา 409469 เกี่ยวกับการอนุวัตตัวชดเชย (compensator) หรือตัวควบคุม (controller) ด้วยคอนโทรลเลอร์บอร์ด BL1120 (Little Giant) โปรแกรมการอนุวัตตัวชดเชยที่พัฒนาขึ้นในโครงการนี้ ประกอบด้วย โปรแกรมการอนุวัตตัวชดเชยที่มีทรานสเฟอร์ฟังก์ชันอันดับหนึ่งและสอง นอกเหนือไปยัง มีโปรแกรมการแปลงทรานสเฟอร์ฟังก์ชันจาก s -domain ไปเป็น z -domain โดยที่โปรแกรมการอนุวัตตัวชดเชยที่มีทรานสเฟอร์ฟังก์ชันอันดับหนึ่งและสองจะมีโครงสร้างการทำงานดังรูปที่ 1.1 และ

1.2 ตามลำดับ



รูปที่ 1.1 การทำงานของโปรแกรมการอนุวัตตัวชดเชยที่มีทรานสเฟอร์ฟังก์ชันอันดับหนึ่ง



รูปที่ 1.2 การทำงานของโปรแกรมการอนุวัตตัวชุดเชยที่มีทรานสเฟอร์ฟังก์ชันอันดับสอง

รูปที่ 1.1 อธิบายลักษณะการทำงานของโปรแกรมการอนุวัตตัวชุดเชยที่มีทรานสเฟอร์ฟังก์ชันอันดับหนึ่ง การทำงานแบ่งออกเป็นสองส่วน ส่วนแรกเป็นการกำหนดค่าตัวแปรต่าง ๆ ที่ใช้ในโปรแกรมการอนุวัตตัวชุดเชย ได้แก่ ตัวแปรที่ใช้กำหนดค่าเริ่มต้นของคอนโทรลเลอร์บอร์ด BL1120 (Little Giant) และค่าสัมประสิทธิ์ของตัวชุดเชยซึ่งอาศัยความสัมพันธ์แบบทฤษฎินจากการแปลง s-domain ไปเป็น z-domain โดยใช้โปรแกรมที่เขียนขึ้นใน MATLAB ส่วนที่สองจะเป็นการทำงานของโปรแกรมการอนุวัตตัวชุดเชยที่มีทรานสเฟอร์ฟังก์ชันอันดับหนึ่ง

รูปที่ 1.2 อธิบายลักษณะการทำงานของโปรแกรมการอนุวัตตัวชุดเชยที่มีทรานสเฟอร์ฟังก์ชันอันดับสอง การทำงานแบ่งออกเป็นสองส่วน เช่นกัน จะเห็นได้ว่าการทำงานจะคล้ายคลึงกัน เพียงแต่ในอันดับที่สองนี้จะมีการกำหนดค่าสัมประสิทธิ์ a21 และ b21 รวมทั้งผลจากข้อจำกัดของ DAC เพิ่มขึ้นมา รายละเอียดการทำงานของแต่ละส่วน จะอธิบายในบทต่อ ๆ ไป

1.2 วัตถุประสงค์ของโครงการ

1. เพื่อศึกษาการทำงานของคอนโทรลเลอร์บอร์ด BL1120 (Little Giant)
2. เพื่อศึกษาการโปรแกรมในไคนามิกส์ซี รุ่น 5.24
3. เพื่อศึกษาทฤษฎีพื้นฐานการแปลงแบบทุสตินจาก s-domain เป็น z-domain
4. เพื่อศึกษาโครงสร้างการอนุวัตตัวชดเชย และวิธีการอนุวัตตัวชดเชย
5. เพื่อนำความรู้ในการศึกษา controller บอร์ด BL1120 (Little Giant) มาใช้ในการอนุวัตตัวชดเชย

1.3 ขอบเขตของโครงการ

1. พัฒนาโปรแกรมการแปลง s-domain เป็น z-domain โดยใช้วิธีการแปลงแบบทุสติน
2. พัฒนาโปรแกรมการอนุวัตตัวชดเชยด้วยการโปรแกรมภาษาไคนามิกส์ซี
3. ทดสอบตัวชดเชยที่อนุวัตขึ้นทั้งหมด
4. วิเคราะห์ผลการทดลองจากการทดสอบตัวชดเชยที่อนุวัตขึ้น

1.4 ประโยชน์ที่คาดว่าจะได้รับ

- ได้รับความรู้เกี่ยวกับการอนุวัตตัวชดเชย
- ได้รับความรู้เกี่ยวกับคอนโทรลเลอร์บอร์ด BL1120 (Little Giant)
- ได้รับความรู้เกี่ยวกับ Digital Signal Processing
- สามารถพัฒนาตัวชดเชยด้วยการเขียนโปรแกรมภาษาไคนามิกส์ซีในการอนุวัตตัวชดเชย ด้วยคอนโทรลเลอร์บอร์ด BL1120 (Little Giant)
- สามารถพัฒนาโปรแกรมการแปลงจาก s-domain เป็น z-domain ด้วยการเขียนโปรแกรม MATLAB

1.5 แผนการดำเนินงาน

ก.ค.	ต.ค.	ก.ย.	ต.ส.	พ.ย.	ธ.ค.	ม.ค.	ก.พ.	มี.ค.	พ.ค.	พ.จ.
ผู้อนุมัติผู้รับมอบหมาย										
5 การประเมินความน่าเชื่อถือ เพื่อนประเมินภาระของวัดชลชาดชาชวาป尼										
6 ทดสอบความถูกต้องที่ถูกวัดชลชาดชาชวาปนเพื่อรองรับการซื้อขายและตรวจสอบ										
7 จัดทำรายงานผลและเตรียมนำเสนอ ให้รายงานวิเคราะห์										

* ระยะเวลาการดำเนินงานประมาณ 10 เดือน โดยเริ่มตั้งแต่ ก.ค. 42 ถึง พ.ค. 43

1.6 การจัดรูปเล่ม

ในการศึกษาการอนุวัตตัวชุดเชยด้วยคอนโทรลเลอร์บอร์ด BL1120 (Little Giant) ได้แบ่งออกเป็น 5 บท ดังนี้

บทที่ 1 เป็นการกล่าวนำถึงการอนุวัตตัวชุดเชย และส่วนประกอบในรายงานฉบับนี้

บทที่ 2 เป็นการกล่าวถึงเทคนิคการอนุวัตตัวชุดเชยแบบดิจิตอล ทฤษฎีพื้นฐานการแปลงทรายสเฟอร์ฟิงก์ชันจาก s-domain ไปเป็น z-domain โครงสร้างพื้นฐานของตัวรองความถี่แบบดิจิตอลชนิด IIR(Infinate Impulse Response) การเลือกโครงสร้างของ IIR มาใช้ในการอนุวัตตัวชุดเชยโครงสร้างของภาษาไ dinamikส์ซี นอกจานนี้จะกล่าวถึงโครงสร้างของคอนโทรลเลอร์บอร์ด BL1120 (Little Giant) และส่วนที่เกี่ยวข้องกับการอนุวัตตัวชุดเชยโดยละเอียด รวมถึงการปรับตั้งค่าต่าง ๆ ก่อนการใช้งานและข้อกำหนดในการใช้บอร์ด

บทที่ 3 เป็นการกล่าวถึงรายละเอียดของส่วนต่าง ๆ ของโปรแกรมการอนุวัตตัวชุดเชยด้วยคอนโทรลเลอร์บอร์ด BL1120 (Little Giant) ที่มีทรายสเฟอร์ฟิงก์ชันอันดับหนึ่งและสอง และโปรแกรมการแปลงทรายสเฟอร์ฟิงก์ชันแบบทุกสติน

บทที่ 4 เป็นการกล่าวถึงการทดสอบการรับและส่งสัญญาณด้วยคอนโทรลเลอร์บอร์ด BL1120 (Little Giant) การทดสอบเพื่อหาค่าอัตราขยาย รวมทั้งการทดสอบโปรแกรมการอนุวัตตัวชุดเชยที่มีทรายสเฟอร์ฟิงก์ชันอันดับหนึ่งและอันดับสอง

บทที่ 5 เป็นข้อสรุปเกี่ยวกับผลการแปลงจาก s-domain เป็น z-domain, การอนุวัตตัวชุดเชยด้วยคอนโทรลเลอร์บอร์ด BL1120 (Little Giant) สาระสำคัญเกี่ยวกับบอร์ด โปรแกรมภาษาไ dinamikส์ซี และข้อเสนอแนะในการพัฒนาให้ดียิ่งขึ้น

บทที่ 2

การอนุวัตตัวชดเชย

2.1 กล่าวนำ

ด้วยเทคโนโลยีในปัจจุบันทำให้มีอุปกรณ์ต่าง ๆ ที่ถูกสร้างขึ้นและนำมาใช้ประโยชน์ในอุตสาหกรรม ทั้งในระบบอนาล็อกและดิจิตอล ซึ่งตัวชดเชยถือได้ว่าเป็นเทคโนโลยีที่สำคัญ ที่ช่วยให้สามารถปรับขนาดและเฟสของสัญญาณตามที่ต้องการได้ ในบทนี้จะกล่าวถึง หลักการการอนุวัตตัวคุณคุณแบบดิจิตอลคือ ด้วยโปรแกรมภาษาได้นามิกส์กับคอนโทรลเลอร์บอร์ด BL1120 (Little Giant) ทฤษฎีความสัมพันธ์ของทุกดินพื้นที่แสดงขั้นตอนการแปลงทรานสเฟอร์ฟังก์ชันจาก s-domain ไปเป็น z-domain โดยสร้างของโปรแกรมภาษาไดนามิกส์ และโครงสร้างของคอนโทรลเลอร์บอร์ด BL1120 (Little Giant)

2.2 เทคนิคการอนุวัตตัวชดเชยแบบดิจิตอล

สาเหตุที่ทำให้การอนุวัตแบบดิจิตอลเป็นที่นิยมมากกว่าแบบอนาล็อก มีหลายสาเหตุด้วยกัน เช่น การโปรแกรมด้วยระบบดิจิตอลจะมีความยืดหยุ่นมากกว่า ง่ายต่อการเปลี่ยนแปลงภายในระบบ สะดวกในการทำรีดีไซน์ การพิสูจน์และการทดสอบ

การใช้คอนโทรลเลอร์บอร์ดมาอนุวัตเป็นตัวชดเชยโดยอาศัยหลักการของ Digital Signal Processing ถือได้ว่าเป็นเทคโนโลยีที่สะดวกและง่ายต่อการนำไปใช้ เนื่องจากการอนุวัตโดยอาศัยหลักการของ Digital Signal Processing กับคอนโทรลเลอร์บอร์ดจะทำเพียงครั้งเดียวสำหรับตัวชดเชยที่มีโครงสร้างตายตัว ไม่มีการปรับจูนใด ๆ ไม่มีปัญหาในเรื่องการแมตช์ทางอิมพีเดนซ์ (Impedance Matching) และเมื่อระบบที่ต้องการควบคุมมีทรานสเฟอร์ฟังก์ชันเปลี่ยนแปลงไป แต่โครงสร้างของตัวชดเชยยังเป็นโครงสร้างแบบเดิมก็จะไม่ต้องทำการเขียนโปรแกรมใหม่ทั้งหมด เพียงแค่ทำการคำนวณค่าสัมประสิทธิ์ใหม่จากทรานสเฟอร์ฟังก์ชันที่เปลี่ยนไป แล้วกำหนดค่านั้นให้กับโปรแกรมการอนุวัตตัวชดเชย

การวิเคราะห์และออกแบบตัวควบคุมเพื่อให้ได้ผลดีนั้น นิยมทำใน s-domain แต่ในการอนุวัตตัวชดเชยนี้ เป็นการอนุวัตแบบดิจิตอล จะทำใน z-domain ดังนั้นจึงต้องมีการแปลงทรานสเฟอร์ฟังก์ชันในรูป s-domain ไปเป็น z-domain ก่อนด้วยเทคนิคที่เหมาะสม โครงงานนี้จะใช้เทคนิคการแปลงโดยอาศัยความสัมพันธ์แบบทุกดินพื้นที่ หลังจากนั้นจึงทำการอนุวัตตัวชดเชยใน z-domain ซึ่งตัวชดเชยจะมีโครงสร้างแบบเดียวกับตัวกรองความถี่แบบดิจิตอลชนิด IIR (Infinite Impulse Response)

2.3 ทฤษฎีพื้นฐานการแปลงแบบทุสตินจาก s-domain ไปเป็น z-domain

เทคนิคการประมาณโดยวิธีของทุสตินมีรากฐานมาจากการพิจารณาในทางเรขาคณิต (Geometrical considerations) ซึ่งก็คือการประมาณค่าโดยใช้สี่เหลี่ยมคางหมูโดยการลากจุดต่อจุด ซึ่งจะมีค่าใกล้เคียงมากกว่าการประมาณโดยใช้สี่เหลี่ยมผืนผ้าโดยวิธีของออยเลอร์ (Euler) ใน การวิเคราะห์เชิงจำนวน (Numerical analysis) จะเรียกวิธีนี้ว่า กฏของสี่เหลี่ยมคางหมู (Trapezoidal Rule) ในทาง Signal Processing จะรู้จักกันดีในชื่อการแปลงแบบไปบิโนเนียร์ (Bilinear transformation) ส่วนในทางระบบควบคุมหรือที่กล่าวถึงในที่นี้จะเรียกวิธีของทุสติน (Tustin's method)

วิธีของทุสตินเป็นที่นิยมกันมากในการแปลงจากระบบอนาล็อกไปเป็นระบบดิจิตอลโดยแปลงจากทรานสเฟอร์ฟังก์ชันใน s-domain $G(s)$ ไปเป็น z-domain $G(z)$ ด้วยความสัมพันธ์ตามสมการที่ 2.1

$$G(z) = G(s) \Big|_{s=\alpha(1-z^{-1})/(1+z^{-1})} \quad (2.1)$$

โดยค่า α ในสมการที่ 2.1 คือ $2/h$ และ h คือ ความของการสุ่มสัญญาณ (หน่วยเป็นวินาที) ซึ่งความถี่ของการสุ่มสัญญาณ (sampling frequency) $f_s = 1/h$ Hz หรืออาจเขียนในอีกรูปแบบหนึ่งได้ดังนี้

$$\frac{1}{s} \Leftrightarrow \frac{h}{2} \left(\frac{z+1}{z-1} \right) \text{ or } s \Leftrightarrow \frac{2}{h} \left(\frac{z-1}{z+1} \right) \quad (2.2)$$

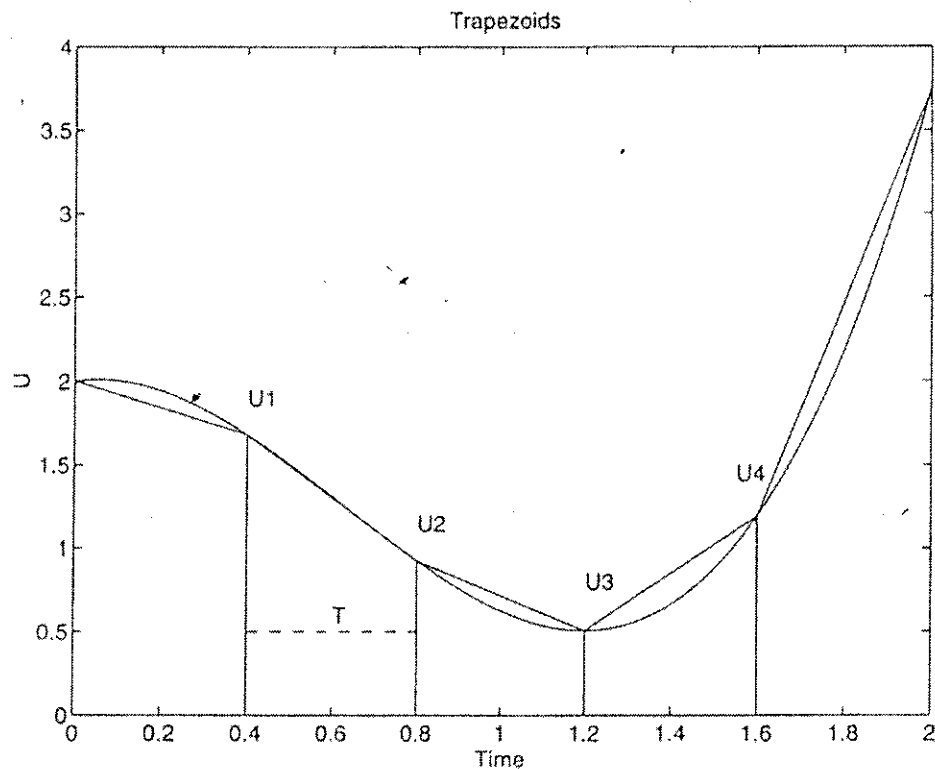
จากที่กล่าวในตอนต้นว่าการประมาณโดยวิธีของทุสตินมาจากผลรวมของสี่เหลี่ยมคางหมู ดังจะเห็นได้จากรูปที่ 2.1 ซึ่งสามารถแสดงได้ด้วยสมการผลต่างดังนี้

$$y_{n+1} = y_n + \frac{h}{2} (u_{n+1} + u_n) \quad (2.3)$$

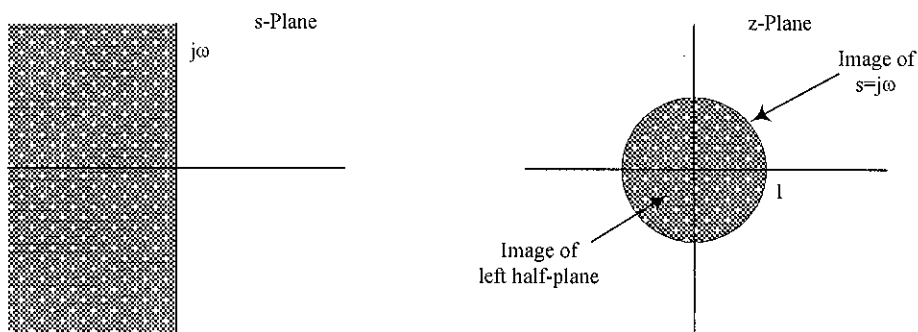
จากการแปลงทรานสเฟอร์ฟังก์ชันในสมการที่ 2.1 สามารถทำ Mapping จาก ระบบใน s-domain ไปบนระบบใน z-domain โดยสรุปได้ดังนี้ (ดูรูปที่ 2.2 ประกอบ)

1. ครึ่งซ้ายในระบบ s \rightarrow ภายในของวงกลมหนึ่งหน่วยในระบบ z
2. ครึ่งขวาในระบบ s \rightarrow ภายนอกของวงกลมหนึ่งหน่วยในระบบ z
3. แกนจินตภาพในระบบ s $= j\omega$ \rightarrow เส้นรอบวงของวงกลมหนึ่งหน่วย ($z = e^{j\omega}$)

จะเห็นได้ว่าการแปลงแบบไบลินีร์จากตัวกรองความถี่ที่มีเสถียรภาพในทางอนาคตไปเป็นตัวกรองความถี่ที่มีเสถียรภาพในทางคิจิตอัลตามารถทำได้ถึงแม่ความสัมพันธ์จะไม่เป็นเชิงเส้น (nonlinear) ก็ตาม



รูปที่ 2.1 การประมาณพื้นที่โดยการใช้สี่เหลี่ยมคงทุก



รูปที่ 2.2 Mapping จาก s-plane ไปบน z-plane โดยใช้การแปลงแบบทุสติน (ไบลินีร์)

เป็นที่ทราบกันเป็นอย่างดีว่าการแปลงแบบทุสตินนี้ก่อให้เกิดการโกร่งทางความถี่ (frequency warping) ซึ่งก็คือ ความถี่ ω_c ในโดเมนต่อเนื่อง (continuous) เมื่อแปลงไปเป็น ω_d ในโดเมนไม่ต่อเนื่อง (discrete) จะมีค่าไม่ตรงกัน ดังนั้นในการใช้ความสัมพันธ์ของทุสตินนี้จึงต้องมีการแก้้อการโกร่งทางความถี่ (frequency prewarping) ก่อนที่จะประยุกต์ความสัมพันธ์ตามสมการที่ 2.2 หลังจากนั้นมีอีกสิ่งกระบวนการทางพีชคณิตที่ประยุกต์ตามสมการที่ 2.2 แล้วจะต้องทำการตรวจสอบว่า dc gain ของทรานสเฟอร์ฟังก์ชันใน z-domain เท่ากันกับใน s-domain หรือไม่ หากไม่เท่ากันจะต้องทำการคำนวณค่าอัตราขยาย K_d ที่เหมาะสมที่จะคูณความอยู่กับ $G(z)$ แล้วทำให้ $G(z)$ มี dc gain เท่ากับ $G(s)$ เดิม

การแก้้อการโกร่งทางความถี่สามารถทำได้โดยประยุกต์ความสัมพันธ์ 2.4 และ 2.5 สำหรับ ทรานสเฟอร์ฟังก์ชันอันดับหนึ่งและสองตามลำดับ

$$(s + \gamma) \rightarrow (s + \gamma') \left|_{\gamma' = \frac{2}{h} \tan\left(\frac{\gamma h}{2}\right)} \right. \quad (2.4)$$

$$(s^2 + 2\zeta\omega_n s + \omega_n^2) \rightarrow (s^2 + 2\zeta\omega'_n s + \omega'_n{}^2) \left|_{\omega'_n = \frac{2}{h} \tan\left(\frac{\omega_n h}{2}\right)} \right. \quad (2.5)$$

กรณีที่ 1 : ทรานสเฟอร์ฟังก์ชันอันดับหนึ่ง

$$G(s) = \frac{s + a}{s + b} \quad \text{เมื่อทำการแก้้อการโกร่งทางความถี่ จะได้}$$

$$G'(s) = \frac{s + \alpha}{s + \beta} \quad \text{เมื่อ } \alpha = \frac{2}{h} \tan\left(\frac{ah}{2}\right) \text{ และ } \beta = \frac{2}{h} \tan\left(\frac{bh}{2}\right)$$

$$G(z) = G'(s) \left|_{s = \frac{2}{h} \left(\frac{z-1}{z+1} \right)} \right.$$

$$= \frac{(\alpha h + 2)z + (\alpha h - 2)}{(\beta h + 2)z + (\beta h - 2)}$$

$$= \frac{(\alpha h + 2) + (\alpha h - 2)z^{-1}}{(\beta h + 2) + (\beta h - 2)z^{-1}}$$

$$= \frac{a_0 + a_1 z^{-1}}{b_0 + b_1 z^{-1}}$$

กรณีที่ 2 : ทราบสเปกตร์ฟังก์ชันอันดับสอง

$$G(s) = \frac{s^2 + cs + d}{s^2 + as + b} \quad \text{ซึ่งมี } \omega_{np} = \sqrt{b} \quad \text{และ } \omega_{nz} = \sqrt{d}$$

นอกจากนั้น

$$2\zeta_z \omega_{nz} = c \quad \text{เมื่อ } \omega_{nz} = \sqrt{d} \quad \text{ดังนั้น} \quad 2\zeta_z = \frac{c}{\sqrt{d}}$$

$$2\zeta_p \omega_{np} = a \quad \text{เมื่อ } \omega_{np} = \sqrt{b} \quad \text{ดังนั้น} \quad 2\zeta_p = \frac{a}{\sqrt{b}}$$

ทำการแก้อาการโกร่งทางความถี่ด้วย

$$\omega_{nz} = \frac{2}{h} \tan\left(\frac{h\sqrt{d}}{2}\right) \quad \text{และ} \quad \omega_{np} = \frac{2}{h} \tan\left(\frac{h\sqrt{b}}{2}\right) \quad \text{ทำให้มี}$$

$$G'(s) = \frac{s^2 + \frac{c}{\sqrt{d}} \omega_{nz} s + (\omega_{nz})^2}{s^2 + \frac{a}{\sqrt{b}} \omega_{np} s + (\omega_{np})^2}$$

$$G(z) = G'(s) \Bigg|_{s = \frac{2}{h} \left(\frac{z-1}{z+1} \right)}$$

$$= \frac{s^2 + \gamma s + \omega_{nz}^2}{s^2 + \psi s + \omega_{np}^2} \Bigg|_{s = \frac{2}{h} \left(\frac{z-1}{z+1} \right)} \quad (\text{กำหนดให้ } \gamma = \frac{c}{\sqrt{d}} \omega_{nz}, \psi = \frac{a}{\sqrt{b}} \omega_{np})$$

$$\begin{aligned}
&= \frac{s(s + \gamma) + \omega_{nz}^{-2}}{s(s + \psi) + \omega_{np}^{-2}} \quad \left| \quad s = \frac{2}{h} \binom{z-1}{z+1} \right. \\
&= \frac{\left(\frac{2}{h} \right) \binom{z-1}{z+1} \left[\left(\frac{2}{h} \right) \binom{z-1}{z+1} + \gamma \right] + \omega_{nz}^{-2}}{\left(\frac{2}{h} \right) \binom{z-1}{z+1} \left[\left(\frac{2}{h} \right) \binom{z-1}{z+1} + \psi \right] + \omega_{np}^{-2}} \\
&= \frac{2(z-1)[(\gamma h + 2)z + (\gamma h - 2)] + h^2(z+1)^2 \omega_{nz}^{-2}}{2(z-1)[(\psi h + 2)z + (\psi h - 2)] + h^2(z+1)^2 \omega_{np}^{-2}} \\
&= \frac{(4 + 2\gamma h + h^2 \omega_{nz}^{-2})z^2 + (2h^2 \omega_{nz}^{-2} - 8)z + (4 - 2\gamma h + h^2 \omega_{nz}^{-2})}{(4 + 2\psi h + h^2 \omega_{np}^{-2})z^2 + (2h^2 \omega_{np}^{-2} - 8)z + (4 - 2\psi h + h^2 \omega_{np}^{-2})} \\
&= \frac{a_0 + a_1 z^{-1} + a_2 z^{-2}}{b_0 + b_1 z^{-1} + b_2 z^{-2}}
\end{aligned}$$

เมื่อพิจารณา h มีค่าน้อยมาก ๆ ส่งผลให้ $h^2 \approx 0$ จะได้

$$G(z) \approx \frac{(4 + 2\gamma h) - 8z^{-1} + (4 - 2\gamma h)z^{-2}}{(4 + 2\psi h) - 8z^{-1} + (4 - 2\psi h)z^{-2}} = G^*(z)$$

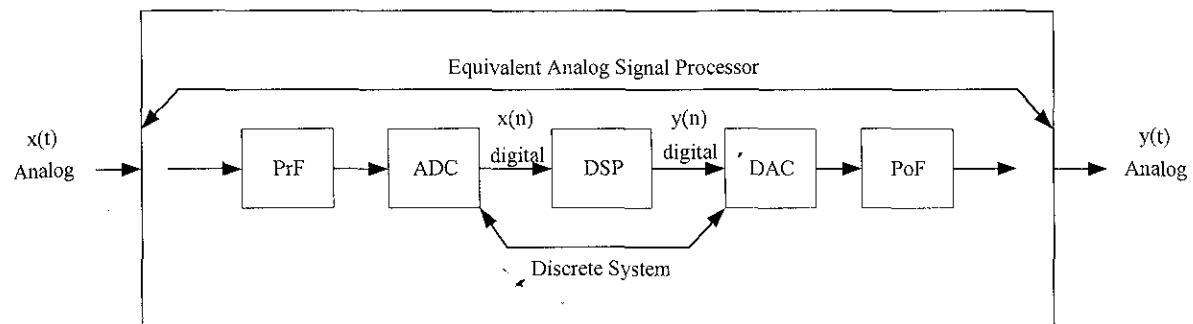
จากรายละเอียดการวิเคราะห์ที่นำเสนอผ่านมา อาจสรุปข้อมูลที่ใช้ประโยชน์สำหรับการแปลง $G(s)$ ไปเป็น $G(z)$ ที่มีการแก้การโถ่ทางความถี่แล้วดังตารางที่ 2.1 อย่างไรก็ตามการประยุกต์ตารางที่ 2.1 จะต้องตามด้วยการตรวจสอบ dc gain ของ $G(s)$ กับ $G(z)$ เสมอ หากพบว่าแตกต่างกันจะต้องทำการวินิจฉัยอัตราขยาย K สำหรับ $G(z)$ ให้ถูกต้องด้วย

ตารางที่ 2.1 ความสัมพันธ์ในรูปทั่วไปสำหรับการแปลง $G(s)$ อันดับหนึ่งและสองไปเป็น $G(z)$
ด้วยการแปลงแบบทุสติน

$G(s) = \frac{s + a}{s + b}$	$G(s) = \frac{s^2 + cs + d}{s^2 + as + b}$
	$G(z) = \frac{a_0 + a_1 z^{-1} + a_2 z^{-2}}{b_0 + b_1 z^{-1} + b_2 z^{-2}}$
	กรณี $h^2 \gg \epsilon$ ซึ่ง ≈ 0 กรณี $h^2 \approx 0$
$G(z) = \frac{a_0 + a_1 z^{-1}}{b_0 + b_1 z^{-1}}$	$a_0 = 4 + 2\gamma h + h^2 \omega_{nz}^{-2}$ $a_0 = 4 + 2\gamma h$
$a_0 = \alpha h + 2$	$a_1 = 2h^2 \omega_{nz}^{-2} - 8$ $a_1 = -8$
$a_1 = \alpha h - 2$	$a_2 = 4 - 2\gamma h + h^2 \omega_{np}^{-2}$ $a_2 = 4 - 2\gamma h$
$b_0 = \beta h + 2$	$b_0 = 4 + 2\psi h + h^2 \omega_{np}^{-2}$ $b_0 = 4 + 2\psi h$
$b_1 = \beta h - 2$	$b_1 = 2h^2 \omega_{np}^{-2} - 8$ $b_1 = -8$
เมื่อ $\alpha = \frac{2}{h} \tan\left(\frac{\alpha h}{2}\right)$	$b_2 = 4 - 2\psi h + h^2 \omega_{np}^{-2}$ $b_2 = 4 - 2\psi h$
$\beta = \frac{2}{h} \tan\left(\frac{\beta h}{2}\right)$	ทั้งสองกรณี $\gamma = \frac{c}{\sqrt{d}} \omega_{nz}$ และ $\psi = \frac{a}{\sqrt{b}} \omega_{np}$
	$\omega_{nz} = \frac{2}{h} \tan\left(\frac{h\sqrt{d}}{2}\right)$
	$\omega_{np} = \frac{2}{h} \tan\left(\frac{h\sqrt{b}}{2}\right)$

2.4 ทฤษฎีพื้นฐานของตัวกรองความถี่แบบดิจิตอล

กระบวนการดำเนินการกับระบบสัญญาณดิจิตอล (Digital Signal Processing, DSP) มีโครงสร้างดังแสดง ได้ด้วยแผนภูมิข้างล่างดังนี้



รูปที่ 2.3 โครงสร้างของตัวกรองความถี่แบบดิจิตอลในเวลาจริง

PrF: คือ prefilter หรือ antialiasing filter ซึ่งจะช่วยปรับสภาพของสัญญาณอนalog ให้ลisciok เพื่อป้องกันการเกิด aliasing

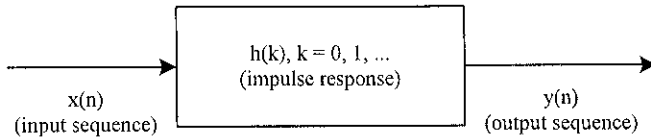
ADC: คืออุปกรณ์การแปลงสัญญาณอนalog เป็นดิจิตอล (analog-to-digital converter) ซึ่งจะช่วยผลิตเลขฐานสอง (binary numbers) จากสัญญาณอนalog

Digital Signal Processor: คือส่วนที่สำคัญที่สุดสำหรับ DSP ใช้แสดงวัตถุประสงค์ทั่วไปของคอมพิวเตอร์และวัตถุประสงค์หลักของตัวประมวลผล (processors) หรือ ชาร์ดแวร์ทางดิจิตอล และอื่น ๆ

DAC: คืออุปกรณ์ที่ทำงานตรงกันข้ามกับ ADC โดยในขั้นแรกจะสร้างรูปสัญญาณที่เป็นขั้นบันไดจากลำดับของเลขฐานสองก่อนการเปลี่ยนไปเป็นสัญญาณอนalog

PoF: คือ postfilter จะช่วยกรองรูปสัญญาณขั้นบันไดให้กลายเป็นสัญญาณอนalog ที่สวยงาม

ตัวกรองความถี่แบบดิจิตอลที่ใช้กันอย่างกว้างขวางในปัจจุบันมี 2 ชนิดด้วยกัน คือ Finite Impulse Response (FIR) และ Infinite Impulse Response (IIR) โดยทั้งสองชนิดสามารถแสดงได้ด้วย impulse response sequence, $h(k)$ (โดยที่ $k = 0, 1, \dots$) ดังรูปที่ 2.4 ซึ่งสัญญาณอินพุตและเอาท์พุตของตัวกรองความถี่จะมีความสัมพันธ์กับการบวกทางตอนไวลูชัน (convolution sum) ซึ่งสามารถแสดงได้ด้วยสมการที่ 2.6 และ 2.7 สำหรับตัวกรองความถี่ชนิด FIR และ IIR ตามลำดับ



รูปที่ 2.4 การนำเสนอข้อสรุปของตัวกรองความถี่แบบดิจิตอล

$$y(n) = \sum_{k=0}^{N-1} h(k)x(n-k) \quad (2.6)$$

$$y(n) = \sum_{k=0}^{\infty} h(k)x(n-k) \quad (2.7)$$

จะเห็นได้ว่าตัวกรองความถี่ชนิด IIR มี impulse response จำนวนมาก ไม่สามารถคำนวณค่าเอ้าท์พุทได้ ดังนั้นจึงนำสมการที่ 2.7 มาเขียนใหม่ในรูปของรีקורסีฟ (recursive form) ดังนี้

$$y(n) = \sum_{k=0}^{\infty} h(k)x(n-k) = \sum_{k=0}^N a_k x(n-k) - \sum_{k=1}^M b_k y(n-k) \quad (2.8)$$

โดยที่ a_k และ b_k คือสัมประสิทธิ์ของตัวกรองความถี่ สมการที่ 2.8 ที่อยู่ในรูปสมการผลต่างนี้ จะเห็นว่า $y(n)$ เป็นพังก์ชันของเอ้าท์พุทกับอินพุทในอดีต ซึ่งเก็ทหมายความว่าระบบป้อนกลับบางชนิดจะเป็นตัวกรองความถี่ชนิด IIR ซึ่งทั้งสมการที่ 2.6 และ 2.7 สามารถเขียนในรูปของทรานสเพอร์ฟังก์ชันใน z-domain ได้ดังสมการที่ 2.9 และ 2.10 สำหรับตัวกรองความถี่ชนิด FIR และ IIR ตามลำดับ

$$H(z) = \sum_{k=0}^{N-1} h(k)z^{-k} \quad (2.9)$$

$$H(z) = \frac{\sum_{k=0}^N a_k z^{-k}}{1 + \sum_{k=1}^M b_k z^{-k}} \quad (2.10)$$

ตัวกรองความถี่ทั้งชนิด FIR และ IIR ต่างก็มีข้อดีข้อด้อยต่างกันดังแสดงในตารางที่ 2.2

ตารางที่ 2.2 การเปรียบเทียบข้อดีและข้อด้อยของตัวกรองความถี่ชนิด IIR และ FIR

ตัวกรองความถี่ชนิด IIR	ตัวกรองความถี่ชนิด FIR
<ol style="list-style-type: none"> เมื่อต้องการ transition band แคบ ๆ จะใช้ order ต่ำกว่าชนิด FIR ความยุ่งยากในการสร้างตัวกรองความถี่ชนิด IIR มีน้อยกว่าชนิด FIR และใช้ memory น้อยกว่า (เนื่องจาก order ต่ำกว่า) เวลาในการหน่วง (delay time) น้อยกว่า (เนื่องจาก order ต่ำกว่า) ที่ order เท่ากัน จะมี sharp cutoff (transition band แคบ) และ lower side lobe ต่ำกว่าชนิด FIR Nonlinear phase response เนื่องจากเป็น Recursive จึงไม่สามารถแนใจได้ว่ามีเสถียรภาพหรือไม่ มีผลกระทบเนื่องมาจากการ roundoff noise, coefficient quantization errors, finite wordlength effects มากกว่าชนิด FIR 	<ol style="list-style-type: none"> เมื่อต้องการ transition band ในช่วงแคบ ๆ จะใช้ order สูงกว่าชนิด IIR ความยุ่งยากในการสร้างตัวกรองความถี่ชนิด FIR มีมากกว่าชนิด IIR และใช้ memory 多 (เนื่องจาก order สูงกว่า) เวลาในการหน่วง (delay time) มากกว่า (เนื่องจาก order สูงกว่า) ที่ order เท่ากัน จะมี transition band กว้าง และ lower side lobe สูงกว่าชนิด IIR Linear phase response เนื่องจากเป็น non-recursive จึงมีเสถียรภาพ (Stability) มากกว่า มีผลกระทบเนื่องมาจากการ roundoff noise, coefficient quantization errors, finite wordlength effects น้อยกว่าชนิด IIR

ข้อตอนต่อไปจะกล่าวถึงโครงสร้างที่ใช้ในการสร้างตัวกรองความถี่แบบดิจิตอล แต่ก่อนที่จะกล่าวถึงโครงสร้างของตัวกรองความถี่จะต้องทำความเข้าใจองค์ประกอบพื้นฐานที่นำมาใช้ในแผนภาพแสดงโครงสร้างเสี้ยก่อน

- ### 2.4.1 องค์ประกอบพื้นฐานของแผนภาพแสดงโครงสร้างตัวกรองความถี่
- องค์ประกอบพื้นฐานในแผนภาพมีด้วยกัน 3 องค์ประกอบคือ
- องค์ประกอบคูณ (Multiplier element)
 - องค์ประกอบบวก (Adder/accumulator element)
 - องค์ประกอบหน่วงในหนึ่งหน่วยเวลา (Delay of 1 unit of time)

โดยที่แต่ละหน่วยจะใช้สัญลักษณ์ดังรูปที่ 2.5 ซึ่งความหมายของแต่ละองค์ประกอบจะอธิบายในรายละเอียดต่อไปนี้

องค์ประกอบอนุภาค (*Multiplier element*)

จะทำหน้าที่นำสัญญาณเวลาเต็มหน่วยเข้ามาคูณกับค่าคงที่ (k) ที่อยู่ภายในองค์ประกอบอนุภาคแล้วส่งผลลัพธ์ออกไปที่ด้านออกในเวลาเดียวกัน ถ้าให้สัญญาณด้านเข้าแทนด้วย $x(n)$ และสัญญาณด้านออกแทนด้วย $y(n)$ สามารถเขียนความสัมพันธ์ระหว่างสัญญาณด้านออกกับด้านเข้าโดยใช่องค์ประกอบอนุภาคได้ดังนี้

$$y(n) = kx(n)$$

เมื่อ k คือ ค่าคงที่ภายในองค์ประกอบอนุภาค ดูสัญลักษณ์ขององค์ประกอบนี้ได้ในรูปที่ 2.5.1

องค์ประกอบบวก(*Adder/accumulator element*)

จะทำหน้าที่รวมสัญญาณเวลาเต็มหน่วยตั้งแต่ 2 สัญญาณขึ้นไป ซึ่งในการรวมกันอาจเป็นการบวกหรือการลบก็ได้ขึ้นอยู่กับการกำหนด ถ้าให้สัญญาณด้านเข้าเป็น $x(n)$ และ $w(n)$ และให้สัญญาณด้านออกเป็น $y(n)$ สามารถเขียนความสัมพันธ์ของสัญญาณด้านออกกับสัญญาณด้านเข้าโดยใช่องค์ประกอบบวกได้ดังนี้

$$y(n) = x(n) + w(n)$$

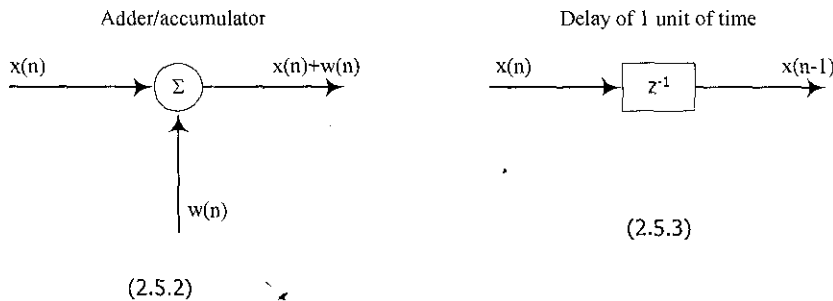
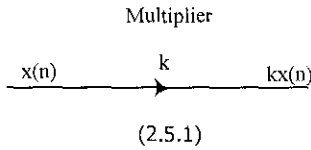
ดูสัญลักษณ์ขององค์ประกอบนี้ได้ในรูปที่ 2.5.2

องค์ประกอบหน่วงในหนึ่งหน่วยเวลา (*Delay of 1 unit of time*)

จะทำหน้าที่เก็บสัญญาณเวลาเต็มหน่วยที่รับเข้ามานั่นเองไว้จนกว่าสัญญาณเวลาเต็มหน่วยต่อไปจะเข้ามาจึงจะส่งสัญญาณนั้นออกมาทางด้านออก ดังนั้นสัญญาณด้านออกที่เวลาปัจจุบันจึงเท่ากับสัญญาณด้านเข้าตัวที่แล้ว ถ้าให้สัญญาณด้านเข้าเป็น $x(n)$ และสัญญาณด้านออกเป็น $y(n)$ สามารถเขียนความสัมพันธ์ของสัญญาณด้านออกกับสัญญาณด้านเข้าได้โดยใช่องค์ประกอบหน่วงในหนึ่งหน่วยเวลาได้ดังนี้

$$y(n) = x(n-1)$$

ดูสัญลักษณ์ขององค์ประกอบนี้ได้ในรูปที่ 2.5.3



รูปที่ 2.5 องค์ประกอบพื้นฐานที่ใช้ในโครงสร้างตัวกรองความถี่

จากองค์ประกอบพื้นฐานดังกล่าว สามารถนำมาประกอบให้เป็นโครงสร้างของตัวกรองความถี่แบบดิจิตอลได้ดังจะกล่าวต่อไป

2.4.2 โครงสร้างของตัวกรองความถี่แบบดิจิตอลชนิด IIR (Infinite Impulse Response)

เนื่องจากตัวชุดเชยที่ใช้งานกันส่วนใหญ่จะอยู่ในรูปฟังก์ชันของโพลและซีโร่ ซึ่งมีโครงสร้างแบบเดียวกันกับโครงสร้างของตัวกรองความถี่แบบดิจิตอลชนิด IIR ดังนั้นในรายงานฉบับนี้ จะกล่าวถึงเฉพาะ โครงสร้างของตัวกรองความถี่แบบดิจิตอลชนิด IIR เท่านั้น

สำหรับตัวกรองความถี่แบบดิจิตอลชนิด IIR จากความสัมพันธ์ในสมการที่ 2.8 ซึ่งสามารถเขียนเป็นทรานสเฟอร์ฟังก์ชันในรูป z-domain ได้ตามสมการที่ 2.10 สามารถนำมาเขียนให้อยู่ในรูปที่มีอัตราขยาย (K) คูณอยู่ด้วย พารอมท์แสตดง โพลและซีโร่ได้ดังสมการที่ 2.11

$$H(z) = \frac{K(z - z_1)(z - z_2) \dots (z - z_N)}{(z - p_1)(z - p_2) \dots (z - p_M)} \quad (2.11)$$

โดยที่ z_1, z_2, \dots คือ zeros ของทรานสเฟอร์ฟังก์ชัน $H(z)$ และ p_1, p_2, \dots คือ poles ของทรานสเฟอร์ฟังก์ชัน $H(z)$

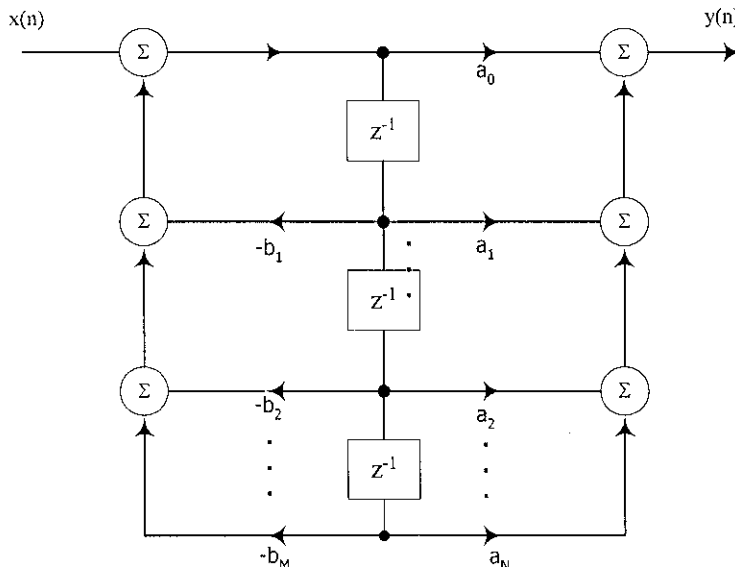
โครงสร้างแบบ IIR สามารถแบ่งออกได้เป็น 3 รูปแบบใหญ่ ๆ คือ โครงสร้างแบบตรง (Direct Form) โครงสร้างแบบต่อเรียงกัน (Cascade Form) และโครงสร้างแบบคู่ขนาน (Parallel Form)

2.4.2.1 โครงสร้างแบบตรง (Direct Form)

โครงสร้างแบบตรงตามสมการที่ 2.12 แสดงได้ด้วยรูปที่ 2.6 โดยกำหนดให้ $N = M$ เพื่อจ่าข ต่อการวิเคราะห์ ซึ่งสัมประสิทธิ์ที่ใช้ในแผนภาพคือค่าสัมประสิทธิ์ในtranสเฟอร์ฟังก์ชัน แต่ครึ่งหน้ายของสัมประสิทธิ์ในส่วนดีโนมิเนเตอร์ (denominator) ในสมการที่ 2.12a จะตรงกันข้าม

$$H(z) = \sum_{k=0}^N a_k z^{-k} / \left(1 + \sum_{k=1}^M b_k z^{-k} \right) \quad M \geq N \quad (2.12a)$$

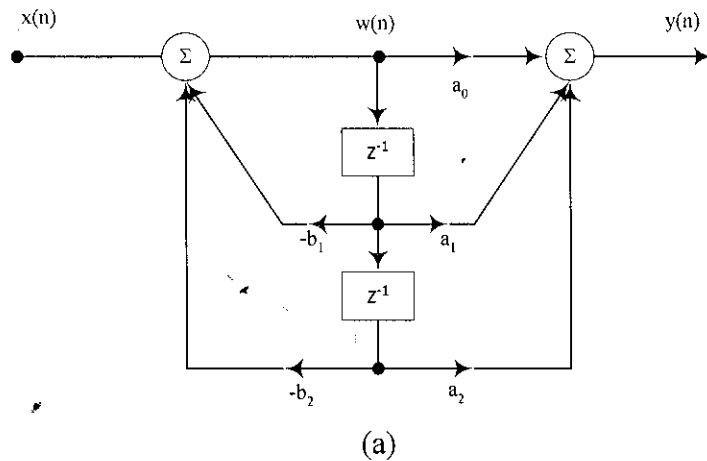
$$y(n) = \sum_{k=0}^{N-1} a_k x(n-k) - \sum_{k=1}^M b_k y(n-k) \quad (2.12b)$$



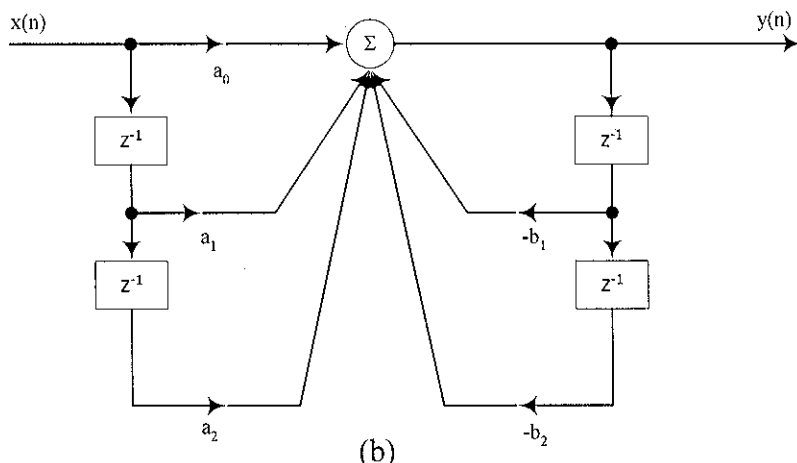
รูปที่ 2.6 โครงสร้างแบบตรง (Direct Form)

เมื่อ order ของตัวกรองความถี่สูงขึ้น เช่น กรณีที่ $M > 3$ โครงสร้างแบบตรงในรูปที่ 2.6 นี้จะได้รับผลกระทบมากจาก finite wordlength effects ซึ่งในกรณีเช่นนี้ควรที่จะหลีกเลี่ยง ในการปฏิบัติ จะทำการลดรูป $H(z)$ ให้เล็กลง คือให้อยู่ในรูป second-order หรือ first-order แล้วนำองค์ประกอบเหล่านี้มาเรียงต่อกัน (cascade) หรือ นำมาต่อแบบขนานกัน (parallel) ซึ่งจะกล่าวไว้ในรายละเอียดต่อไป

สำหรับแผนภาพที่ใช้ในการสร้าง second-order ในทางปฏิบัติ เพื่อใช้ใน order ที่สูงขึ้น (higher order) สามารถดูได้จากรูปที่ 2.7



(a)



(b)

รูปที่ 2.7 โครงสร้างของ second-order ที่ใช้ในการสร้างตัวกรองความถี่แบบดิจิตอลชนิด IIR ในทางปฏิบัติ: (a) canonic second-order section; (b) direct form second-order section.

โครงสร้างแบบ (a) เรียกว่า canonic section หรือ direct form 2 เนื่องจากมีองค์ประกอบหน่วงเวลาไม้อยู่ที่สุด ซึ่งสามารถแสดงได้ด้วยสมการที่ 2.13 ดังนี้

$$w(n) = \sum_{k=0}^2 a_k x(n) - \sum_{k=1}^2 b_k w(n-k) \quad (2.13a)$$

$$y(n) = \sum_{k=0}^2 a_k w(n-k) \quad (2.13b)$$

$$H(z) = \frac{a_0 + a_1 z^{-1} + a_2 z^{-2}}{1 + b_1 z^{-1} + b_2 z^{-2}} \quad (2.13c)$$

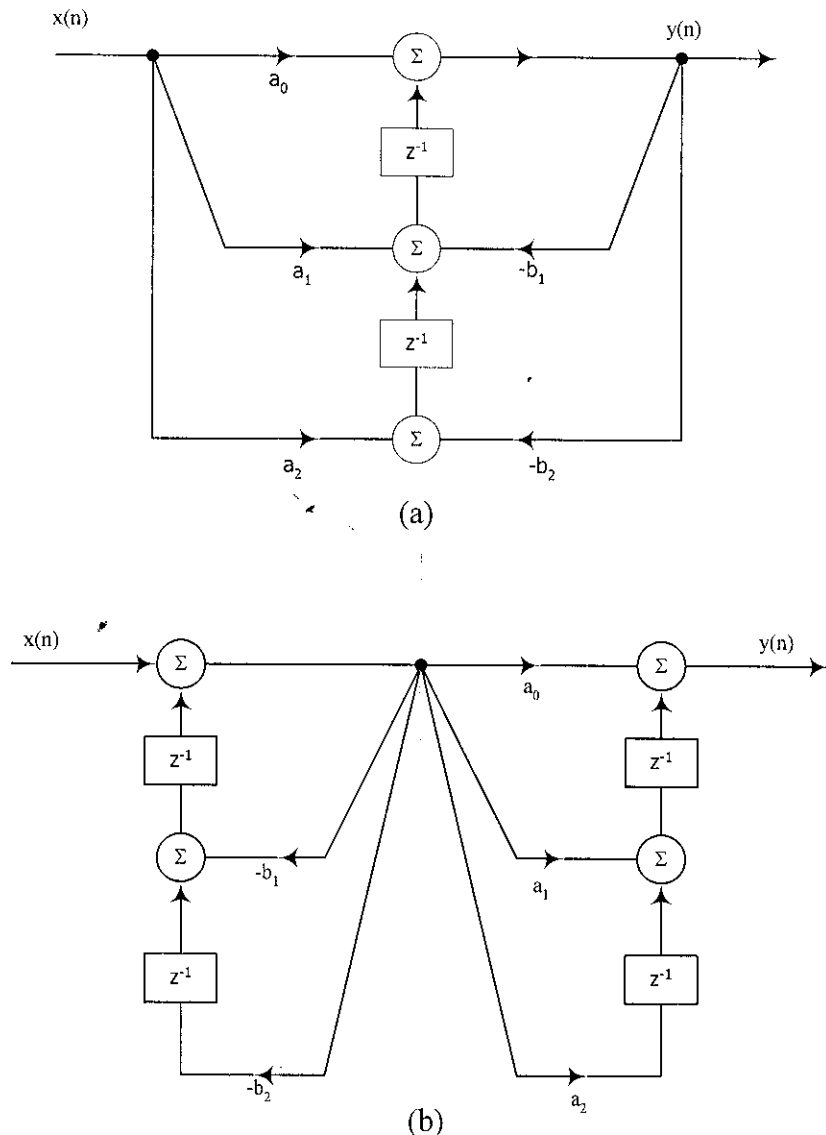
ส่วนโครงสร้างแบบ (b) คือโครงสร้างแบบตรงของ second-order แบบ IIR ซึ่งสามารถแสดงได้ด้วยสมการที่ 2.14

$$y(n) = \sum_{k=0}^2 a_k x(n-k) - \sum_{k=1}^2 b_k y(n-k) \quad (2.14a)$$

$$H(z) = \frac{a_0 + a_1 z^{-1} + a_2 z^{-2}}{1 + b_1 z^{-1} + b_2 z^{-2}} \quad (2.14b)$$

โครงสร้างแบบ canonic ในรูปที่ 2.7 (a) เป็นโครงสร้างที่มีค่านิยมใช้มากที่สุด เนื่องจากมีผลจาก roundoff noise ค่อนข้างน้อยและใช้องค์ประกอบในการเก็บค่าน้อยที่สุด แต่อาจจะเกิด overflow ภายในได้ ซึ่งสามารถหลีกเลี่ยงการเกิด overflow ได้โดยการทำ scaling นอกจากนั้นทั้งสองโครงสร้างสามารถทำเป็น first-order ได้โดยให้ $a_2 = b_2 = 0$

ในรูปที่ 2.8 แสดงทรานสโพส (transpose) ของ second-order canonic และ direct form โดยการเปลี่ยน node เป็น adder adder เป็น node และกลับทิศทางหัวสูกคร ถึงแม่ทรานสเฟอร์ฟังก์ชันที่ทรานสโพสของทั้งสองโครงสร้างในรูปที่ 2.8 จะเหมือนกัน แต่คุณสมบัติที่เกี่ยวกับ finite wordlength ของทั้งสองโครงสร้างจะแตกต่างกัน โครงสร้างแบบอื่น ๆ อาจจะได้รับผลกระทบจาก finite wordlength น้อยกว่าแต่ในขณะเดียวกัน โครงสร้างเหล่านี้ก็จะมีความซับซ้อนมากกว่าด้วย



รูปที่ 2.8 โครงสร้างทรานส์โพส (a) transpose canonic second-order; (b) transpose direct form second-order.

2.4.2.2 โครงสร้างแบบต่อเรียงกัน (Cascade Form)

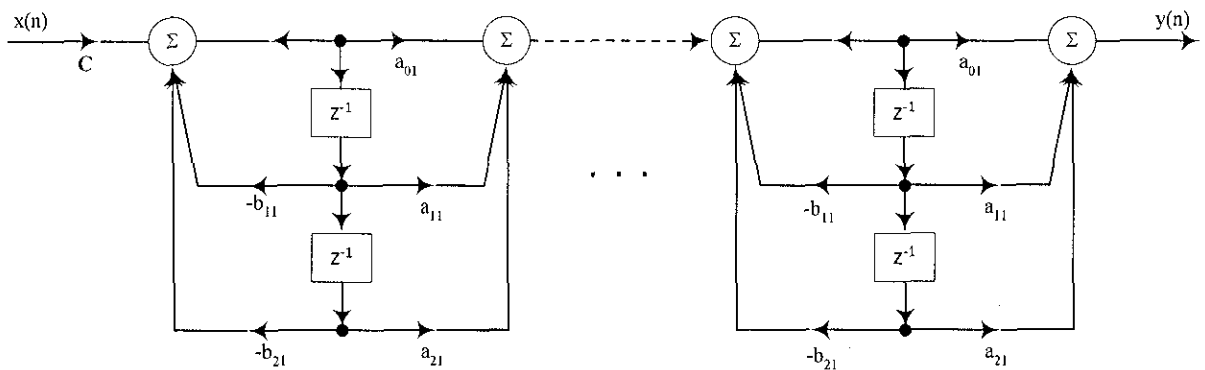
ในการปฏิบัติทรานส์ฟอร์มก์ชันที่มีอันดับสูงจะใช้โครงสร้างแบบต่อเรียงกันหรือต่อขานกัน โดยโครงสร้างดังกล่าวเกิดจากการรวมกันของโครงสร้างแบบตรงที่เป็น second-order และ first-order สำหรับโครงสร้างแบบต่อเรียงกันสามารถเขียนแทนด้วยทรานส์ฟอร์มก์ชันได้ดังสมการที่ 2.15

$$\begin{aligned}
 H(z) &= \prod_{k=1}^{N/2} \left[\frac{a_{0k} + a_{1k}z^{-1} + a_{2k}z^{-2}}{1 + b_{1k}z^{-1} + b_{2k}z^{-2}} \right] \\
 &= \prod_{k=1}^{N/2} \frac{N_k(z)}{D_k(z)}
 \end{aligned} \tag{2.15a}$$

$$\begin{aligned}
 N_k(z) &= a_{0k} + a_{1k}z^{-1} + a_{2k}z^{-2} \\
 D_k(z) &= 1 + b_{1k}z^{-1} + b_{2k}z^{-2}
 \end{aligned} \tag{2.15b}$$

N คือ order ของตัวกรองความถี่ โดยให้ N เป็นจำนวนคู่ แต่ถ้า N เป็นจำนวนคี่จะทำให้มีส่วนอย่างที่เป็น first-order หนึ่งส่วนใน $H_k(z)$

แต่ละส่วนย่อยที่เป็น second-order จะนำมาต่อเรียงกันดังรูปที่ 2.9 ซึ่งความซับซ้อนในโครงสร้างแบบต่อเรียงกันนี้คือ วิธีที่จะจับคู่พจน์เศษกับพจน์ส่วน order ของแต่ละส่วนย่อยที่การนำมานี้ขึ้นต่อและความต้องการที่จะทำ scaling ระดับสัญญาณที่หลาย ๆ ชุดในตัวกรองความถี่เพื่อที่จะหลีกเลี่ยงระดับสัญญาณที่สูงหรือต่ำเกินไป



รูปที่ 2.9 โครงสร้างแบบต่อเรียงกัน (Cascade Form)

จากรูปที่ 2.9 สามารถเขียนแสดงได้ด้วยสมการที่ 2.16 โดยที่ C คือค่าคงที่

$$H(z) = C \prod_{k=1}^n \frac{a_{0k} + a_{1k}z^{-1} + a_{2k}z^{-2}}{1 + b_{1k}z^{-1} + b_{2k}z^{-2}} \tag{2.16}$$

2.4.2.3 โครงสร้างแบบต่อขาน (Parallel Form)

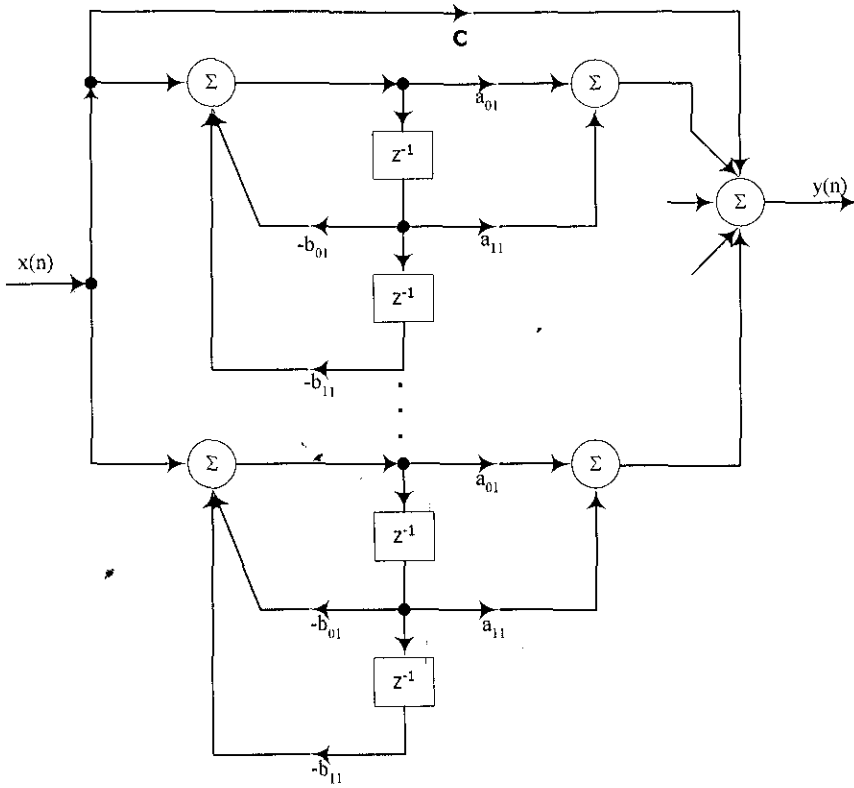
โครงสร้างแบบต่อขานนี้ ทรานส์เฟอร์ฟังก์ชันที่มี N^{th} -order $H(z)$ จะถูกแยกออกโดยการใช้ partial fraction แสดงได้ด้วยสมการที่ 2.17

$$H(z) = \mathbf{C} + \sum_{k=1}^{N/2} H_k(z) \quad (2.17)$$

โดยที่

$$\mathbf{C} = \frac{a_N}{b_N}, \quad H_k(z) = \frac{a_{0k} + a_{1k}z^{-1}}{1 + b_{1k}z^{-1} + b_{2k}z^{-2}}$$

แต่ละส่วนย่อยที่เป็น second-order จะถูกนำมาต่อกันดังในรูปที่ 2.10 สำมประสิทธิ์ในพจน์เศษของ z^{-2} ก็คือ zero ในโครงสร้างแบบต่อขานนี้ order ที่นำมาระบุต่อไปง่ายไม่ค่อยมีความสำคัญมากนัก ยิ่งไปกว่านั้นการทำ scaling ก็ง่ายกว่า สามารถแยกแต่ละส่วนย่อยมาพิจารณาได้อย่างอิสระ และ SNRsของโครงสร้างนี้สามารถเทียบได้กับการต่อแบบเรียงกัน (cascade) ที่ดีที่สุด อย่างไรก็ตามซึ่งโครงสร้างแบบต่อขานยังคงได้รับผลกระทบจาก quantization errors มากกว่าแบบต่อเรียงกัน



รูปที่ 2.10 โครงสร้างแบบต่อขาน (Parallel Form)

สมการที่ 2.18 แสดงความสัมพันธ์ของโครงสร้างแบบต่อขานในรูปที่ 2.10

$$H(z) = \mathbf{c} + \sum_{k=1}^n \frac{a_{0k} + a_{1k}z^{-1}}{1 + b_{1k}z^{-1} + b_{2k}z^{-2}} \quad (2.18)$$

2.4.3 โครงสร้างการอนุวัตตัวชดเชย

โครงสร้างของตัวกรองความถี่แบบ IIR มีหลายแบบ อย่างไรก็ตาม ไม่มีโครงสร้างใดที่ สมบูรณ์แบบ ผู้ใช้จึงต้องตัดสินใจเลือกโครงสร้างให้เหมาะสมกับการใช้งานของตนมากที่สุด การประยุกต์ที่ใช้การคำนวณแบบ floating point มักจะพบปัญหาน้อยกว่าการใช้ fixed point แต่การประยุกต์ในด้านระบบควบคุม ยังคงมีข้อจำกัดทางด้าน hardware ในเรื่องจำนวนบิตของหน่วยความจำ ข้อจำกัดนี้ส่งผลให้เกิดการแกว่งแบบดำรงตัว (limit-cycle oscillation) ในเอาท์พุตจากตัวชดเชย เมื่อพิจารณาประเด็นที่ว่า จะต้องป้องกันไม่ให้เกิดการแกว่งแบบดำรงตัว หรือมีโอกาสเกิดขึ้นน้อยที่สุด วิธีปฏิบัติที่เหมาะสมคือ ใช้การตัดทศนิยม (truncation) และใช้โครงสร้างแบบต่อเรียงกันในกรณีของ high-order โดยใช้ผลการอนุวัตทรานส์ฟอร์ฟิงก์ซันอันดับหนึ่งหรืออันดับสองด้วย โครงสร้างแบบ

direct form 2 (canonic) วิธีการตั้งกล่าวจะให้ความสะดวกและง่ายต่อการอนุรูปมากที่สุด เพราะถ้าต้องการอนุรูป ทราบสเปอร์ฟิงก์ชันที่มีอันดับสูงกว่าสอง ก็สามารถแยกองค์ประกอบของบอยให้อยู่ในรูปผลคูณของอันดับสองหลาย ๆ พจน์กับอันดับหนึ่งได้ ดังแผนภาพโครงสร้างแบบต่อเรียงกัน (cascade) ในรูปที่ 2.9 การอนุรูปในโครงงานนี้ได้ทำการอนุรูปทราบสเปอร์ฟิงก์ชันอันดับหนึ่งและสอง ซึ่งเป็นโครงสร้างในองค์ประกอบของบอยที่สำคัญมากโดยใช้โครงสร้างแบบ direct form 2 ที่กล่าวข้างต้น สำหรับ ทราบสเปอร์ฟิงก์ชัน high-order ผู้ใช้สามารถนำการอนุรูปในโครงงานนี้ไปใช้ประยุกต์ได้ดังที่กล่าวไว้แล้ว นอกจากนั้นในการอนุรูปครั้งนี้ยังใช้ทั้งการคำนวณแบบ floating point ร่วมกับ fixed point โดยแสดงโครงสร้างการอนุรูปทราบสเปอร์ฟิงก์ชันอันดับหนึ่งในรูปที่ 2.11 และโครงสร้างการอนุรูปทราบสเปอร์ฟิงก์ชันอันดับสองในรูปที่ 2.12 ตัวสมการที่ 2.19 และ 2.20 แสดงความสัมพันธ์ของทราบสเปอร์ฟิงก์ชันอันดับหนึ่งและสองตามลำดับ

$$H(z) = \frac{Y(z)}{X(z)} = \frac{a_0 + a_1 z^{-1}}{b_0 + b_1 z^{-1}} \quad (2.19a)$$

$$H(z) = C_1 \left(\frac{1 + a_{11} z^{-1}}{1 + b_{11} z^{-1}} \right)$$

$$y(n) = C_1 \left(x(n) - \frac{b_1}{b_0} y(n-1) + \frac{a_1}{a_0} x(n-1) \right) \quad (2.19b)$$

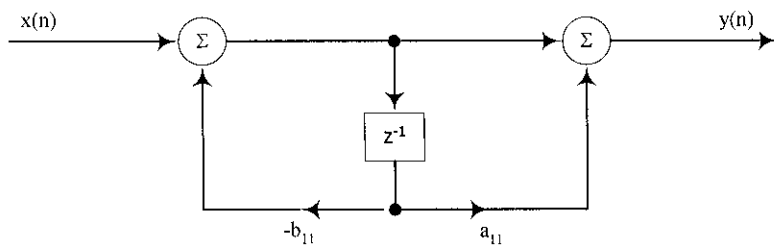
ถ้าให้

$$a_{11} = \frac{a_1}{a_0} \quad \text{และ} \quad b_{11} = \frac{b_1}{b_0}$$

จะได้ความสัมพันธ์ดังในสมการที่ 2.19c ซึ่งสมการนี้นำไปใช้ในโปรแกรมการอนุรูปตัวชุดเชยที่มีทราบสเปอร์ฟิงก์ชันอันดับหนึ่ง

$$y(n) = C_1 (x(n) + a_{11} x(n-1) - b_{11} y(n-1)) \quad (2.19c)$$

ค่าคงที่ C_1 นี้จะนำมาคูณเข้าที่หลังเพื่อป้องกันการเกิด overflow ใน การประมวลผลของโปรแกรมการอนุรูปตัวชุดเชย



รูปที่ 2.11 โครงสร้างที่ใช้ในการอนุวัตตัวชดเชยที่มีทรานสเฟอร์ฟังก์ชันอันดับหนึ่ง

$$H(z) = \frac{Y(z)}{X(z)} = \frac{a_0 + a_1 z^{-1} + a_2 z^{-2}}{b_0 + b_1 z^{-1} + b_2 z^{-2}} \quad (2.20a)$$

$$H(z) = C_2 \left(\frac{1 + a_{11} z^{-1} + a_{21} z^{-2}}{1 + b_{11} z^{-1} + b_{21} z^{-2}} \right)$$

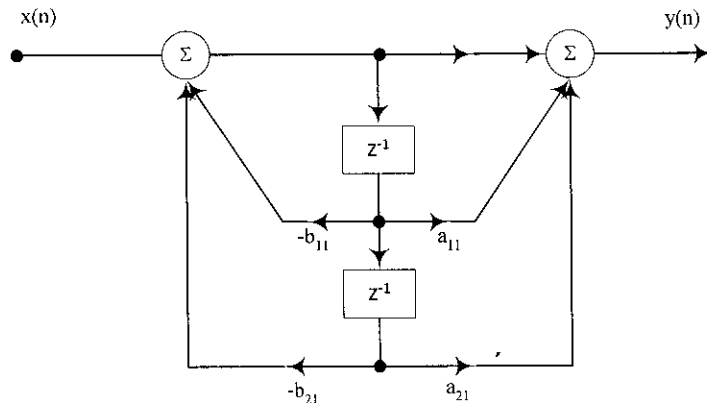
$$y(n) = C_2 \left(x(n) + \frac{a_1}{a_0} x(n-1) + \frac{a_2}{a_0} x(n-2) - \frac{b_1}{b_0} y(n-1) - \frac{b_2}{b_0} y(n-2) \right) \quad (2.20b)$$

ถ้าให้ $a_{11} = \frac{a_1}{a_0}$, $a_{21} = \frac{a_2}{a_0}$, $b_{11} = \frac{b_1}{b_0}$ และ $b_{21} = \frac{b_2}{b_0}$

จะได้ความสัมพันธ์ดังในสมการที่ 2.20c ซึ่งสมการนี้นำไปใช้ในโปรแกรมการอนุวัตตัวชดเชยที่มีทรานสเฟอร์ฟังก์ชันอันดับสอง

$$y(n) = C_2 [x(n) + a_{11}x(n-1) + a_{21}x(n-2) - b_{11}y(n-1) - b_{21}y(n-2)] \quad (2.20c)$$

เช่นเดียวกับกรณีของทรานสเฟอร์ฟังก์ชันอันดับหนึ่งที่จะต้องคำนึงถึงค่าคงที่ออกก่อนเพื่อป้องกันการเกิด overflow และสำหรับทรานสเฟอร์ฟังก์ชันอันดับสองนี้ค่าคงที่ที่คงอยู่คือ C_2



รูปที่ 2.12 โครงสร้างที่ใช้ในการอนุวัตตัวชุดเชยที่มีกรานสเฟอร์ฟังก์ชันอันดับสอง

2.5 โครงสร้างของภาษาไดนามิกส์ซี (Dynamics C)

โปรแกรมที่ใช้คิดต่อกับคอนโทรลเลอร์บอร์ด BL1120 (Little Giant) คือ โปรแกรมไดนามิกส์ซี ดังนั้นจึงจำเป็นที่จะต้องทำความเข้าใจและศึกษาเกี่ยวกับ โครงสร้างของภาษาไดนามิกส์ซี ซึ่งมีโครงสร้างคล้ายคลึงกับภาษาซีแต่ก็มีหลายส่วนที่แตกต่างกันดังจะอธิบายในรายละเอียดต่อไป

2.5.1 บทนำเกี่ยวกับไดนามิกส์ซี

ไดนามิกส์ซีคือระบบพัฒนาร่วมที่สามารถทำงานได้บนพีซี โดยถูกออกแบบมาให้ใช้กับ Z-world คอนโทรลเลอร์ และผลิตภัณฑ์ที่เกี่ยวกับระบบควบคุม ซึ่ง Z-world คอนโทรลเลอร์นี้เกิดมาจาก Zilog's Z180 ไมโครprocessor และประกอบด้วยหน่วยคำสั่งอินพุท หน่วยคำสั่งเอาท์พุท คิจ托ลลินพุท คิจตอลเอาท์พุท เอ้าท์พุทกระแสสูง การติดต่อแบบอนุกรม สัญญาณนาฬิกา และ ไหมเมอร์ Z-world คอนโทรลเลอร์จะใช้กับโปรแกรมภาษาซี ที่เรียกว่า ไดนามิกส์ซี

สาเหตุที่เลือกใช้ภาษาซีเนื่องมาจากว่าตัวควบคุมที่สามารถโปรแกรมได้นั้น จะต้องมีความยืดหยุ่นมากที่สุดเพื่อที่จะได้พัฒนาระบบควบคุม ภาษาซีเป็นภาษาที่ได้รับการนิยมมากสำหรับการโปรแกรมระบบตรึงແண์ ซึ่งเป็นที่รู้จักกันอย่างแพร่หลาย ทั้งสามารถผลิตโค้ดที่กระชับและมีประสิทธิภาพได้ นอกจากนี้ภาษาซียังเป็นภาษาระดับสูง โค้ดสามารถพัฒนาได้เร็วกว่าภาษาแอสเซมบลี และยังสามารถโปรแกรมเป็นภาษาเครื่อง ได้อีกด้วย

2.5.2 ส่วนประกอบของไดนามิกส์ซี

ไดนามิกส์ซีประกอบด้วยฟังก์ชันดังนี้ Editing, Compiling, Linking, Loading, และ Debugging ไดนามิกส์ซีสามารถเขียนได้ง่ายใน text editor สามารถประมวลผลและแก้ส่วนที่ผิดได้ในชีอสโค๊ด และสามารถสร้างไฟล์ EPROM หรือไฟล์ที่สามารถดาวน์โหลดได้สำหรับโปรแกรมที่จะใช้ประมวลผลเพียงคำพิมพ์ในตัวคอนโทรลเลอร์ พุกดาวน์เมนูและคีย์บอร์ดซึ่อตคทของคำสั่งต่าง ๆ ช่วยทำให้ไดนามิกส์ซีมีประสิทธิภาพมากยิ่งขึ้น เนื่องจากได้มีการนำฟังก์ชันที่ได้รับการพัฒนาแล้วมารวมไว้ในไดนามิกส์ซีซึ่งสามารถเปลี่ยนการทำงานจากฟังก์ชันหนึ่งไปสู่อีกฟังก์ชันหนึ่งได้โดยใช้คีย์สโตรก นอกจากนี้ไดนามิกส์ซียังสนับสนุนการโปรแกรมภาษาแอสเซมบลี (Assembly) โดยสามารถใช้ภาษาแอสเซมบลีรวมกับไดนามิกส์ซีได้ โดยไม่จำเป็นต้องออกจากส่วนของไดนามิกส์ซีก่อน

ส่วนการแก้ไขข้อบกพร่อง (Debugging) ไดนามิกส์ซีได้จัดให้มีหน้าต่างมาตรฐานอินพุท/เอาท์พุท (Standard I/O window) ทำให้โปรแกรมในคอนโทรลเลอร์สามารถพิมพ์ข้อความออกทางหน้าจอได้ หน้าต่างแอสเซมบลี (Assembly window) จะแสดงแอสเซมบลีโค๊ดที่ผ่านการคอมไพล์แล้ว หน้าต่างการมอง (Watch window) ช่วยให้โปรแกรมเมอร์สามารถพิมพ์หรือกำหนดส่วนที่แสดงผลทางจอภาพ หรือปรับแต่งค่าตัวแปร รวมทั้งการเรียกใช้ฟังก์ชันต่าง ๆ ได้ นอกจากนี้ยังมีหน้าต่างรีจิสเตอร์ (Register window) และหน้าต่างสเต็ค (Stack window) ให้ใช้งานอีกด้วย ดีบักเกอร์ (Debugger) ของไดนามิกส์ซีสามารถปรับตั้งค่าและลบค่าจุดหยุด (Break point) ของโปรแกรมได้

นอกจากนี้ ไดนามิกส์ซียังมีส่วนที่เพิ่มเติมจากภาษาซีธรรมดางาน การใช้ตัวแปรร่วมกันและการป้องกันตัวแปร ซึ่งจะสนับสนุนระบบในเวลาจริง (Real-time) สามารถเขียนโปรแกรมบริการอินเทอร์รัปต์ (Interrupt Service Routines) ในภาษาซี ไดนามิกส์ซี นอกจากนี้ ไดนามิกส์ซียังสนับสนุน Real-time multitasking ด้วยฟังก์ชัน Real-time kernel และฟังก์ชัน Costatement ไดนามิกส์ซีประกอบด้วยฟังก์ชันไลบรารีมากมายที่อยู่ในรูปชีอสโค๊ด ฟังก์ชันไลบรารีเหล่านี้ต่างก็สนับสนุนการโปรแกรมแบบระบบเวลาจริง อินพุท/เอาท์พุตระดับแม่ชีน การจัดเตรียมระบบข้อมูลและฟังก์ชันคณิตศาสตร์

ในเรื่องของความเร็ว ไดนามิกส์ซีจะคอมไพล์โดยตรงที่หน่วยความจำของ Z180 ฟังก์ชันและไลบรารีจะถูกคอมไпал์ ลีก์ แล้วก็ และความโหลดในทันที ถ้าพิชีที่ใช้เข้มต่อมีความเร็วสูง ไดนามิกส์ซีสามารถคอมไпал์ชีอสโค๊ดได้มากกว่า 250 บรรทัดต่อวินาที และสร้างแม่ชีนโค๊ดประมาณ 2,500 ไบต์ต่อวินาที ถ้าเป็นโปรแกรมใหญ่ (ในที่นี้หมายถึงโปรแกรมที่มีชีอสโค๊ดประมาณ 8,000 บรรทัด) อาจจะสร้างแม่ชีนโค๊ดได้ 80 กิโลไบต์ และใช้เวลา 30 วินาทีในการคอมไпал์และดาวน์โหลด ส่วนแอพพลิเคชันโค๊ดอาจจะมีเพียง 400 บรรทัด

2.5.3 ข้อแตกต่างของภาษา C ด้วยมิกส์ซีกับภาษาซี

ไคนามิกส์ซีแตกต่างจากภาษาซีแบบเดิมไม่ว่าจะทำการรันด้วยพีซี (PC) หรือภายใต้ระบบยูนิกซ์ (UNIX) ด้วยการกระตุ้นเพื่อให้เกิดความแตกต่างที่ดีกว่า โดยช่วยให้ผู้ใช้สามารถเขียนซอฟแวร์ควบคุมระบบเครื่องแน่นที่มีความน่าเชื่อถือมากที่สุดได้

ข้อแตกต่างทั้งหมดของภาษา C ด้วยมิกส์ซีจากภาษาซีสามารถสรุปได้ดังนี้

- ตัวแปรที่ถูกกำหนดขึ้นเมื่อมีการประกาศตัวแปรจะถูกนำไปเก็บไว้ในส่วน ROM ส่วนนี้คือ Error ที่พยายามเปลี่ยนแปลง
- Class ปกติที่ใช้ในการเก็บค่า (Storage class) คือ Static ไม่ใช่ Auto
- ไม่มีไอดเรคทิฟ `#include` แต่จะใช้ไอดเรคทิฟ `#use` แทน
- ไคนามิกส์ซีจะไม่สนับสนุน Enumerated types
- `Extern` กับ `Register` จะมีความหมายเปลี่ยนไป
- Function chaining ทำให้สามารถรวมส่วนที่พิเศษของโค้ดในหนึ่งฟังก์ชันหรือมากกว่าได้ เมื่อถูก Execute ส่วนที่เป็นของฟังก์ชันนั้นทั้งหมดก็จะถูก Execute ด้วย ทำให้ซอฟต์แวร์สามารถทำการกำหนดค่าเริ่มต้น คืนข้อมูล หรือหน้าที่อื่นได้ตามต้องการ
- “Costatements” ทำให้กระบวนการหลายกระบวนการสามารถจำลองผลได้ในโปรแกรมเดียว
- ไคนามิกส์ซีทำให้ผู้เขียนโปรแกรมสามารถเขียนโปรแกรมบริการอินเทอร์รัปต์ในภาษาซีได้
- ไคนามิกส์ซีสนับสนุนโค้ดภาษาแอสเซมบลี
- ไคนามิกส์ซีมีคีย์เวิร์ด `Shared` และ `Protected` ซึ่งจะช่วยป้องกันข้อมูลไม่ให้หายได้
- มีลักษณะที่ให้โปรแกรมเมอร์สามารถใช้หน่วยความจำในส่วนที่มีการขยายออกได้
- มี 2 รูปแบบสำหรับ Argument passing โดยใช้ IX index register กับการใช้ Stack pointer (SP)
- มีโครงสร้างของ Subfunction ที่จะช่วย Optimize โค้ดที่มีการใช้งานบ่อย ๆ

2.5.4 การใช้งานโปรแกรมไกด์นามิกส์ชีในเบื้องต้น

ก่อนใช้งานโปรแกรมไกด์นามิกส์ชีจะต้องมีการติดตั้งโปรแกรมก่อน ถึงที่ต้องทราบก็คือข้อกำหนดต่อ ๆ ก่อนการติดตั้ง ดังจะกล่าวในรายละเอียดข้างล่างนี้

2.5.4.1 ข้อกำหนดก่อนการติดตั้งโปรแกรมไกด์นามิกส์ชี

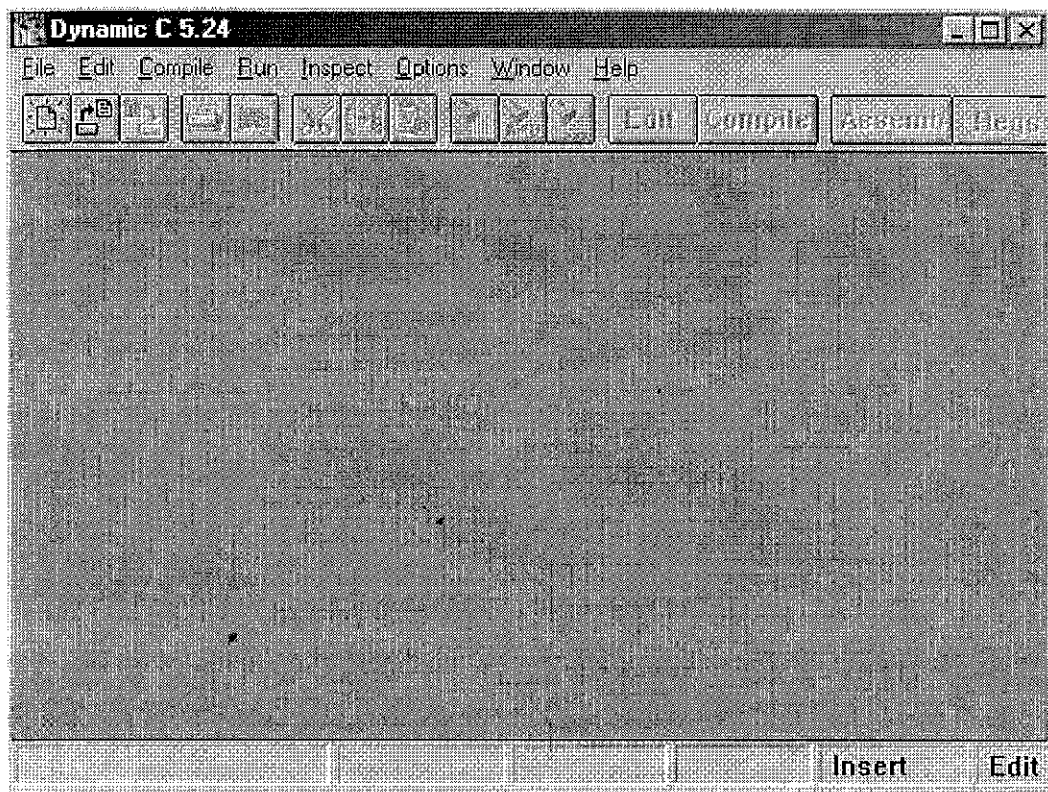
- มีเนื้อที่ว่างในฮาร์ดดิสก์อย่างน้อย 4 เมกะไบต์
- เครื่องพีซีต้องมีโปรเซสเซอร์ตั้งแต่ 386 ขึ้นไป
- มีการติดตั้งวินโดวส์ 3.1, วินโดวส์ เอ็นที หรือ วินโดวส์ 95 แล้ว
- มีเนื้อที่ว่างในหน่วยความจำอย่างน้อย 4 เมกะไบต์
- มีพอร์ทอนุกรมที่ว่างอย่างน้อย 1 พอร์ทเพื่อใช้ในการติดต่อกับ
คอมพิวเตอร์บอร์ด

2.5.4.2 การติดตั้งโปรแกรมไกด์นามิกส์ชี

แผ่นดิสก์ที่ใช้ในการติดตั้งโปรแกรมมีอยู่ด้วยกัน 2 แผ่น โดยตามขั้นตอนดังนี้

1. นำแผ่นติดตั้งแผ่นที่ 1 ใส่ในไดร์ฟ A
2. พิมพ์ A:\setup.exe
3. เมื่อทำไปได้สักระยะหนึ่งโปรแกรมการติดตั้งก็จะเตือนให้เปลี่ยนเป็น
แผ่นติดตั้งแผ่นที่ 2

เมื่อทำการติดตั้งเสร็จเรียบร้อยแล้วจะมีICONของโปรแกรมไกด์นามิกส์ชีปรากฏขึ้น เมื่อคลิกเข้าไปที่ตัวโปรแกรมจะมีหน้าต่างดังรูปที่ 2.13



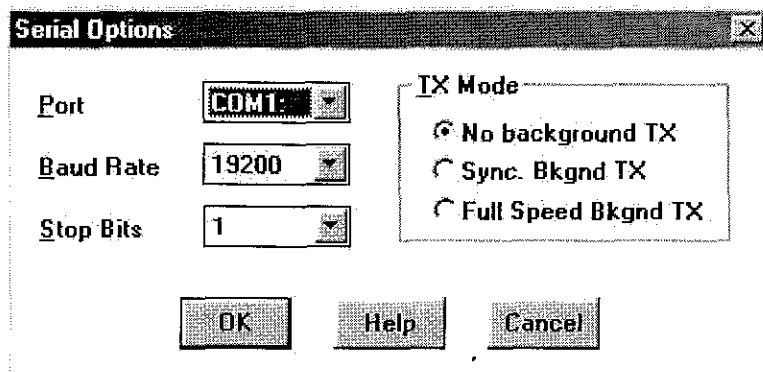
รูปที่ 2.13 หน้าต่างของโปรแกรมไคนามิกส์ซี

2.5.4.3 การปรับตั้งค่าเพื่อให้โปรแกรมติดต่อกับบอร์ด

ก่อนที่จะใช้งานโปรแกรมนี้จะต้องทำการปรับตั้งค่าต่าง ๆ เพื่อให้โปรแกรมไคนามิกส์ซีสามารถติดต่อกับคอมพิวเตอร์ได้ ถ้าไม่ เช่นนั้นแล้วโปรแกรมนี้จะไม่สามารถติดต่อกับบอร์ดได้เลย

ทำการปรับตั้งค่าที่ *Serial Options*

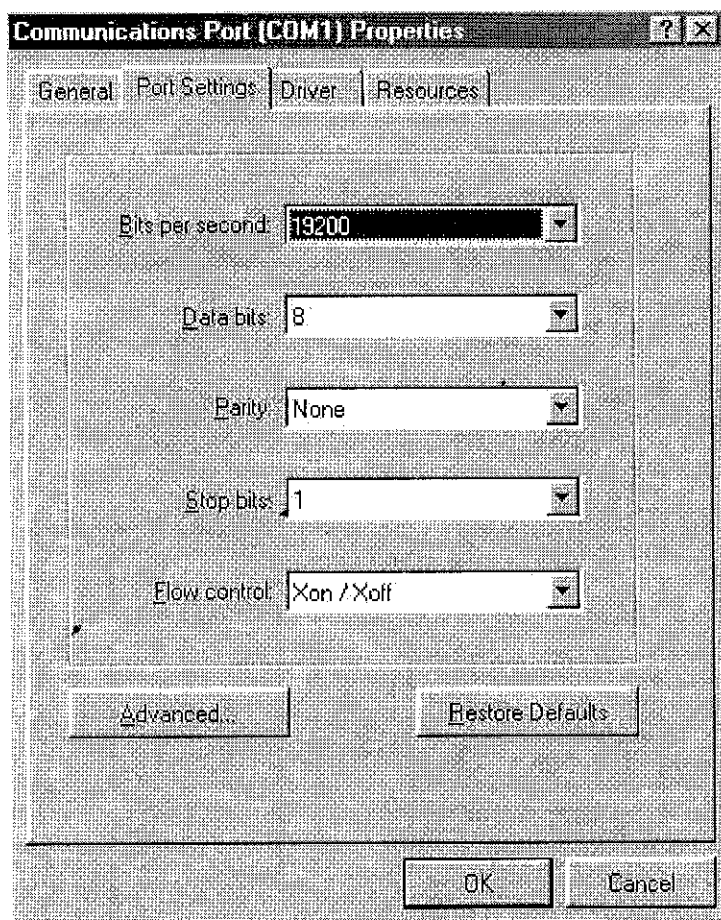
ในขั้นตอนที่ทำการติดต่อโปรแกรมไคนามิกส์ซีจะมีให้เลือก Serial port ที่ใช้ในการติดต่อซึ่งในที่นี้เลือกที่พอร์ท Com1 และจากข้อกำหนดของคอมพิวเตอร์ซึ่งต้องทำการปรับตั้งค่า Baud rate ที่ 19,200 baud ดังรูปที่ 2.14



รูปที่ 2.14 การปรับตั้งค่าที่ Serial Options

ทำการปรับตั้งค่าที่ Communications port (Com1) properties

ในส่วนการปรับตั้งค่านี้จะต้องเข้าไปที่ Control Panel ในวินโดวส์ และเข้าไปที่ System จะปรากฏหน้าต่างของ System Properties และคลิกที่ Device Manager เมื่อเข้ามาใน Device Manager แล้วให้เลือก View devices by type ไปที่ Ports (Com & LPT) และคลิกที่ Communications Port (Com1) จะปรากฏหน้าต่างของ Communications Port (Com1) Properties เลือกที่ Port Settings และทำการปรับตั้งค่าตามรูปที่ 2.15 หากที่ต้องทำการปรับตั้งค่าตรงส่วนนี้ด้วยก็ เพราะว่าเพื่อให้สามารถติดต่อกับบอร์ดได้นั่นเอง เนื่องจากว่าจะต้องปรับตั้งค่าให้เข้ากันทั้งสามส่วนคือ คอนโทรลเลอร์บอร์ด โปรแกรมไอนามิกส์ซี และพีซี โดยได้ทำการต่อ J7 ของบอร์ดเข้ากับ Com1 ของพีซีแล้ว



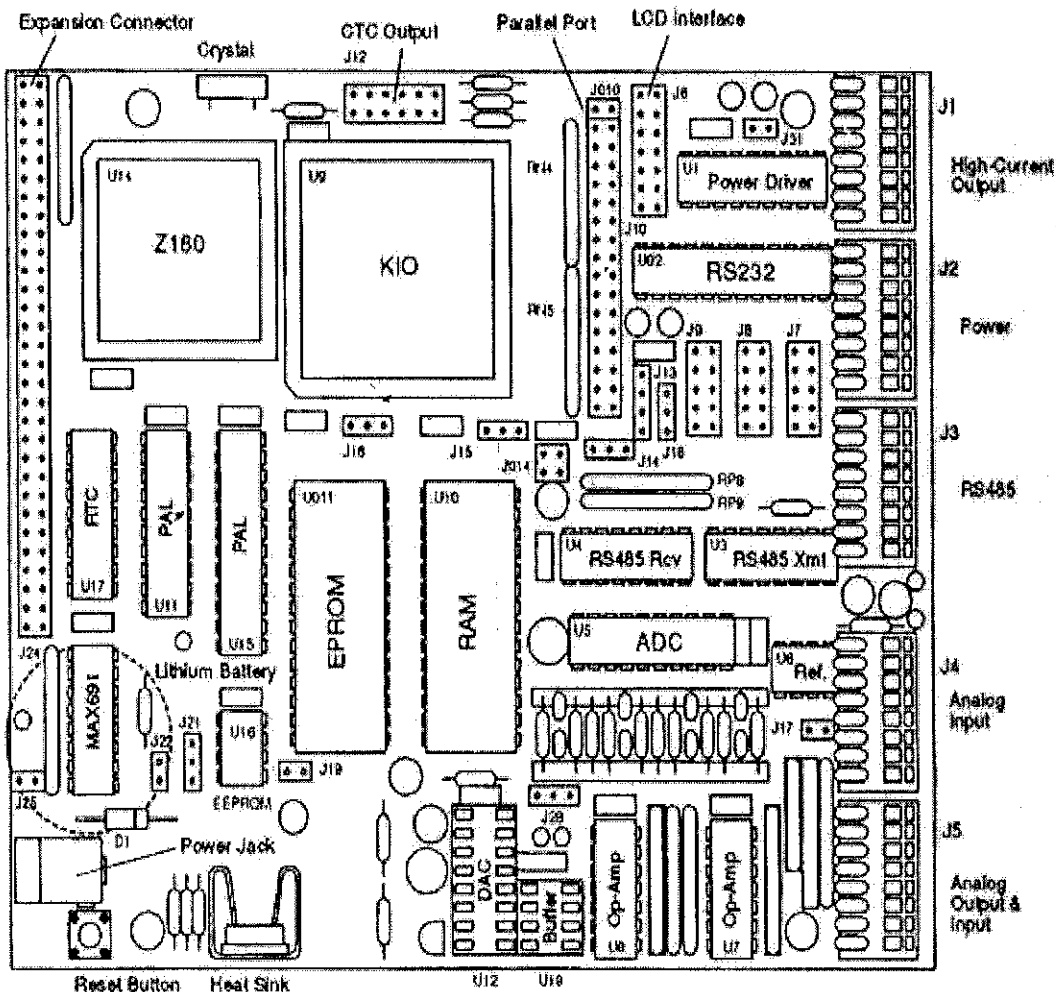
รูปที่ 2.15 การปรับตั้งค่าที่ Communications port (Com1) properties

หลังจากที่ทำการปรับตั้งค่าต่าง ๆ เสร็จเรียบร้อยแล้ว จะสามารถทำการติดต่อระหว่าง คอมโทรอลเลอร์บอร์ดกับพีซีได้แล้วโดยผ่านโปรแกรมไดนามิกส์ซี ในส่วนของการใช้งานกับ โปรแกรมการอนุวัตตัวชุดเรียจะกล่าวในบทที่ 3

2.6 คอมโทรอลเลอร์บอร์ด BL1120 (Little Giant)

คอมโทรอลเลอร์บอร์ดนี้มีชื่อเรียกว่า Little Giant เป็นผลิตภัณฑ์หนึ่งของบริษัท Z-World ซึ่งเป็นคอมโทรอลเลอร์บอร์ดขนาดเล็ก โดยบอร์ดนี้ใช้งานกับโปรแกรมไดนามิกส์ซีเวอร์ชัน 5.24 (Dynamics C 5.24) เป็นเวอร์ชันมาตรฐานเนื้องจาก Run ด้วย DCW.EXE ภายใต้winโดวส์ โดยมี ลักษณะที่สำคัญดังจะกล่าวในรายละเอียดต่อไปนี้

2.6.1 ส่วนประกอบของคอนโทรลเลอร์บอร์ด



รูปที่ 2.16 ส่วนประกอบของคอนโทรลเลอร์บอร์ด BL1120 (Little Giant)

- บอร์ดขนาด 5.6" x 4.8" หรือ 142x122 มิลลิเมตร
- Z180 ไมโครโปรเซสเซอร์ รันที่ 12.288 MHz ด้วย partial wait state
- มีส่วนการตรวจจับและเตือนการลดลงของ Power โดยจะมี /nonmaskable interrupt เกิดขึ้นเมื่อ power ลดลงต่ำกว่าระดับปกติ โดยโปรแกรมจะใช้เวลาประมาณ 2-3 มิลลิวินาที เพื่อที่จะทำการปิดโปรแกรม
- มี Watchdog timer ถ้าปรับตั้งค่าให้ watchdog ทำงาน (enable) จะทำการปรับค้างค่าบอร์ดใหม่โดยอัตโนมัติถ้าระบบ Watchdog timer ทำงานผิดปกติไป นี้คือ

ลักษณะที่แสดงถึงความน่าเชื่อถืออย่างหนึ่งที่จะช่วยในการรักษาความผิดพลาดของซอฟต์แวร์หรือฮาร์ดแวร์

- มี 256 Kbytes EPROM ซึ่งยอมรับ ROMs ทั้ง 28-pin หรือ 32-pin
- มี battery-backed static RAM 512 Kbytes ซึ่งสามารถใช้ RAMs ได้ทั้ง 28-pin หรือ 32-pin แบบเตอร์เลิทียมบนบอร์ดมีอายุประมาณ 10 ปี
- 512 bytes EEPROM ครึ่งหนึ่งของหน่วยความจำ EEPROM (256 bytes) สามารถป้องกันไม่ให้มีการลบໄได้โดยใช้ jumper 21 (J21) ซึ่งหน่วยความจำส่วนนี้ใช้สำหรับการเก็บรักษาค่า Baud rate ที่ปรับตั้งค่าเอาไว้, ค่าที่คалиเบրท (calibrate) หรือค่าคงที่การปรับตั้งค่าต่าง ๆ นอกจากนั้นผู้ใช้งานสามารถเปลี่ยน EEPROM ใหม่ได้ถึง 2048 bytes
- Battery-backed real-time clock มีพื้นฐานมาจากชิพ Epson 72421 สามารถรันได้ถึง 10 ปีบนแบบเตอร์เลิทียม
- มี 4 พอร์ทอนุกรม (serial ports) โดยที่มี 2 พอร์ทที่มีพื้นฐานมาจากพอร์ทที่สร้างขึ้นภายใน Z180 ส่วนอีก 2 พอร์ทมีรากฐานมาจากพอร์ทอนุกรมของ Zilog KIO peripheral chip ซึ่งพอร์ท KIO เข้ากันได้กับ Zilog SIO และสามารถติดต่อได้ทั้งแบบซินโครนัส (Synchronous) และอะซินโครนัส (Asynchronous) ซึ่งระดับศักยภาพที่ทั้งแบบ RS485 (balanced) และ RS232 (unbalanced) สามารถทำได้ไม่ยาก
- มี 1 พอร์ทข่าน 16 บิตซึ่งมีรากฐานมาจาก Zilog KIO/PIO พอร์ทนี้สามารถเชื่อมต่อโดยตรงได้กับอุปกรณ์ชนิดอื่น ๆ หลายชนิด
- มี 1 พอร์ทศักย์/กระแสสูงซึ่งอยู่บนพื้นฐานของ Sprague 5841 type driver ซึ่งรับสัญญาณ (channels) ที่เห็นในตัวบอร์ดในรูป 2.16 สามารถนำมาร่วมกันเพื่อให้กระแสสูงขึ้นได้
- มี Liquid crystal display interface LCDs มาตรฐาน เช่น Optrex part number DMC20481 สามารถต่อเข้าโดยตรงกับคอนเนกเตอร์ที่มี 14-pin
- ตัวแปลงสัญญาณอนาล็อกเป็นดิจิตอล (A/D converter) 8 ช่องรับสัญญาณ (channels) ที่มีตัวขยายอินพุตรวมอยู่ด้วย ซึ่ง A/D converter นี้มีความละเอียด (resolution) ที่ 10 บิตถ้าเป็น LTC1094 หรือ 12 บิตถ้าเป็น LTC1294 โดยที่ค่าความละเอียดนี้สามารถเปลี่ยนแปลงได้ คอนโทรลเลอร์บอร์ดตัวนี้สนับสนุน single-ended หรือ differential input ด้วย

- ตัวแปลงสัญญาณดิจิตอลเป็นอนาล็อก DAC (Digital to Analog Converter) มีความละเอียดที่ 12 บิตและเอาท์พุทอยู่ในช่วง 0-2.5 โวลต์ ส่วน Maxim AD7543 DAC จะใช้กับ MAX400 buffer amplifier สำหรับเอาท์พุทที่มากที่สุดที่ 2 mA
- ใช้กับแหล่งจ่ายที่เน้นเชิงเส้น (linear power supply) ที่สามารถจ่ายแรงดันได้ตั้งแต่ 9-16 โวลต์สำหรับ wall transformer หรือแหล่งจ่ายอื่น
- คอนโทรลเลอร์บอร์ด Little Giant นี้มีแหล่งจ่ายในตัวแบบเชิงเส้น -5V (10 mA) และจะมีสภาวะปกติที่ -10 V จาก driver RS232 ซึ่งจะมีตัวแปลงแบบไฟตรง-ไฟตรง ที่สร้างขึ้นภายในบอร์ด

2.6.2 สิ่งที่ควรทำก่อนการใช้งานบอร์ด

ก่อนที่จะเริ่มใช้งานคอนโทรลเลอร์บอร์ดควรมีการปรับตั้งค่าต่าง ๆ เหล่านี้ก่อนเพื่อให้สามารถติดต่อกับบอร์ดโดยใช้โปรแกรมไดนามิกส์ผ่านพอร์ต RS232

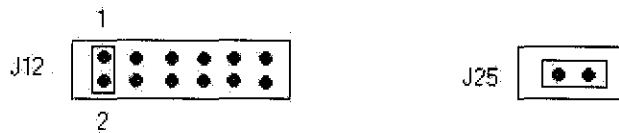
- ทำการเชื่อมต่อ J7 (Jumper 7) ที่อยู่บนคอนโทรลเลอร์บอร์ดกับพอร์ตอนุกรมคอม 1 (Com1) ของพีซี โดยใช้สายแคปิลที่ให้มาพร้อมกับบอร์ด และจะต้องใช้หน้อแปลงต่อเข้ากับพาวเวอร์แจ็ค (Power jack) ของตัวบอร์ดเพื่อจ่ายไฟให้กับบอร์ด เมื่อทำการเชื่อมต่อแล้วจะเห็นว่า reset LED จะกระพริบและ LD2 จะสว่าง
- จากคู่มือเนื่องจากทำการเชื่อมต่อที่ J7 (RS232) ดังนั้นจึงต้องทำการปรับตั้งค่า Hardware reset เป็นโหมดศูนย์ (Mode 0) โดยการเชื่อมต่อ J25 และ J12 pin 1-2 โดยจะเป็นการบูตบอร์ดโดยไม่ต้องสนใจ EEPROM เพื่อติดตั้ง Baud rate ที่เข้ากับ Clock crystal ในที่นี้ปรับตั้งค่า Baud rate ที่ 19,200 baud (เนื่องจากถ้าปรับตั้งค่าที่ค่าอื่นแล้วไม่สามารถเข้ากับบอร์ดได้เลย เห็นได้จากจะมีไกด์ลีกบอกชี้แจงมาเตือนว่า “Target communication error” หรือ “Target not responding” แสดงการปรับตั้งค่า J25 และ J12:1-2 ในรูปที่ 2.17)
- เมื่อต้องการใช้ Watchdog timer จะต้องทำการเชื่อมต่อ J22 (ในที่นี้ทำการปรับตั้งค่า J22 เพื่อรองรับการปรับตั้งค่า timer)
- ส่วน EEPROM จะปรับตั้งค่าที่ J21 มีการปรับตั้งค่า 2 รูปแบบซึ่งก็คือ
 - ถ้าทำการเชื่อมต่อ J21:1-2 จะหมายถึงการป้องกันไม่ให้มีการเขียน EEPROM ส่วนบน
 - ถ้าทำการเชื่อมต่อ J21:2-3 จะหมายถึงการยอมให้มีการเขียน EEPROM ส่วนบนได้

ในที่นี้จะทำการปรับตั้งค่าโดยป้องกันไม่ให้มีการเขียนที่ส่วนบนของ EEPROM จะขอมให้มีการเขียน EEPROM ส่วนบนเมื่อจำเป็นเท่านั้น

- ในส่วนของการปรับตั้งค่า RAM จะทำการปรับตั้งค่าที่ J15 โดยจะมีการปรับตั้งค่า 2 รูปแบบคือ
 - กรณี Static RAM น้อยกว่า 256K bytes จะทำการเชื่อมต่อ J15:1-2
 - กรณี Static RAM มากกว่าหรือเท่ากับ 256K bytes จะทำการเชื่อมต่อ J15:2-3

ในที่นี้จะทำการปรับตั้งค่าที่ Static RAM น้อยกว่า 256K bytes เนื่องจาก Little Giant มี SRAM 32K bytes

- ทำการเชื่อมต่อ J16:2-3 เนื่องจาก EPROM > 32K bytes โดยใช้ 27C020 256K 32 pins
- จากการปรับตั้งค่า J16:2-3 ทำให้ต้องทำการเชื่อมต่อ J20:1-2 เนื่องจาก J20 เป็นจัมเปอร์ที่ใช้ในการกำหนดขนาดของ EPROM
- เชื่อมต่อ J17 ซึ่งจัมเปอร์นี้ช่วยให้มีการอินาเบิลตัวด้านท่านสำหรับอปแอนปค้านอินพุต
- เชื่อมต่อ J19 เนื่องจากใช้ไฟเลี้ยงภายในบอร์ด



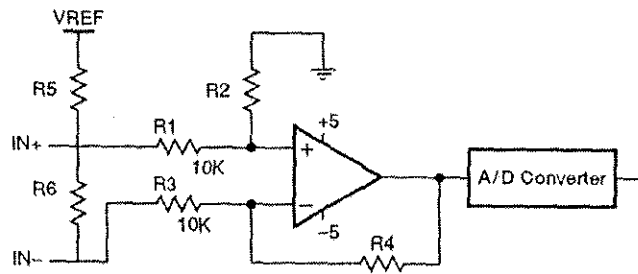
รูปที่ 2.17 การปรับตั้งค่า J25 และ J12:1-2 บนคอนโทรลเลอร์บอร์ด

2.6.3 การกำหนดค่าเริ่มต้นให้กับส่วนประกอบต่าง ๆ ของคอนโทรลเลอร์บอร์ดเพื่อใช้ในการอนุวัตตัวชุดเชย

ในส่วนนี้จะอธิบายถึงข้อกำหนดที่ควรทราบและรายละเอียดของอุปกรณ์ที่สำคัญรวมไปถึงการกำหนดค่าเริ่มต้นให้กับอุปกรณ์เหล่านั้นก่อนที่จะใช้งานบอร์ดในการอนุวัตตัวชุดเชย

2.6.3.1 Signal Conditioning

เป็นการกล่าวถึงข้อกำหนดเกี่ยวกับการขยายสัญญาณ ดูรูปที่ 2.18 ประกอบการพิจารณา



รูปที่ 2.18 วงจรของตัวขยายสัญญาณก่อนที่สัญญาณอินพุทจะเข้าไปยังส่วนของ ADC

อัตราขยาย (gain, g) สามารถหาได้จากความสัมพันธ์ในสมการที่ 2.21

$$g = \frac{IN_+}{IN_-} = \frac{R_2}{R_1 + R_2} \div \frac{R_3}{R_4 + R_3} = \frac{R_2(R_4 + R_3)}{R_3(R_1 + R_2)} \quad (2.21)$$

ซึ่งจะมีการหาค่าอัตราขยายอยู่ด้วยกัน 4 รูปแบบดังนี้

รูปแบบที่ 1

ช่องรับสัญญาณนี้ต่ออยู่กับตัวขยายสัญญาณที่ปลายค้านอนอินเวอร์สติง (Non-inverting) โดยไม่มี R_5 และ R_6 อินพุทลบต่ออยู่กับกราวด์ อินพุทบวกใช้สุ่มตัวอย่าง และ R_2 มีค่าใหญ่มากประมาณ 100K หรือสามารถตัดทิ้งได้ เมื่อเป็นดังรูปแบบนี้แล้ว สามารถหาอัตราขยายได้จากสูตรในสมการที่ 2.22

$$g = R_2 \times (R_4 + R_3) / (R_3 \times (R_1 + R_2)) \quad (2.22)$$

กรณีที่ไม่มีคิด R_2 จะได้ความสัมพันธ์ดังนี้

$$g = (R_4 + R_3) / R_3 = R_4 / R_3 + 1 \quad (2.23)$$

รูปแบบที่ 2

ช่องรับสัญญาณนั้นต่ออยู่กับตัวขยายสัญญาณที่ปลายนิ้วอินเวอร์สติง (Inverting) โดยไม่มี R_s และ R_o อินพุทบวกต่ออยู่กับกราวด์ อินพุทลบใช้สูงตัวอย่าง สามารถหาอัตราขยายได้ดังนี้

$$g = R_4 / R_3 \quad (2.24)$$

R_2 สามารถตัดทิ้งได้โดยที่ไม่มีผลใด ๆ

รูปแบบที่ 3

ช่องรับสัญญาณใช้วัดความต้านทาน (Resistance) โดยที่ R_6 คือตัวต้านทานที่ไม่ทราบค่า อินพุทลบต่ออยู่กับกราวด์ สามารถหาตัวต้านทานที่ไม่ทราบค่าได้จาก

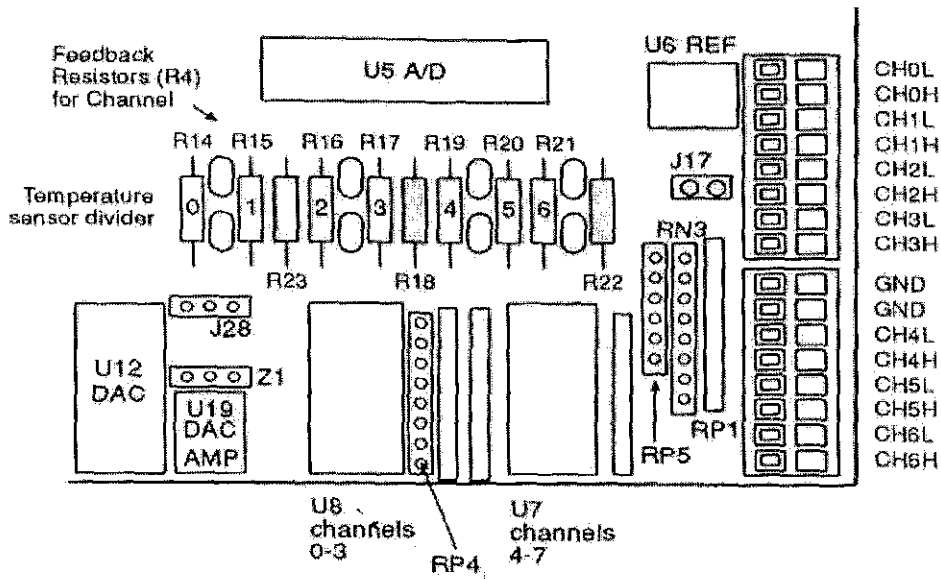
$$R_6 = R_5 \times (REF - V) / V \quad (2.25)$$

โดยที่ V คือแรงดันที่ข้ออินพุทบวก อัตราขยายจากข้ออินพุทบวกจะเหมือนรูปแบบที่ 1 ส่วนแรงดันอ้างอิง (REF) จะเป็น 2.5V หรือเป็นไฟเลี้ยง +5V ถ้าไม่ต้องการความถูกต้องมากนัก

รูปแบบที่ 4

ช่องรับสัญญาณใช้วัดกระแส โดยที่รู้ค่า R_6 และเมื่อต้องการวัดกระแสผ่านตลอด ซึ่งหาได้จาก $i = V / R_6$ การปรับตั้งค่าเหมือนกับรูปแบบที่ 3

ทั้งสี่รูปแบบที่กล่าวมา สามารถทำการติดตั้งได้โดยการเปลี่ยน ตัวต้านทาน R_1, R_2, R_3, R_4 และ R_5 ตามแน่นอน แสดงดังรูปที่ 2.19



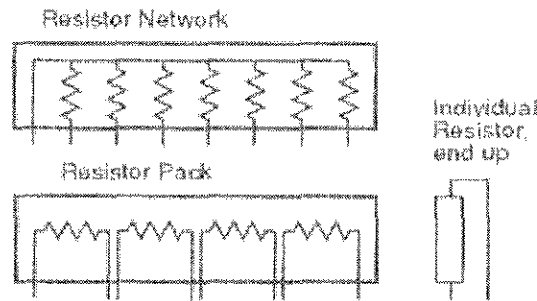
รูปที่ 2.19 ตำแหน่งของตัวต้านทานบนบอร์ด

โดยปกติชื่อของตัวต้านทานในแผนภาพจะรักบันในแพลงชาร์จริงบนบอร์ดจะแตกต่างกัน ดังแสดงในตารางที่ 2.3

ตารางที่ 2.3 ชื่อของตัวต้านทานบนบอร์ดกับบนแพลงภาพจร

Channel	R ₁	R ₂	R ₃	R ₄	R ₅
0	RP1A	RP4A	RP7A	R14	RN3pin2
1	RP7B	RP4B	RP7C	R15	RN3pin3
2	RP2A	RP4C	RP2B	R16	RN3pin4
3	RP2C	RP4D	RP2D	R17	RN3pin5
4	RP3B	RP5A	RP3A	R19	RN3pin6
5	RP3C	RP5B	RP3D	R20	RN3pin7
6	RP1C	RP5C	RP1D	R21	RN3pin8

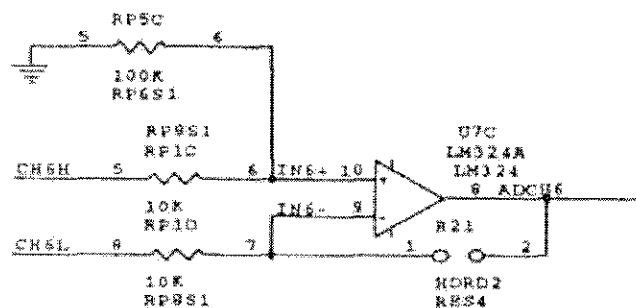
ตัวต้านทานแบบแพ็ค แบบเครื่องข่าย และแบบเดี่ยว ซึ่งตัวต้านทานแบบต่าง ๆ เหล่านี้ สามารถทำการปรับตั้งค่าได้โดยใช้อกเก็ตที่อยู่ในบอร์ด โดยปกติ RN3 จะไม่ได้ทำการติดตั้งมาให้ จะใช้ J17 เพื่อติดตั้ง RN3 (RSs) เพื่อเชื่อมต่อ กับ VCC



รูปที่ 2.20 ตัวต้านทานแบบต่าง ๆ

จากแผนภาพในรูปที่ 2.21 ซึ่งเป็นแผนภาพจริงของวงจรบนบอร์ดที่เลือกใช้ (ch6) รูปแบบของการหาค่าอัตรายा�ยซึ่งเป็นรูปแบบที่สอง ซึ่งค่าอัตรายा�ยที่หาได้คือ

$$g = R_4 / R_3 = \frac{22.1 \text{ k}\Omega}{10 \text{ k}\Omega} = 2.21$$



รูปที่ 2.21 รูปแบบของวงจรขยายสัญญาณก่อนที่สัญญาณอินพุทจะผ่านไปยัง ADC

2.6.3.2 ตัวแปลงสัญญาณอนาล็อกเป็นดิจิตอล (Analog to Digital Converter, ADC)

ตัวแปลงสัญญาโนนาล็อกเป็นดิจิตอล คือ B5 ในรูปที่ 2.16 โดยจะมี 8 ช่องรับสัญญาณอินพุท มีตัวขยายในตัวที่ໄwake ป้อนค่าให้กับ ADC โดยที่ช่องรับสัญญาณที่ 7 (ch7) จะใช้สำหรับวัดอุณหภูมิของ สัญญาณที่จ่ายโดยชิปอ้างอิง LTC1019 ส่วน ch6 จะใช้สำหรับอินพุทหรือเป็นบัฟเฟอร์เพื่อเตรียม สำหรับอินพุทอ้างอิงจากภายนอก แต่อย่างไรก็ตามเกิดขึ้นอยู่กับการขายตัวเขื่อนต่อ Wago และการ เพิ่มของ headers

A/D converter ใช้ชิปเดียว (single chip) ของ Linear Technologies LTC1094 (10 บิตที่ 120 ไมโครวินาที) หรือ LTC1294 (12 บิตที่ 120 ไมโครวินาที) ฟังก์ชันไลบรารีที่ใช้อ่าน A/D converter คือ

```
int ad_rd10 (int channel)           //10-bit 1094
int ad_rd12 (int channel)           //12-bit 1294
```

ถ้าซึ่งรับสัญญาณอยู่ในช่วง 0-7 ฟังก์ชันจะส่งค่าไนโอลาร์ (bipolar) อยู่ในช่วง -2048 ถึง +2047 โดยแสดงถึงแรงดันอินพุตตั้งแต่ -2.500 V ถึง +2.499 V แต่ถ้าเป็นซึ่งรับสัญญาณ 8 จะทำการแปลงให้เป็นยูนิโอลาร์ (unipolar) ซึ่งจะส่งค่าในช่วง 0 ถึง 4095 โดยแสดงแรงดันอินพุตตั้งแต่ 0.000 V ถึง 2.499 V โดยที่ค่าที่ส่งกลับมาเหล่านี้จะถูกสเกลไม่ว่าจะใช้ตัวแปลงแบบ 10 บิตหรือ 12 บิต แต่สำหรับตัวแปลงแบบ 10 บิตนั้นจะมีอย่างน้อยที่สุด 2 บิตที่ส่งค่าเป็นศูนย์ เมื่องจากค่าที่ส่งกลับมาจะเป็นค่าแบบ 12 บิต

ในการอนุวัตจะเลือกความละเอียด ADC ที่ 12 บิต (LTC1294) ดังนั้นจึงต้องทำการปรับตั้งค่าฟังก์ชันไลบรารีเป็น

```
int ad_rd12 (int channel)           //12-bit 1294
```

โดยนำสัญญาณอินพุตเข้าที่ซึ่งรับสัญญาณ 6 (ch6) ดังนั้นค่าที่ต้องกำหนดให้กับโปรแกรม จึงเป็น

```
ad_rd12 (6);           //12-bit 1294
```

2.6.3.3 ตัวแปลงสัญญาณดิจิตอลเป็นอนาล็อก (Digital to Analog Converter, DAC) ก่อนที่จะทำการติดตั้ง DAC จะต้องมีการติดตั้งบอร์ดเสียงก่อน ซึ่งได้แก่

- U12 Maxim AD7543 D/A converter
- U19 Maxim OP07 operational amplifier
- Z1 National LM285 voltage reference

ส่วน R3 กับ C012 ควรจะติดตั้งที่บริษัท

DAC จะเรื่องต่อ กับ jumper J28 ไปยัง connector J5-1 ถ้าทำการปรับตั้งค่าที่ J28:1-2 (J28 pin 1-2) บอร์ดจะถูกปรับตั้งค่าให้เป็น DAC output บน J5 แต่ถ้าปรับตั้งค่าที่ J28:2-3 (J28 pin 2-3) จะทำให้ J5-1 มีสถานะเป็นกราวด์ (ground) และ DAC output จะไม่ถูกส่งไปยัง J5

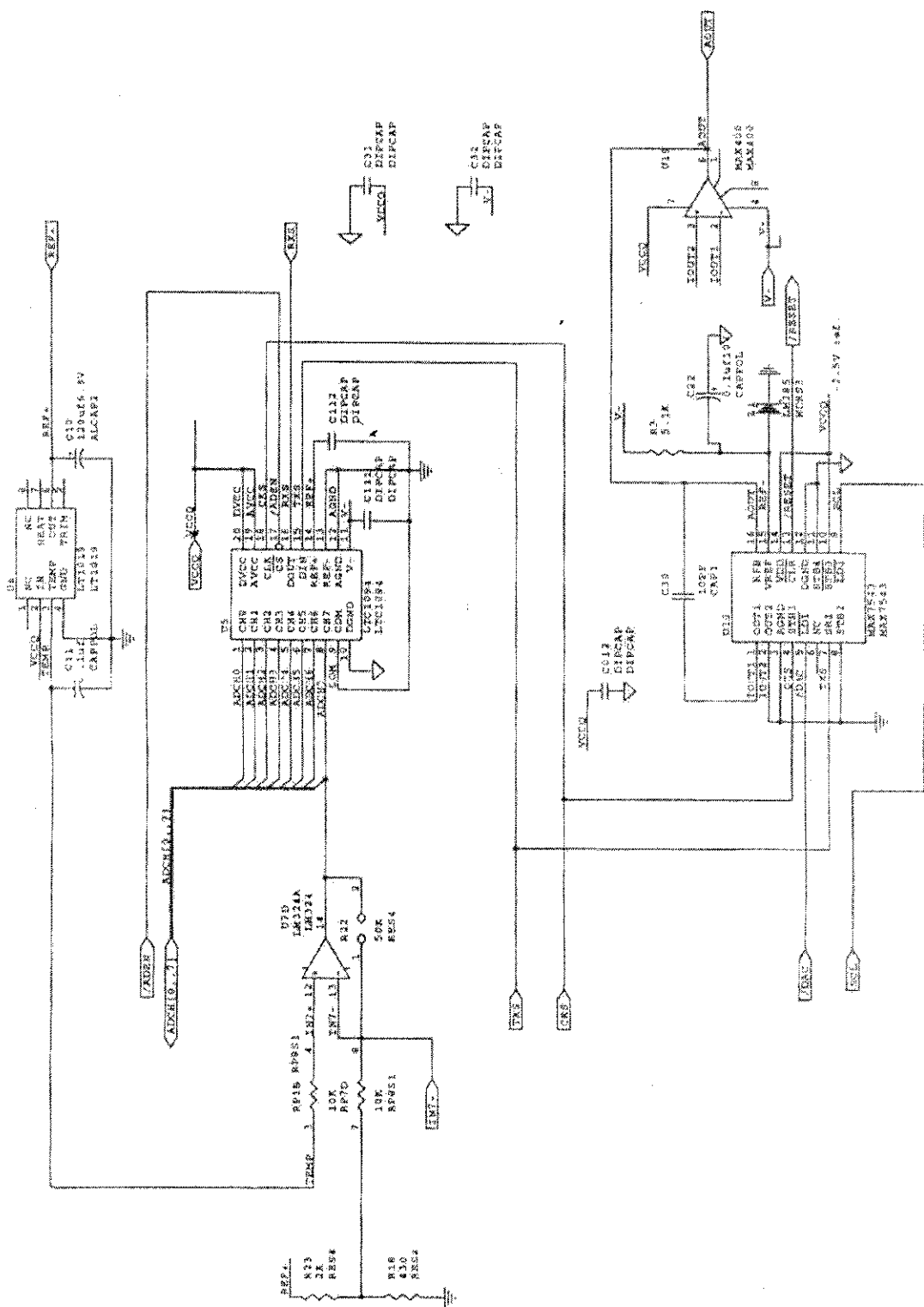
ส่วนฟังก์ชันที่ใช้กับ DAC คือ wdac ใน Little Giant Library ซึ่งฟังก์ชันนี้จะใช้เพียงค่าที่เป็นดิจิตอล 12 บิต ไปยัง DAC ค่าของเอาท์พุทธะอยู่ระหว่าง 0 ถึง 4095 ซึ่งค่าช่วงนี้จะอยู่ในช่วงแรงดันเอาท์พุทธะระหว่าง 0 V ถึง 2.499 V (เป็นเพียงค่าโดยประมาณ) ในงานที่ต้องการความถูกต้องสูงควรมีการปรับอัตรายยาทางซอฟต์แวร์ เมื่อจากการอ้างอิงค่าแรงดันจะมีความผิดพลาดมากถึง 80 counts และ DAC จะมีอัตรายยาความผิดพลาดมากที่สุดถึง 15 counts ในการแก้ไขข้อผิดพลาด DAC ควรทำงานด้วยความถูกต้อง 1-2 บิต (bit accuracy) ในช่วงและอุณหภูมิที่กำหนด นอกจากนี้ความสามารถของกระแสขับเคลื่อนเอาท์พุทมีค่าประมาณ 2 มิลลิแอมป์

ส่วนรูปแบบการใช้ฟังก์ชัน wbdae ของ DAC คือ

```
void wdac (int value)
```

โดยที่ value คือ ค่าที่ต้องการเพียงลงใน DAC ซึ่ง value ควรมีค่าอยู่ในช่วง 0 ถึง 4095 ซึ่งสามารถแปลงเป็นค่าแรงดันได้ด้วยความสัมพันธ์ในสมการที่ 2.26

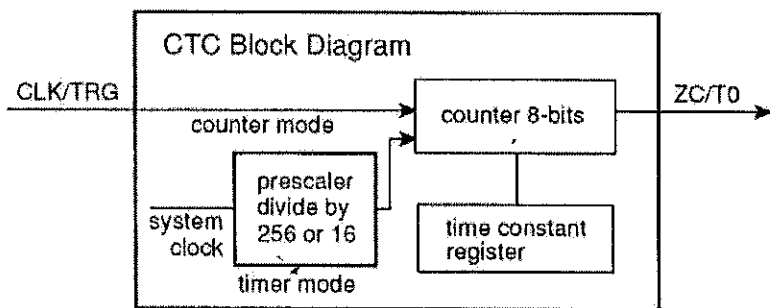
$$\text{output voltage} = 2.5 * \text{value} / 4096 \text{ volts} \quad (2.26)$$



รูปที่ 2.22 วงจรของตัวแปลงสัญญาโนdaleก็อกเป็นคิจtotol (ADC) และตัวแปลงสัญญาณคิจtotol เป็นอนลักษ์กอก (DAC)

2.6.3.4 CTC Counter/Timers

CTC ของ K10 chip มี Counter/timer 4 หน่วย มี 2 ไทม์เมอร์ (Timer) ที่สามารถโปรแกรมได้ (เรียกว่า PRTs) ซึ่งเป็นส่วนหนึ่งของ Z180 ซึ่งจะอธิบายในคู่มือของ Z180



* รูปที่ 2.23 แผนภาพของ CTC counter/timer

หากที่เตอร์/ไทร์เมอร์แต่ละตัวจะมีตัวนับและรีจิสเตอร์ค่าคงที่ทางเวลา (Time-constant) ผู้ใช้สามารถโหลดค่าคงที่ทางเวลาและตัวนับได้ โดยตัวนับจะนับลงจนถึงศูนย์ พอดีกับค่าคงที่ทางเวลาที่ตั้ง ๆ จะเริ่มทำซ้ำ ซึ่งก็คือจะสร้างอินเทอร์รัปต์หรือพัลส์เป็นรายคำนวณ ซึ่งค่าคงที่ทางเวลาจะมีค่าเริ่มตั้งแต่ 0-255 นอกจากนั้นสัญญาณนาฬิกาที่เข้ามาสามารถหาได้จากสัญญาณนาฬิกาของระบบ (System clock) โดยผ่านการทำพรีสเกล หรือมาจากการสัญญาณนาฬิกาของระบบ

CTC จะมีคัวยกัน 3 โหมด โดย 2 โหมดจะเป็นคาท์เตอร์โหมด และอีกหนึ่งโหมดจะเป็นไทม์เมอร์โหมด ในการอนุวัตติวัดเชยนี้จะทำการปรับตั้งค่าให้เป็นไทม์เมอร์โหมด ซึ่งจะตรงกับ CTC2 (Timer mode) ต้องใช้พิงก์ชันที่มีรูปแบบดังนี้

```
int setctc(int ctc, int mode, byte timer, int intr)
```

ในการกำหนดค่าเริ่มต้นให้กับฟังก์ชันจะต้องทราบความหมายของพารามิเตอร์แต่ละตัว ซึ่งมีรายละเอียดดังนี้

ctc	CTC ໂທມດ 0-3
mode	0 timer mode sysclock/16
	1 timer mode sysclock/256
	2 counter mode

	4 timer mode sysclock/16 trigger rising
	5 timer mode sysclock/256 trigger rising
	6 timer mode sysclock/16 trigger falling
	7 timer mode sysclock/256 trigger falling
timer	timer reload value 0-255
intr	0 disable interrupt 1 enable interrupt

ซึ่งในการอนุรักษ์ตัวชุดเซยจะทำการปรับตั้งค่า โดย ctc ปรับตั้งค่าเป็นโหมด 2 mode ปรับตั้งค่าเป็น 1 timer ปรับตั้งค่าเพื่อกำหนด sampling rate ที่ต้องการ intr ปรับตั้งค่าเป็น enable เพื่อใช้อินเทอร์รัปต์ ตัวอย่าง การปรับตั้งค่าอินเทอร์รัปต์รูทินให้ทำงานทุก ๆ 5 มิลลิวินาที (timer period = 5 milliseconds)

```
#INT_VEC CTC2_VEC myroutine
    setctc(2,1,180,1);           // every 5 milliseconds
```

บทที่ 3

โปรแกรมการอนุวัตตัวชุดเชยด้วยคอนโทรลเลอร์บอร์ด BL1120 (Little Giant)

3.1 กล่าวนำ

การอนุวัตตัวชุดเชยแบบดิจิตอลในโครงการนี้จะใช้โครงสร้างแบบ direct form 2 (canonic form) สำหรับการอนุวัตตัวชุดเชยที่มีทรานสเฟอร์ฟังก์ชันทั้งอันดับหนึ่งและสองดังที่ได้กล่าวไว้ในบทที่ 2 ส่วนการประยุกต์ใช้งานทรานสูฟเฟอร์ฟังก์ชันอันดับที่สูงขึ้นไป สามารถนำโครงสร้างแบบ direct form 2 ที่มีทรานสเฟอร์ฟังก์ชันอันดับหนึ่งและสองที่จะกล่าวถึงในบทนี้ไปต่อเรียงกัน (cascade form) หรือนำไปต่อขนานกัน (parallel form) ขึ้นอยู่กับการประยุกต์ใช้งาน ส่วนเรื่องการคำนวณหาค่าสัมประสิทธิ์ของตัวชุดเชยจะใช้วิธีการแปลงจาก s-domain เป็น z-domain โดยอาศัยความสัมพันธ์ของทุกดิน ในบทที่ 3 นี้จะกล่าวถึง โปรแกรมการอนุวัตตัวชุดเชยด้วยคอนโทรลเลอร์บอร์ด BL1120 (Little Giant) ซึ่งโปรแกรมการอนุวัตจะเขียนด้วยภาษาไดนามิกส์ซี และสามารถแบ่งออกได้เป็น 2 ส่วนด้วยกันคือ

ส่วนแรก

จะเป็นส่วนของโปรแกรมการคำนวณค่าสัมประสิทธิ์ด้วยการแปลงแบบทุกดิน โดยใช้โปรแกรม MATLAB เพื่อที่จะนำค่าสัมประสิทธิ์คั่งกล่าวมาใช้กับโปรแกรมการอนุวัตในโปรแกรมไดนามิกส์ซี

ส่วนที่สอง

จะเป็นโปรแกรมการอนุวัตตัวชุดเชยที่มีทรานสเฟอร์ฟังก์ชันอันดับหนึ่งและสองในโปรแกรมไดนามิกส์ซี

3.2 ภาพรวมของการโปรแกรมการอนุวัตตัวชุดเชย

โปรแกรมที่เขียนขึ้นในโภนามิกส์ซีสำหรับตัวชุดเชยที่มีทรานสเฟอร์ฟังก์ชันอันดับหนึ่งและสองคือ **order1.c** และ **order2.c** ตามลำดับ (แสดงรายละเอียดในภาคผนวก ก และ ข ตามลำดับ) โดยจะกล่าวถึงทรานสเฟอร์ฟังก์ชันอันดับหนึ่งก่อนและตามด้วยอันดับสองดังรายละเอียดต่อไปนี้

3.2.1 โปรแกรมการอนุวัตตัวชุดเชยที่มีทรานสเฟอร์ฟังก์ชันอันดับหนึ่ง

ทรานสเฟอร์ฟังก์ชันอันดับหนึ่งของตัวชุดเชยเปลี่ยนในรูป s -domain ได้ดังสมการที่ 3.1

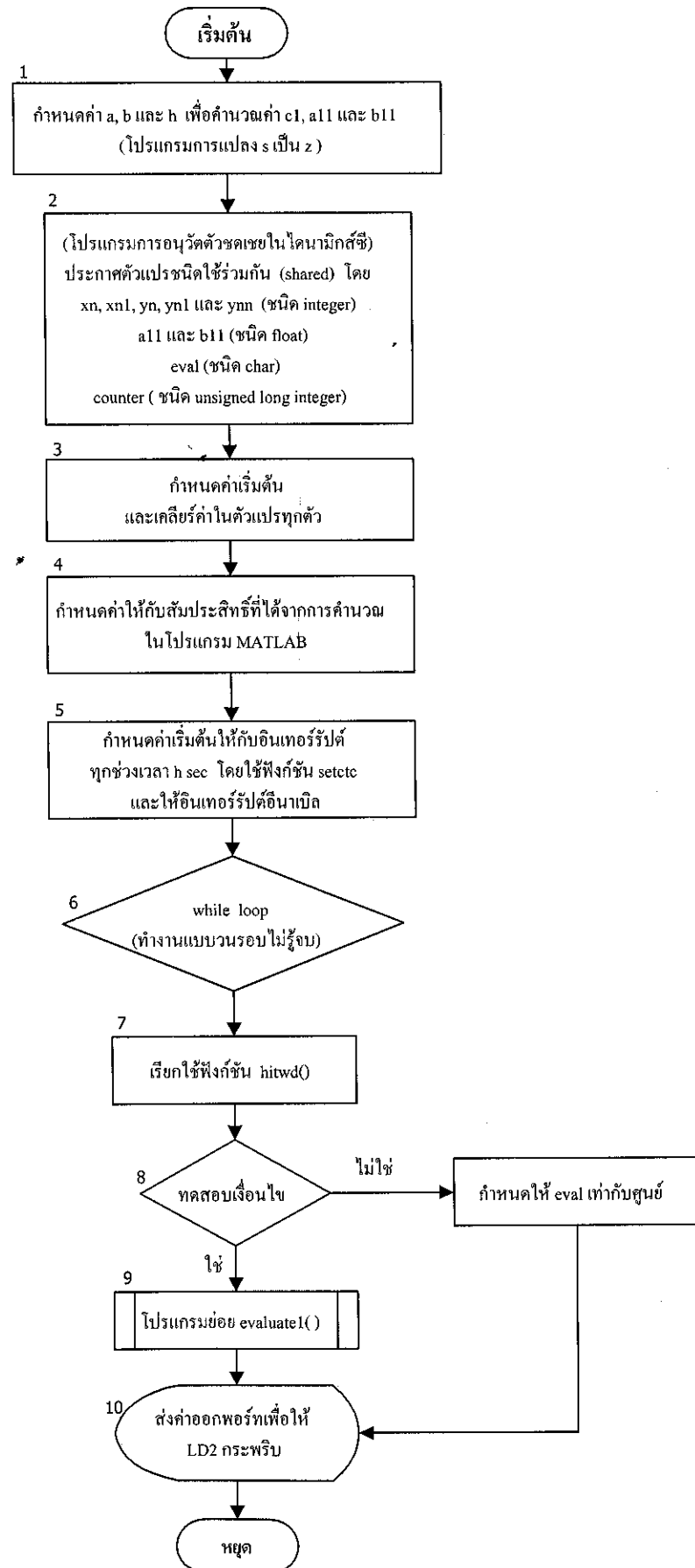
$$H(s) = \frac{s + a}{s + b} \quad (3.1)$$

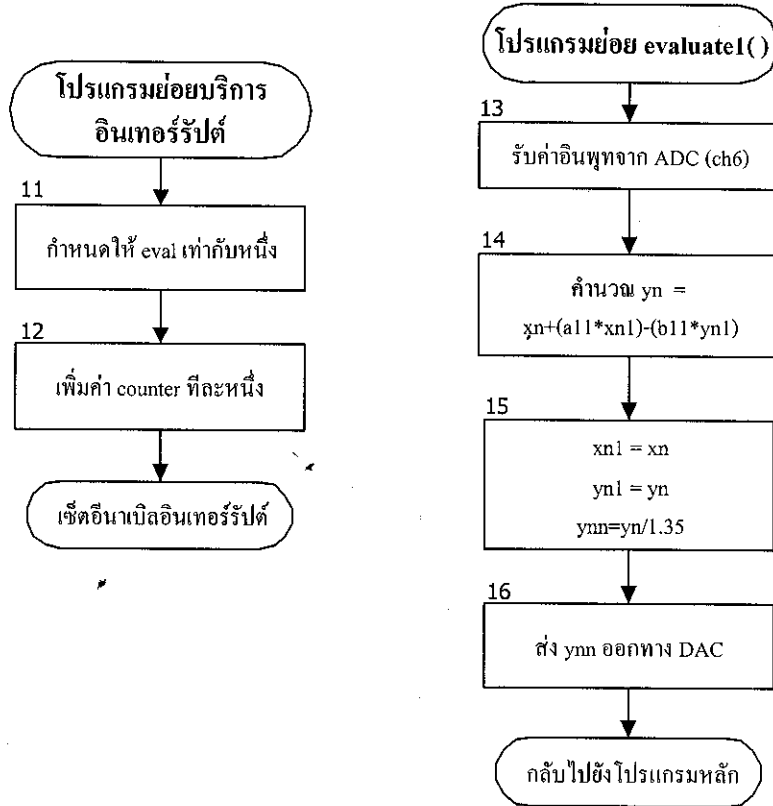
เมื่อทำการแปลงให้อยู่ในรูป z -domain โดยอาศัยความสัมพันธ์แบบทุกสติน สามารถเขียนได้ดังสมการที่ 2.19a และเมื่อเขียนในรูปสมการผลต่างจะสามารถเขียนได้ดังสมการที่ 2.19b และเมื่อนำสมการที่ 2.19b มาเขียนใหม่เพื่อใช้ในการอนุวัตตัวชุดเชย จะเป็นดังสมการที่ 2.19c

$$y(n) = x(n) + a_{11}x(n-1) - b_{11}y(n-1)$$

ซึ่งสมการ 2.19c นี้จะเป็นสมการหลักในการอนุวัตตัวชุดเชยที่มีทรานสเฟอร์ฟังก์ชันอันดับหนึ่ง

โปรแกรมการอนุวัตตามที่ได้กล่าวมาข้างต้นนี้สามารถเปลี่ยนแสดงกระบวนการทำงานดังรูปที่ 3.1





รูปที่ 3.1 แผนภูมิการทำงานของโปรแกรมการอนุวัตตัวชุดเชยที่มีกรานสเพอร์ฟิงก์ชัน อันดับหนึ่ง

อธิบายการทำงาน

บล็อกที่หนึ่ง จะเป็นการทำงานของโปรแกรมการแปลงสัมประสิทธิ์ของกรานสเพอร์ฟิงก์ชันจาก s-domain ไปเป็น z-domain โดยอาศัยความสัมพันธ์แบบทุกสติน เป็นโปรแกรมที่ดำเนินการในโปรแกรม MATLAB โดยจะต้องทำการป้อนค่าสัมประสิทธิ์ใน s-domain ซึ่งก็คือ ค่า a และ b รวมทั้ง h (Sampling interval) เพื่อให้โปรแกรมคำนวณค่า c1, a11 และ b11

บล็อกที่สอง จะเป็นส่วนเริ่มต้นของโปรแกรมการอนุวัตตัวชุดเชยในไคนามิกส์ซี ในขั้นตอนแรกจะต้องทำการประกาศตัวแปรทั้งหมดที่ต้องใช้ โดยจะประกาศตัวแปรเป็นชนิดใช้ร่วมกัน (shared) และจะต้องประกาศชนิดของตัวแปรที่ต้องการนำໄไปใช้ด้วยซึ่งก็คือ

- ตัวแปร xn, xn1, yn, yn1 และ ynn ประกาศเป็นชนิด integer
- ตัวแปร a11 และ b11 ประกาศเป็นชนิด float
- ตัวแปร eval ประกาศเป็นชนิด char
- ตัวแปร counter ประกาศเป็นชนิด unsigned long integer

บล็อกที่สาม จะเป็นการกำหนดค่าเริ่มต้นให้กับพอร์ทที่ใช้ในการอินเทอร์ร์ป็ต และกำหนดค่าเริ่มต้นให้กับตัวแปรทุกตัวมีค่าเป็นศูนย์

บล็อกที่สี่ จะเป็นการกำหนดค่าที่ได้จากการคำนวณในโปรแกรมการแปลงแบบทุกสติ๊กให้กับ a11 และ b11

บล็อกที่ห้า เป็นการกำหนดค่าเริ่มต้นให้กับอินเทอร์ร์ป็ตให้ทำงานในช่วงเวลา 1 วินาทีที่กำหนด โดยใช้ฟังก์ชัน setctc

บล็อกที่หก คือส่วนของ while loop ที่ทำงานวนรอบแบบไม่รู้จงเพื่อให้โปรแกรมทำงานได้ตลอด

บล็อกที่เจ็ด เป็นการเรียกใช้ฟังก์ชัน hitwd () เพื่อบังคับไม้ให้มีการปรับตั้งค่าใหม่ กรณีที่โปรแกรมมีการทำงานแบบวนรอบไม่รู้จง ถ้าไม่ใช้ฟังก์ชันนี้อาจเกิดความคลาดเคลื่อนในการรันโปรแกรมได้

บล็อกที่แปด เป็นฟังก์ชัน if เพื่อทำการตรวจสอบเงื่อนไข ถ้าเป็นจริงจะไปทำโปรแกรมย่อยที่ชื่อ evaluate1 () แต่ถ้าเป็นเท็จจะไปกำหนดให้ eval เป็นศูนย์

บล็อกที่เก้า เรียกโปรแกรมย่อยชื่อ evaluate1() ซึ่งเป็นโปรแกรมการอนุวัติตัวชุดเบย์สำหรับทราบสเฟอร์ฟังก์ชันอันดับหนึ่ง

บล็อกที่สิบ ส่งค่าออกพอร์ทเพื่อให้ LD2 กระพริบทุกรั้งที่มีการอินเทอร์ร์ป็ต

บล็อกที่สิบเอ็ด เป็นส่วนแรกของโปรแกรมย่อยบริการอินเทอร์ร์ป็ต โดยจะทำการปรับตั้งค่าให้ eval มีค่าเท่ากับหนึ่งเมื่อมีการอินเทอร์ร์ป็ตเกิดขึ้น

บล็อกที่สิบสอง เป็นส่วนที่สองของโปรแกรมย่อยบริการอินเทอร์ร์ป็ต จะทำการเพิ่มค่า counter ขึ้นทีละหนึ่ง โดย counter นี้จะเป็นตัวแปรที่ใช้ในการนับอินเทอร์ร์ป็ต

บล็อกที่สิบสาม เป็นส่วนแรกของโปรแกรมการอนุวัติตัวชุดเบย์ที่มีทราบสเฟอร์ฟังก์ชันอันดับหนึ่ง โดยจะทำการรับค่าอินพุทจากตัวแปลงสัญญาณอนาล็อกเป็นดิจิตอล (ADC) ผ่านทางช่องรับสัญญาณที่ 6 (ch6)

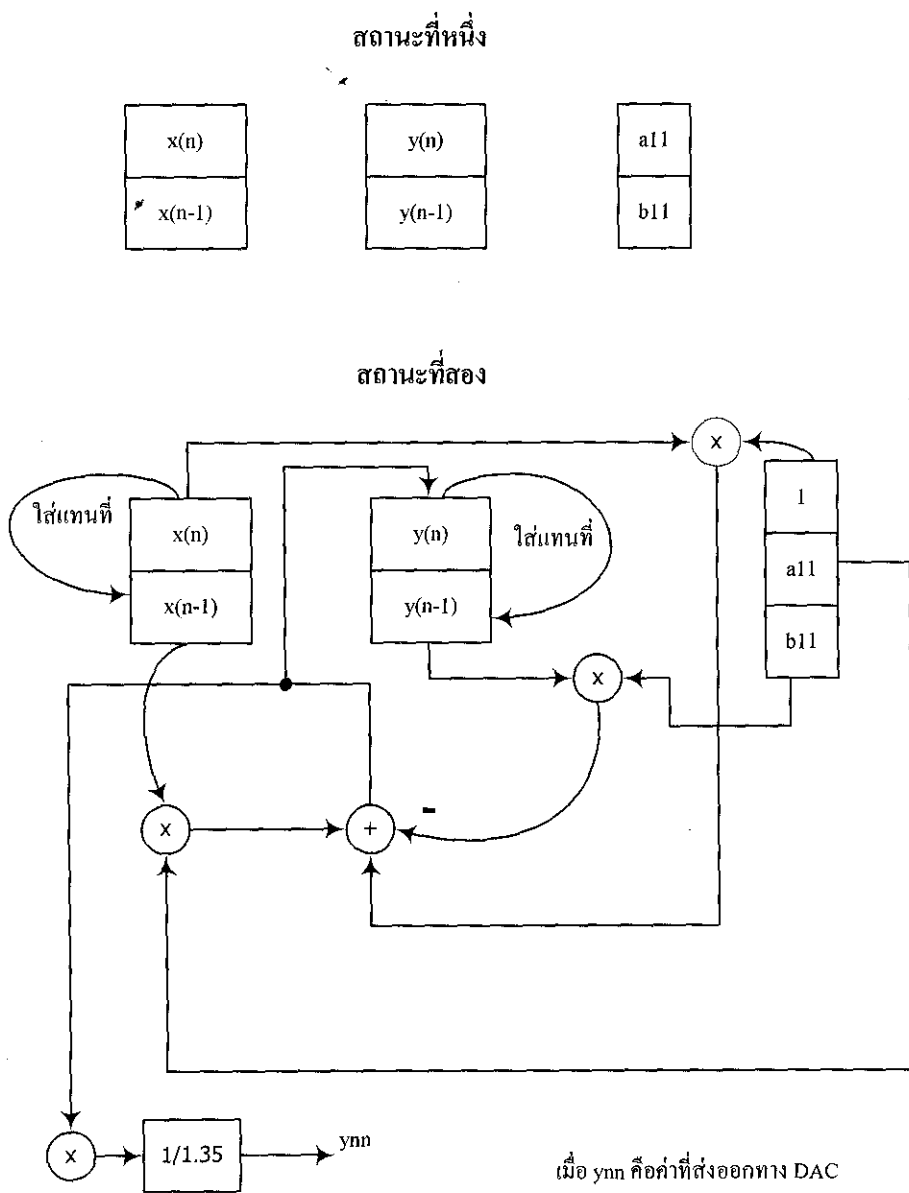
บล็อกที่สิบสี่ เป็นส่วนที่สองของโปรแกรมการอนุวัติตัวชุดเบย์ที่มีทราบสเฟอร์ฟังก์ชันอันดับหนึ่ง โดยจะทำการคำนวณค่า yn จากสมการการอนุวัติตั้งนี้

$$yn = xn + (a11 * xn1) - (b11 * yn1)$$

บล็อกที่สิบห้า เป็นส่วนที่สามของโปรแกรมการอนุวัติตัวชุดเบย์ที่มีทราบสเฟอร์ฟังก์ชันอันดับหนึ่ง โดยจะทำการเก็บค่าของอินพุทและเอาท์พุทไว้เพื่อนำเวลากลับไปคำนวณค่า yn ตามที่กำหนดไว้ ซึ่งก็คือการนำค่าอินพุท x(n) มาเก็บใน x(n-1) สำหรับค่านเอาท์พุทจะนำค่า y(n) เก็บใน y(n-1) ส่วนตอนที่

จะส่งค่า yn ออก ทำการหาร商ด้วย 1.35 เพื่อลดทอนให้เท่ากับค่าจริง เนื่องจาก 1.35 คืออัตราขยายเนื่องจากคุณสมบัติของคอนโทรลเลอร์บอร์ด แล้วส่งออกโดยใช้ตัวแปรชื่อ ynn เพื่อให้ค่าที่ส่งเท่ากับค่าจริงเท่านั้น ไม่ได้ทำการเปลี่ยนแปลงค่าในสมการการอนุวัตตัวชุดเชยแต่อย่างใด การทำงานของบล็อกที่สิบสี่และบล็อกนี้แสดงได้ด้วยรูปที่ 3.2

บล็อกที่สิบหก เป็นส่วนสุดท้ายของโปรแกรมการอนุวัติตัวชุดเชยที่มีทราบสเพอร์ฟิงก์ชันอันดับหนึ่ง โดยจะทำการส่ง ynn ออกทางตัวแปลงสัญญาณดิจิตอลเป็นอนาล็อก (DAC)



รูปที่ 3.2 กระบวนการทำงานของบล็อกที่สินสี่และสินห้า

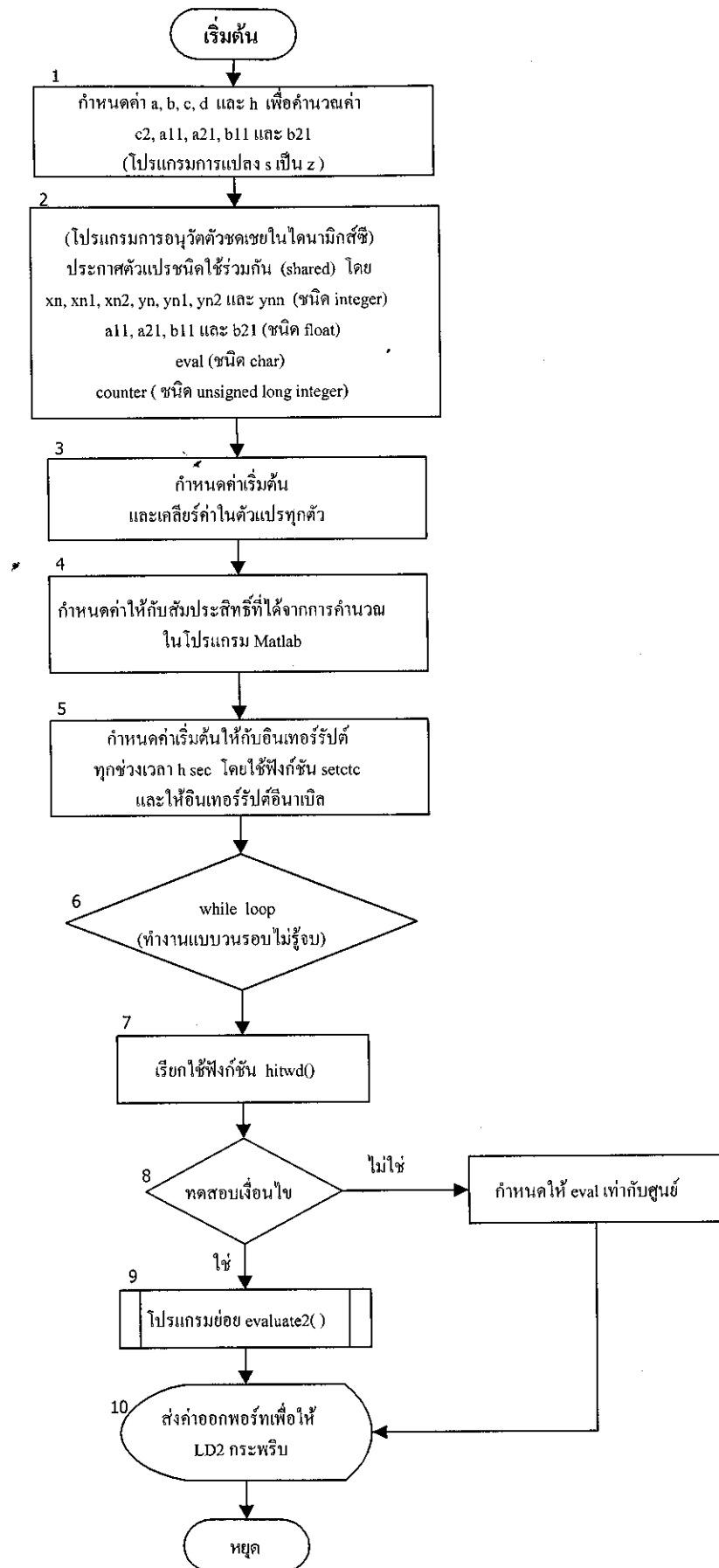
3.2.2 โปรแกรมการอนุวัตตัวชดเชยที่มีกรานสเฟอร์ฟังก์ชันอันดับสอง สำหรับกรานสเฟอร์ฟังก์ชันอันดับสองที่ใช้ในการอนุวัตตัวชดเชยสามารถเปลี่ยนในรูป s-domain ดังสมการที่ 3.2

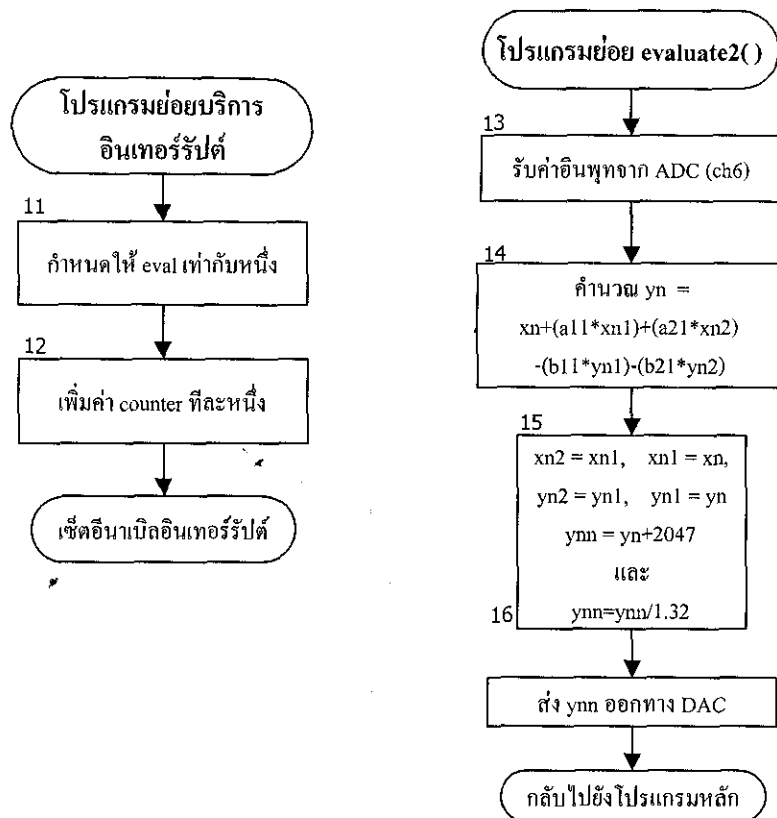
$$H(s) = \frac{s^2 + cs + d}{s^2 + as + b} \quad (3.2)$$

จากสมการใน s-domain สามารถเปลี่ยนในรูป z-domain ได้ดังสมการที่ 2.20a และสามารถเปลี่ยนในรูปสมการผลต่างได้ดังสมการที่ 2.20b ส่วนสมการที่ใช้ในการอนุวัตตัวชดเชยคือ สมการที่ 2.20c

$$y(n) = x(n) + a_{11}x(n-1) + a_{21}x(n-2) - b_{11}y(n-1) - b_{21}y(n-2)$$

ซึ่งสมการ 2.20c นี้จะเป็นสมการหลักในการอนุวัตตัวชดเชยที่มีกรานสเฟอร์ฟังก์ชันอันดับสอง แสดงกระบวนการทำงานในรูปที่ 3.3





รูปที่ 3.3 แผนภูมิการทำงานของโปรแกรมการอนุวัตตัวชุดเชยที่มีทรานสเฟอร์ฟังก์ชัน อันดับสอง

อธิบายการทำงาน

การทำงานในขั้นตอนต่าง ๆ โดยทั่วไปจะเหมือนกับโปรแกรมการอนุวัตตัวชุดเชยที่มีทรานสเฟอร์ฟังก์ชันอันดับหนึ่ง แต่มีบางส่วนที่แตกต่างกัน ซึ่งในที่นี้จะอธิบายเฉพาะในส่วนที่แตกต่างกัน เท่านั้น ได้แก่

บล็อกที่หนึ่ง เนื่องจากเป็นทรานสเฟอร์ฟังก์ชันอันดับสอง ทำให้มีพจน์ของสัมประสิทธิ์เพิ่มขึ้น ซึ่งค่าสัมประสิทธิ์ที่คำนวณได้ในโปรแกรม MATLAB ก็คือ c2, a11, a21, b11 และ b21 การคำนวณค่าในโปรแกรม MATLAB ที่เขียนกัน ต้องป้อนค่าสัมประสิทธิ์ใน s-domain เป็น a, b, c และ d และป้อนค่า h (Sampling interval) ที่เหมาะสม

บล็อกที่สอง ในส่วนของการประภาคตัวแปร เป็นส่วนเริ่มต้นของโปรแกรมการอนุวัตตัวชุดเชยในไคนามิกส์ซี จะประกาศตัวแปรดังนี้

- ตัวแปร xn, xn1, xn2, yn, yn1, yn2 และ ynn ประกาศเป็นชนิด integer

- ตัวแปร a11, a21, b11 และ b21 ประกาศเป็นชนิด float
- ตัวแปร eval ประกาศเป็นชนิด char
- ตัวแปร counter ประกาศเป็นชนิด unsigned long integer

โดยที่ตัวแปรทั้งหมดซึ่งเป็นตัวแปรชนิดใช้ร่วมกัน (shared)

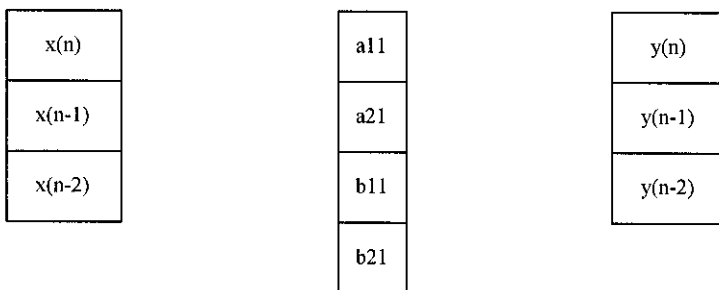
บล็อกที่สิบสี่ ซึ่งเป็นส่วนที่สองของโปรแกรมการอนุวัตตัวชุดเชยที่มีกรานสเพอร์ฟงก์ชันอันดับสอง โดยการคำนวณค่า y_n จากสมการการอนุวัตจะเปลี่ยนเป็น

$$y_n = x_n + (a_{11} \cdot x_{n1}) + (a_{21} \cdot x_{n2}) - (b_{11} \cdot y_{n1}) - (b_{21} \cdot y_{n2})$$

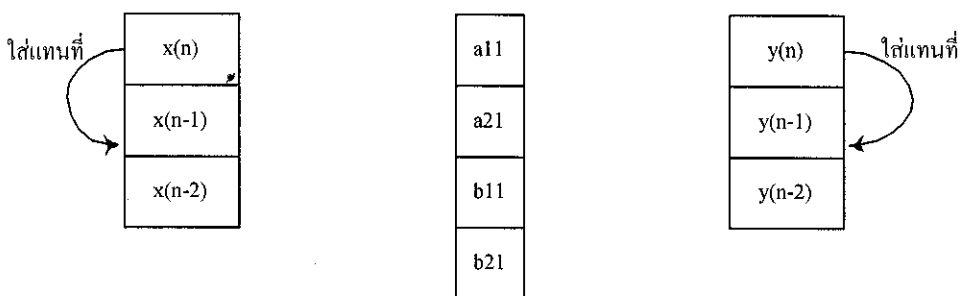
บล็อกที่สิบห้า เป็นส่วนที่สามของโปรแกรมการอนุวัตตัวชุดเชยที่มีกรานสเพอร์ฟงก์ชันอันดับสอง โดยจะทำการเก็บค่าของอินพุตและเอาท์พุตไว้เพื่อหน่วงเวลาหนึ่งหน่วยเวลา ซึ่งก็คือการนำค่าอินพุต $x(n-1)$ มาเก็บใน $x(n-2)$ และในทันองเดียวกันก็จะนำค่า $x(n)$ มาเก็บใน $x(n-1)$ ใน state ถัดมา สำหรับด้านเอาท์พุตจะนำค่า $y(n-1)$ มาเก็บใน $y(n-2)$ และนำค่า $y(n)$ เก็บใน $y(n-1)$ ใน state ถัดมา ส่วนตอนที่จะส่งค่า y_n ออก จะทำการบวกด้วย 2047 เพื่อทำการปรับค่าของเอาท์พุตเนื่องจากข้อจำกัดของทวีแปลงสัญญาณดิจิตอลเป็นอนาล็อก (DAC) แล้วส่งออกโดยใช้ตัวแปรชื่อ ym เพื่อให้ค่าที่ส่งออกเป็นเพียงการปรับขนาดของสัญญาณตามข้อจำกัดของ DAC เท่านั้น ไม่ได้ไปทำการเปลี่ยนแปลงในสมการการอนุวัตตัวชุดเชยเด้ออย่างใด การทำงานของบล็อกที่สิบสี่กับบล็อกนี้แสดงให้ด้วยรูปที่ 3.4

ส่วนบล็อกที่ไม่ได้กล่าวถึงแสดงว่ามีการทำงานที่คล้ายคลึงกับอันดับหนึ่ง

สถานะที่หนึ่ง

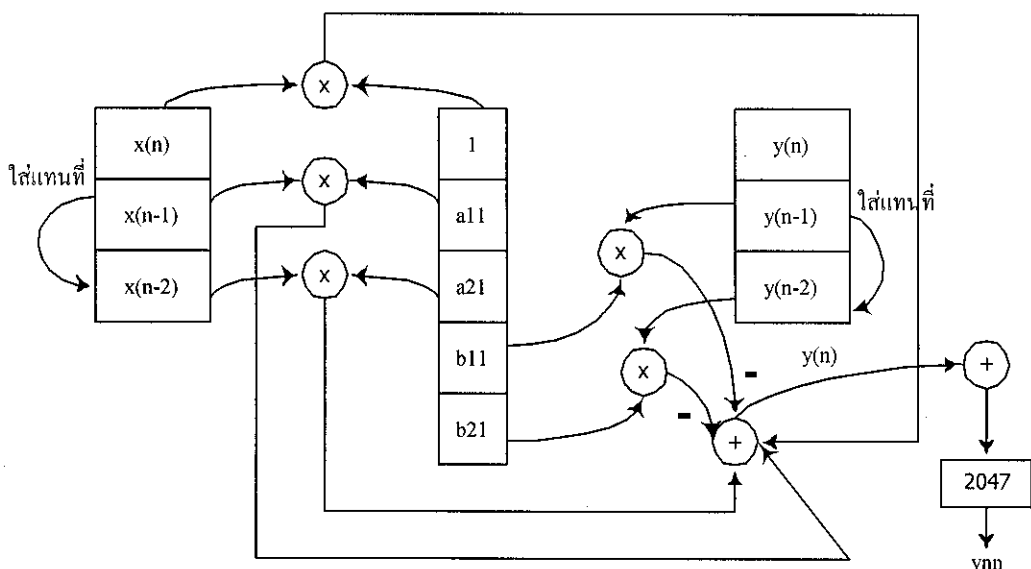


สถานะที่สอง



เมื่อ $x(n)$ คือ อินพุต
 $y(n)$ คือ เอาท์พุต
 และ
 y_{nn} คือค่าที่ส่งออกทาง DAC

สถานะที่สาม



รูปที่ 3.4 กระบวนการทำงานของบล็อกที่สิบสี่และสิบห้า

3.2.3 การคำนวณเพื่อกำหนดค่าความถี่ที่ใช้ในการสุ่มสัญญาณ (Sampling frequency, f_s)

การกำหนดค่าความถี่ที่ใช้ในการสุ่มสัญญาจนั้นควรทราบเวลาการทำงานแต่ละส่วนของโปรแกรมเสียงก่อน

- การคำนวณค่าความถี่ที่ใช้ในการสุ่มสัญญาณสำหรับโปรแกรมการอนุวัติตัวชุดเชยที่มีทรานส์ฟอร์มกัชันอันดับหนึ่ง

ตารางที่ 3.1 เวลาที่ใช้ในการทำงานของแต่ละส่วนในโปรแกรมการอนุวัติตัวชุดเชยที่มีทรานส์ฟอร์มกัชันอันดับหนึ่ง

ส่วนต่าง ๆ ของ โปรแกรมการอนุวัติตัวชุดเชย	เวลาที่ใช้ในการประมวลผล (μsec)
1. การกำหนดค่าเริ่มต้นและเคลียร์ค่าตัวแปร	4
2. การกำหนดค่าให้กับสัมประสิทธิ์ที่ได้จากการคำนวณในโปรแกรม MATLAB	3
3. การกำหนดค่าเริ่มต้นให้กับโปรแกรมบริการอินเทอร์รัปต์	4
4. การทำงานของ while loop (เมื่อคิดเพียง 1 รอบ)	67.13
5. โปรแกรมย่อของบริการอินเทอร์รัปต์	2
6. โปรแกรมย่อย evaluate1()	53.5

เมื่อทราบเวลาที่ใช้ในการทำงานของแต่ละส่วน จะทำให้สามารถเลือกความถี่ในการสุ่มที่เหมาะสมได้ โดยพิจารณาจากค่าเวลาที่ใช้ในการประมวลผล ซึ่งค่าที่เลือกจะต้องมากกว่าเวลาที่ใช้ในการประมวลผลทั้งหมด เมื่อเลือกค่าที่เหมาะสมได้แล้วจึงนำค่าเวลานั้นมาคำนวณกลับหาค่าความถี่ที่ใช้ในการสุ่ม (f_s) โดยอาศัยความสัมพันธ์ในสมการ 3.3

$$f_s = \frac{1}{h} \quad \text{sec} \quad (3.3)$$

เมื่อ h คือความของการสุ่มสัญญาณ (Sampling interval) ในที่นี่ค่า h ที่เลือกใช้ในการอนุวัติ ตัวชุดเซย์สำหรับทราบสเปอร์ฟิงก์ชันอันดับหนึ่งคือ 1 มิลลิวินาที (จะเห็นว่าความของการสุ่มที่เลือกนี้จะทำให้โปรแกรมสามารถทำงานได้ทัน) ทำให้ได้ค่า f_s เท่ากับ 1,000 Hz

เมื่อทำการกำหนดความถี่ที่ใช้ในการสุ่มได้แล้ว จะต้องนำค่านี้ไปกำหนดให้กับ CTC Counter/Timer ในโปรแกรมไกด์มิกซ์ซี โดยพารามิเตอร์ที่ใช้ในโปรแกรมไกด์มิกซ์ซีคือ Timer reload (มีค่าตั้งแต่ 0-255) ดังนั้นจึงต้องทำการคำนวณจากค่าความถี่ในการสุ่มเพื่อคำนวณค่า Timer reload ที่ต้องใช้ในโปรแกรมการอนุวัติโดยอาศัยความสัมพันธ์ในสมการ 3.4

$$\text{Timer reload} = \frac{\text{system clock (12.288 MHz)}}{\text{prescaler} \times f_s} \quad (3.4)$$

การอนุวัติในครั้งนี้จะเลือกใช้ Prescaler ที่ 256 (คือ Timer mode ที่นำ System clock มาแบ่งออกเป็น 256 ส่วน) ทั้งการอนุวัติทราบสเปอร์ฟิงก์ชันอันดับหนึ่งและสอง ทำให้สามารถหาค่า Timer reload ได้จากสมการต่อไปนี้

$$\text{Timer reload} = \frac{12.288 \text{ MHz}}{256 \times 1000} = 48 \quad (3.5)$$

หลังจากนี้จึงนำค่านี้ไปปรับตั้งค่าในฟังก์ชัน setctc ซึ่งอยู่ในส่วนที่ใช้กำหนดค่าเริ่มต้นให้กับโปรแกรมย่อยบริการอินเทอร์รัปต์ดังนี้

```
setctc (2, 1, 48, 1); // ปรับตั้งค่าอินเทอร์รัปต์ทุก ๆ 1 มิลลิวินาที
```

- การหาค่าความถี่ที่ใช้ในการสุ่มสัญญาณสำหรับโปรแกรมการอนุวัติตัวชุดเซย์ที่มีทราบสเปอร์ฟิงก์ชันอันดับสอง

สำหรับทราบสเปอร์ฟิงก์ชันอันดับสองการคำนวณความถี่ที่ใช้ในการสุ่มเหมือนกับทราบสเปอร์ฟิงก์ชันอันดับหนึ่ง แต่ค่าความถี่ที่ได้จะแตกต่างกันเนื่องจากเวลาที่ใช้ในการประมวลผล ต่างกัน ดังรายละเอียดต่อไปนี้

**ตารางที่ 3.2 เวลาที่ใช้ในการทำงานของแต่ละส่วน ในโปรแกรมการอนุวัตตัวชุดเซย์ที่มี
ทรานสเฟอร์ฟังก์ชันอันดับสอง**

ส่วนต่าง ๆ ของ โปรแกรมการอนุวัตตัวชุดเซย์	เวลาที่ใช้ในการประมวลผล (μ sec)
1. การกำหนดค่าเริ่มต้นและค่าตัวแปร	6
2. การกำหนดค่าให้กับสัมประสิทธิ์ ที่ได้จากการคำนวณในโปรแกรม MATLAB	4
3. การกำหนดค่าเริ่มต้นให้กับ โปรแกรมบริการอินเทอร์รัปต์	4
4. การทำงานของ while loop (เมื่อ คิดเพียง 1 รอบ)	57.72
5. โปรแกรมย่อของบริการ อินเทอร์รัปต์	2
6. โปรแกรมย่อของ evaluate2()	49.8

สำหรับทรานสเฟอร์ฟังก์ชันอันดับสองนี้ ค่า h ที่เลือกใช้คือ 2 มิลลิวินาที จากความสัมพันธ์
ในสมการที่ 3.3 ทำให้ได้ค่า f_s คือ 500 Hz และจากความสัมพันธ์ในสมการที่ 3.4 ค่า Timer reload คือ

$$\text{Timer reload} = \frac{12.288 \text{ MHz}}{256 \times 500} = 96 \quad (3.6)$$

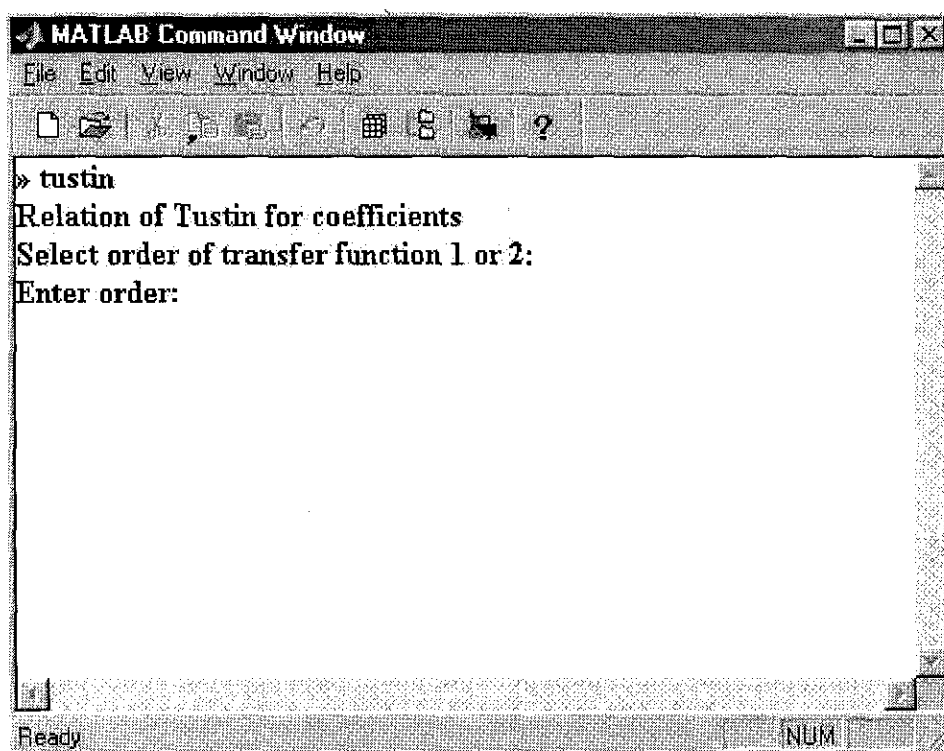
ดังนั้นการกำหนดค่า timer reload ให้กับฟังก์ชัน setctc จึงเป็น

setctc (2, 1, 96, 1); // ปรับตั้งค่าอินเทอร์รัปต์ทุก ๆ 2 มิลลิวินาที

3.3 โปรแกรมการแปลงทรายสเฟอร์ฟิ้งก์ชันจาก s-domain ไปเป็น z-domain แบบทุสติน

การแปลงทรายสเฟอร์ฟิ้งก์ชันจาก s-domain ไปเป็น z-domain โดยอาศัยความสัมพันธ์แบบทุสตินได้ก่อตัวโดยละเอียดในหัวข้อทฤษฎีพื้นฐานการแปลงแบบทุสตินในบทที่ 2 แล้ว ในบทนี้จึงนำสูตรดังกล่าวมาประยุกต์ใช้ในการโปรแกรมการแปลงโดยโปรแกรมนี้เขียนขึ้นใน MATLAB ซึ่งรายละเอียดของโปรแกรมแสดงไว้ในภาคผนวก ค วิธีการใช้งานโปรแกรมการแปลง มีรายละเอียดดังนี้

โปรแกรมนี้ออกแบบเพื่อให้ผู้ใช้เลือกทรายสเฟอร์ฟิ้งก์ชันที่ต้องการแล้วป้อนข้อมูลตามลำดับขั้นตอนที่ปรากฏ โดยในขั้นแรกจะทำการเรียกโปรแกรมการแปลงที่มีชื่อว่า `tustin` ขึ้นมาหลังจากนั้นจะมีข้อความปรากฏดังรูปที่ 3.5



รูปที่ 3.5 การใช้งานโปรแกรมการแปลงแบบทุสตินใน MATLAB

หลังจากที่ทำการเลือก `order` ของทรายสเฟอร์ฟิ้งก์ชันแล้ว โปรแกรมจะให้ผู้ใช้ป้อนค่าความเวลาการสุ่มสัญญาณ (h), a และ b หลังจากนั้นโปรแกรมจะทำการคำนวณค่าสัมประสิทธิ์ให้

ในการอนุวัตตัวชุดเชิงที่มีทรายสเฟอร์ฟิ้งก์ชันอันดับหนึ่งนี้ ทรายสเฟอร์ฟิ้งก์ชันที่เลือกใช้มีค่า $a = 30$ และ $b = 20$ ส่วนค่าในการสุ่มสัญญาณคือ 1 msec หากคำนวณประสิทธิ์แสดงในรูปที่ 3.6

MATLAB Command Window

File Edit View Window Help

> tustin.

Relation of Tustin for coefficients

Select order of transfer function 1 or 2:

Enter order:1

Transfer function for the first order compensator:

$$G(s) = \frac{s+a}{s+b}$$

Enter h in second: .001

Enter for a:30

Enter for b:20

a0=2.030002

al=-1.969998

bo=2.020001

hl=-1.979999

$$G(z) = \frac{1+al*z^{-1}}{1+b11*z^{-1}}$$

y(n) = x(n) + al*x(n-1) - b11*y(n-1)

c1=1.004951

al1=-0.970441

b11=-0.980197

>|

Ready NUM

รูปที่ 3.6 ผลการทำงานของโปรแกรมการแปลงแบบทุสตินสำหรับทราบสเฟอร์ฟิ้งก์ชันอันดับหนึ่ง

สำหรับการอนุวัติตัวชุดเชยที่มีทราบสเฟอร์ฟิ้งก์ชันอันดับสอง ทราบสเฟอร์ฟิ้งก์ชันที่เลือกใช้มีค่า $a = 14$, $b = 14$, $c = 15$ และ $d = 15$ ส่วนค่าในการสุ่มสัญญาณคือ 2 msec การหาค่าสัมประสิทธิ์แสดงในรูปที่ 3.7

MATLAB Command Window

File Edit View Window Help

```

>> tustin
Relation of Tustin for coefficients
Select order of transfer function 1 or 2:
Enter order:2
Transfer function for the second order compensator:
(s^2+cs+d)
G(s)= -----
(s^2+as+b)
Enter h in unit:.002
Enter for a:14
Enter for b:14
Enter for c:15
Enter for d:15
a0=4.060000
a1=-1.970443
a2=0.970443
b0=4.056000
b1=-1.972386
b2=0.972386
    1+a1*z^(-1)+a2*z^(-2)
G(z)= c2 -----
    1+b1*z^(-1)+b2*z^(-2)
y(n) = x(n) + a1*x(n-1) + a2*x(n-2) - b1*y(n-1) - b2*y(n-2)
c2 = 1.000986
a1 = -0.485331
a2 = 0.239025
b1 = -0.486289
b2 = 0.239740
>> |

```

Ready NUM

รูปที่ 3.7 ผลการทำงานของโปรแกรมการแปลงแบบทุกดินสำหรับทราบเพื่อพิจารณาอันดับ

สอง

บทที่ 4

การทดสอบโปรแกรมการอนุวัตตัวชดเชยด้วย ค้อนไทรอลเลอร์บอร์ด BL1120 (Little Giant)

4.1 กล่าวนำ

ในบทที่ผ่านมาได้กล่าวถึงโปรแกรมที่ใช้ในการอนุวัตตัวชดเชยที่มีทรานสเฟอร์ฟังก์ชัน อันดับหนึ่งและสอง และโปรแกรมการแปลงทรานสเฟอร์ฟังก์ชันใน s-domain ไปเป็น z-domain โดยใช้ความสัมพันธ์แบบทฤษฎิน โดยอธิบายถึงขั้นตอนการทำงานของโปรแกรมต่าง ๆ อย่างละเอียด ดังนี้ ในบทที่ 4 นี้จะกล่าวถึง วิธีการทดสอบโปรแกรมการอนุวัตตัวชดเชยที่มีทรานสเฟอร์ฟังก์ชันอันดับหนึ่งและสอง ด้วยวิธีการทดสอบทางความถี่ (Frequency response test) พร้อมทั้งแสดงผลการทดสอบ นอกจากนั้นยังมีการทดสอบโปรแกรมการรับและส่งสัญญาณด้วยค้อนไทรอลเลอร์บอร์ด โดยใช้ โปรแกรม ไดนามิกซ์

4.2 วิธีทดสอบโปรแกรมการอนุวัตตัวชดเชยด้วยค้อนไทรอลเลอร์บอร์ด BL1120 (Little Giant)

การทดสอบโดยหาผลตอบสนองทางความถี่ (Frequency response) นั้นจะทำการวัดสัญญาณ เอาท์พุททั้งอัตราขยายและเฟส โดยมีรายละเอียดดังต่อไปนี้

4.2.1 อุปกรณ์ที่ใช้ในการทดสอบ

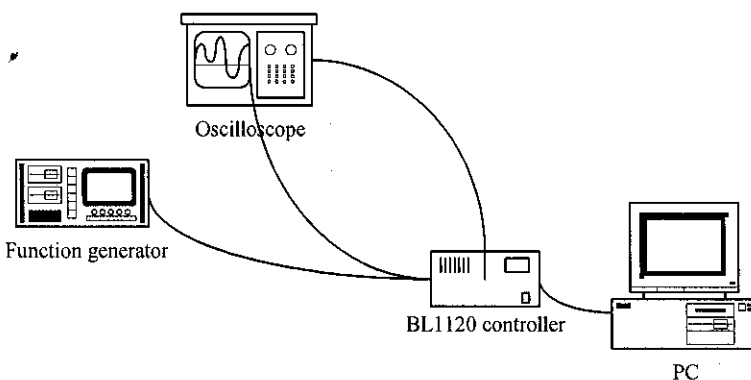
อุปกรณ์ที่ใช้ในการทดสอบมีดังนี้

- Oscilloscope
- Function generator
- ค้อนไทรอลเลอร์บอร์ด
- พีซี
- สาย probe 2 เส้น
- AC line 2 เส้น

4.2.2 การวัดอัตราขยายและเฟสของสัญญาณเอาท์พุท

การวัดอัตราขยายและเฟสเมื่อขั้นตอนดังนี้

- ก่อนทำการวัดจะต้องต่ออุปกรณ์ดังรูปที่ 4.1 โดยจะต่อออสซิลโลสโคปเข้ากับบอร์ด ช่องรับสัญญาณที่ 1 ของออสซิลโลสโคปต่อเข้ากับช่องรับสัญญาณอินพุทช่องที่ 6 ของตัวบอร์ด และต่อช่องรับสัญญาณที่ 2 ของออสซิลโลสโคปเข้ากับเอาท์พุทของ DAC บนบอร์ดและต่อ Function generator เข้ากับช่องรับสัญญาณอินพุทช่องรับสัญญาณที่ 6 ของตัวบอร์ด เพื่อป้อนอินพุทให้กับช่องรับสัญญาณอินพุทของบอร์ด



รูปที่ 4.1 การต่ออุปกรณ์เพื่อใช้ในการทดสอบ

- เข้าไปในโปรแกรมไคนามิกส์และเปิดโปรแกรมการอนุวัติที่ต้องการทดสอบ (ไฟล์ในไคนามิกส์จะใช้นามสกุล .c) หลังจากนั้นทำการคอมไพล์ (compile) โปรแกรมโดยการกดปุ่ม COMPILE หรือกดปุ่ม F3 โปรแกรมไคนามิกส์จะทำการคอมไพล์โปรแกรมการอนุวัติให้ หลังจากคอมไпал์เสร็จเรียบร้อยแล้ว ก็จะต้องทำการรันโปรแกรมโดยการกดปุ่ม RUN หรือกดปุ่ม F9 (ถ้าต้องการคอมไпал์และรันทันทีหลังจากคอมไпал์เสร็จ สามารถกดปุ่ม F9 เพียงปุ่มเดียวได้ โปรแกรมจะทำการคอมไпал์และรันให้ทันที)
- เมื่อทำการรันโปรแกรมเสร็จสิ้นแล้ว ผลการรันโปรแกรมจะปรากฏขึ้นที่หน้าจอของออสซิลโลสโคปโดยแสดงภาพสัญญาณทั้งส่วนของอินพุทและเอาท์พุท เมื่อต้องการอ่านค่าแรงดันอินพุทและเอาท์พุทให้กดปุ่ม MEASURE บนออสซิลโลสโคป จะเห็นภาพสัญญาณพร้อมทั้งค่าแรงดันอินพุทและเอาท์พุทดังรูปที่ 4.2

4. สำหรับการคำนวณค่าอัตราขยายนี้จะใช้ความสัมพันธ์ดังนี้คือ

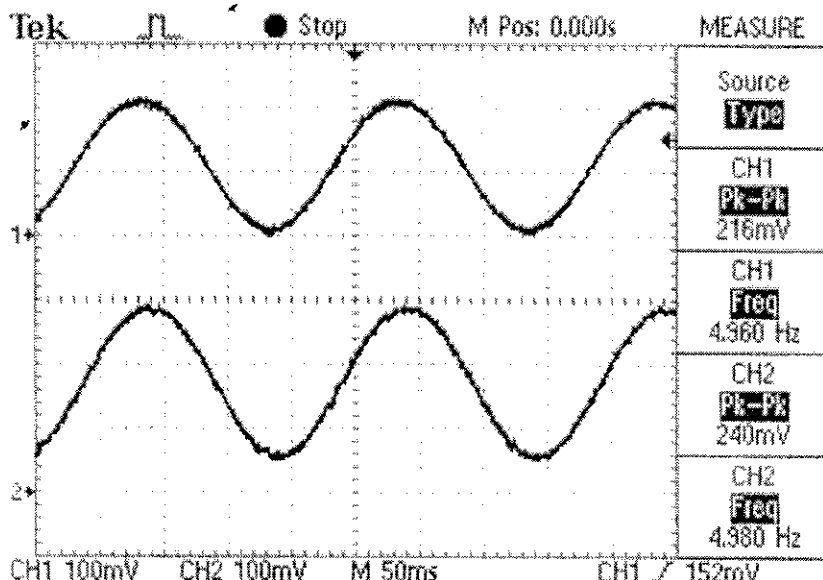
อัตราขยาย (gain, G) = ค่าแรงดันอาท์พุท (伏特) / ค่าแรงดันอินพุท (伏特)

$$\text{อัตราขยาย (gain, } dB) = 20 \cdot \log(G)$$

จากรูปที่ 4.2 สามารถคำนวณหาค่าอัตราขยายได้ดังนี้

$$\text{อัตราขยาย} = 240 \text{ mV} / 216 \text{ mV} = 1.11$$

$$= 20 \cdot \log(1.11) = 0.906 \text{ dB}$$



รูปที่ 4.2 ภาพสัญญาณอินพุตและเอาท์พุตพร้อมการอ่านค่าแรงดันและความถี่

5. เมื่อทำการวัดค่าแรงดันได้แล้ว หลังจากนั้นก็ทำการวัดเฟสของสัญญาณ ในการวัดเฟสของสัญญาณนี้จะวัดจากช่วงเวลาที่ต่างกันแล้วนำมาคำนวณหาค่าเฟสที่ต่างกัน โดยจะทำการเปลี่ยนโหมดการวัด ซึ่งทำได้ดังนี้คือ กดปุ่ม CURSOR ที่หน้าจอจะปรากฏฟังก์ชันของโหมดต่าง ๆ ดังแสดงในรูปที่ 4.3 ให้เดือกที่โหมด Type และกดเลือก Time จะปรากฏ Cursor มาให้ 2 อัน หลังจากนั้นใช้ปุ่ม position แบบ vertical ทั้งของซ่องรับสัญญาณที่ 1 และ 2 เพื่อปรับตำแหน่งของ cursor ให้มาอยู่ในตำแหน่งที่ต้องการดังแสดงในรูปที่ 4.3 คือการวัดช่วงเวลาในหนึ่งคานของสัญญาณ (ซึ่งสัญญาณอินพุตและเอาท์พุตจะมีความเวลาเท่ากัน) โดยนำ cursor

- 1 จับที่ส่วนที่สูงของสัญญาณและนำ cursor 2 จับที่ส่วนที่สูงที่สุดของสัญญาณในลูกกลิ้นถัดไป และอ่านค่าเวลาในช่อง Delta
6. ความสัมพันธ์ที่ใช้ในการคำนวณหาค่าความต่างเฟสคือ

$$\text{เฟสที่ต่างกัน } (\theta, \text{ degree}) = (d * 360) / D$$

โดยที่ d คือ ค่าเวลาที่ต่างกันของสัญญาณอินพุทกับเอาท์พุท (วินาที)

D คือ ค่าของสัญญาณ (วินาที)

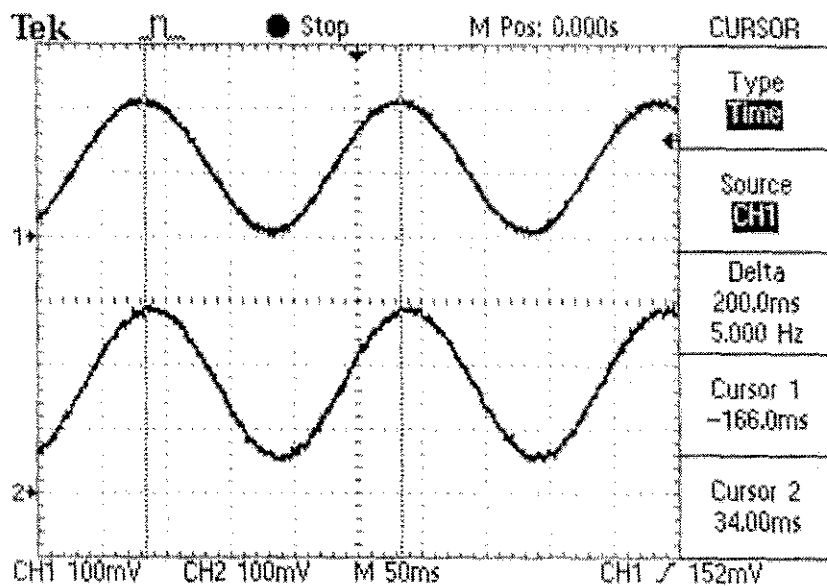
โดยเครื่องหมาย $+ \ แสวงถึงเฟสของสัญญาณเอาท์พุทน้ำหน้าอินพุท$

$- \ แสวงถึงเฟสของสัญญาณเอาท์พุทล้าหลังอินพุท$

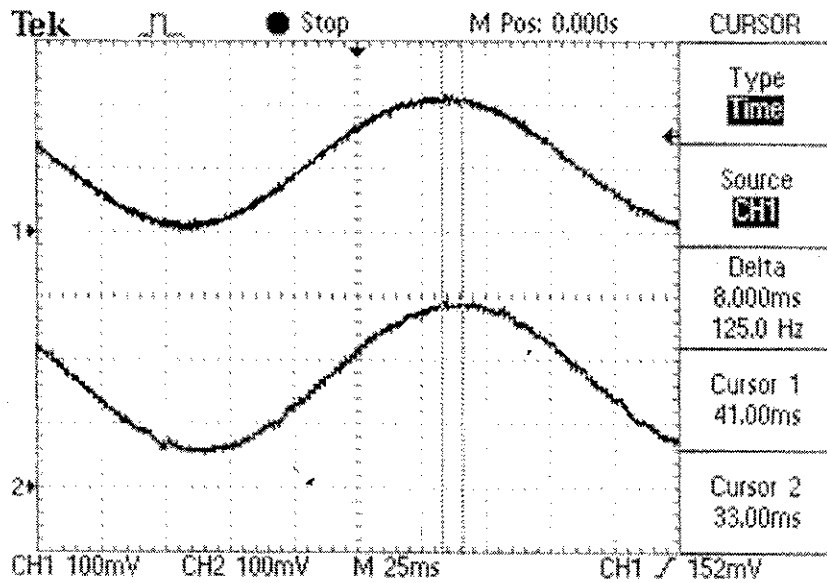
จากรูปที่ 4.4 สามารถคำนวณหาค่าเฟสที่ต่างกัน (θ) ได้ดังนี้

$$\begin{aligned} \text{เฟสที่ต่างกัน } (\theta) &= (8 \text{ msec} * 360) / 200 \text{ msec} \\ &= 14.4 \text{ องศา} \end{aligned}$$

\therefore เฟสที่ต่างกันคือ -14.4 องศา เนื่องจากเฟสของสัญญาณเอาท์พุทล้าหลังอินพุท



รูปที่ 4.3 การวัดค่าบล็อกของสัญญาณอินพุท



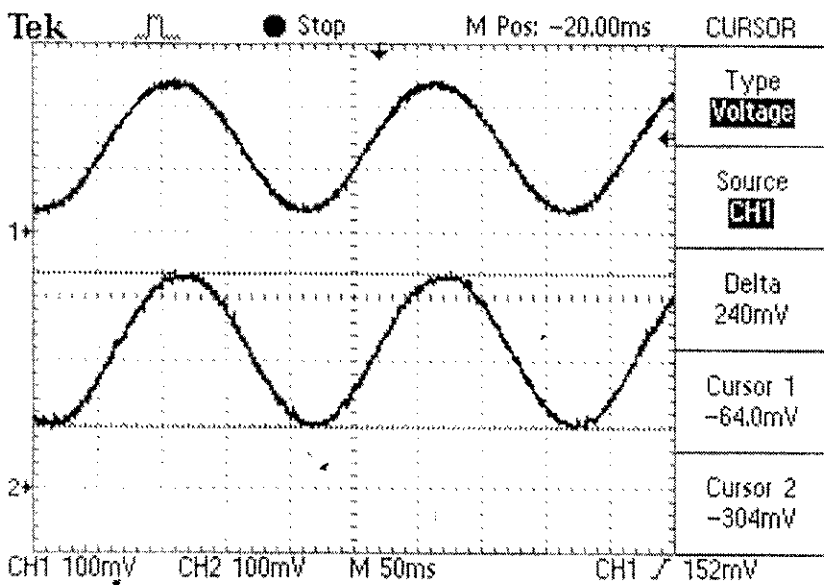
รูปที่ 4.4 การวัดเวลาที่ต่างกันของอินพุทกับเอาท์พุท

หมายเหตุ

การวัดสัญญาณที่ค่าความถี่ต่ำ ๆ อาจทำให้ไม่สามารถวัดค่าแรงดันได้โดยอาศัยผลการวัดจาก การใช้ปุ่ม MEASURE วิธีแก้ไขก็คือ ให้มาใช้วิธีการวัดเหมือนการหาค่าเฟสที่ต่างกัน แต่ที่โหนด Type ให้เลือก Voltage ค่า Delta ที่อ่านได้ก็คือ ค่าแรงดันของสัญญาณนั้น วิธีการวัดแสดงในรูปที่ 4.5 แต่มี ข้อที่ควรระวังก็คือ ควรปรับ VOLTS/DIV ให้สามารถอ่านค่าแรงดันได้อย่างชัดเจนเพื่อจะได้อ่านค่าได้ อย่างถูกต้อง และที่สำคัญ VOLTS/DIV ของทั้งสองช่องรับสัญญาณควรจะเท่ากันเพื่อจะได้วัดค่าได้ อย่างถูกต้องและไม่สับสน

ข้อสังเกต

บางครั้งการวัดโดยใช้โหนด CURSOR จะได้ค่าที่แน่นอนและถูกต้องมากกว่าค่าที่แสดงการ วัดโดยอัตโนมัติ เนื่องจากค่าที่แสดงทางจอแสดงผลซึ่ลโคลป์ไม่คงที่ (ไม่นิ่ง) จึงไม่สามารถอ่านค่าที่แน นอนได้



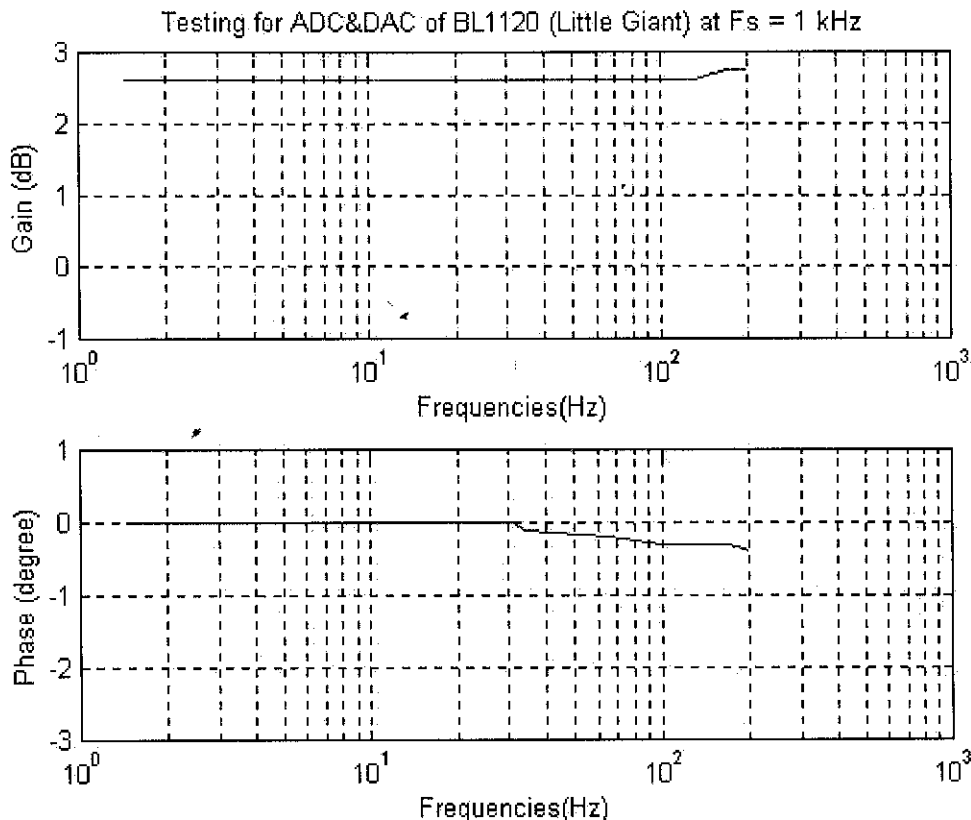
รูปที่ 4.5 การวัดค่าแรงดันกรณีใช้ CURSOR

หลังจากทำการวัดค่าอัตราขยายและเฟสเสรีจเรียบร้อยแล้ว จะต้องนำค่าเหล่านี้มาคูณกับค่าความถี่ (C_1) และจึงนำมาพล็อตกราฟเพื่อดูผลตอบสนองทางความถี่ (Frequency Response) โปรแกรมที่ใช้ในการพล็อตกราฟคือ `test.m` ซึ่งเขียนขึ้นใน MATLAB รายละเอียดต่าง ๆ ของโปรแกรมแสดงไว้ในภาคผนวก ณ ส่วนการใช้งานโปรแกรมนี้จะคล้ายคลึงกับโปรแกรมการแปลง s-domain ไปเป็น z-domain แบบทุกดินที่ได้นำเสนอไปแล้วในบทที่ 3

4.3 การทดสอบโปรแกรมการรับและส่งสัญญาณด้วยคอนโทรลเลอร์บอร์ด BL1120 (Little Giant)

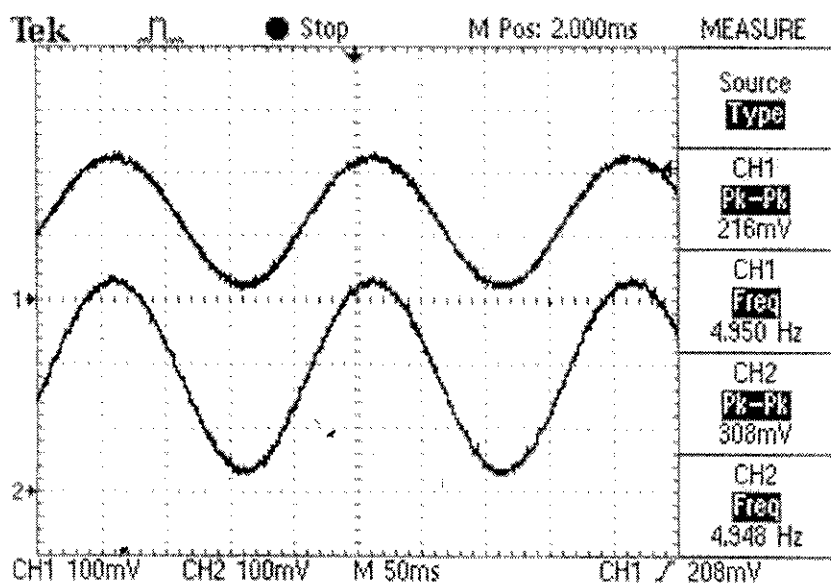
การทดสอบการรับและส่งสัญญาณด้วยคอนโทรลเลอร์บอร์ด จะใช้ตัวแปลงสัญญาโนนาลีอกเป็นดิจิตอล (ADC) และตัวแปลงสัญญาณดิจิตอลเป็นอนาลีอก (DAC) โดยจะทำการเขียนโปรแกรมในไนนา mikstชีให้รับอินพุทเข้ามาทาง ADC และส่งออกทันทีทาง DAC ความถี่ของการสุ่มสัญญาณที่เลือกใช้คือ 1,000 Hz และ 500 Hz ซึ่งค่าความถี่ทั้งสองค่านี้ได้นำไปใช้ในการอนุวัตตัวชุดแซดดิ้งที่ได้กล่าวไปแล้ว โดยขนาดของสัญญาโนินพุทที่ใช้ในการทดสอบคือ $216 \text{ mV}_{\text{pp}}$ (เนื่องจากที่สัญญาโนินพุทขนาดต่าง ๆ จะมีค่าเฟสเท่ากันและขนาดของสัญญาโนไก่เดียวกันมาก จึงทำการทดสอบเพียงค่าเดียว) ส่วนโปรแกรมที่ใช้ทดสอบคือ `ADCDAC.c` รายละเอียดของโปรแกรมแสดงไว้ในภาคผนวก ง และผลการทดสอบแสดงไว้ในภาคผนวก จ

ผลการทดสอบที่ความถี่การสุ่มสัญญาณเท่ากับ 1 kHz และคงในตาราง จ.3 สามารถสรุปได้ดัง
รูปที่ 4.6

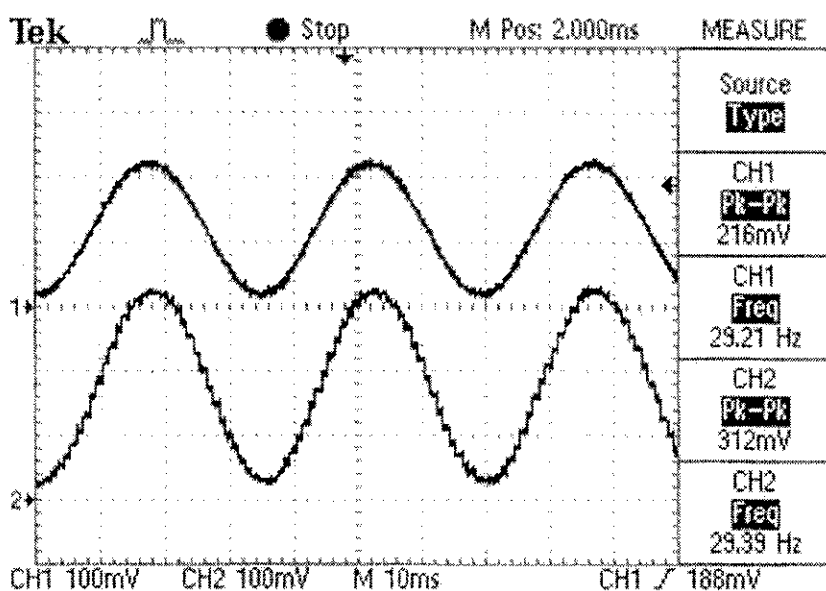


รูปที่ 4.6 อัตราขยายและเฟสของสัญญาณจากการทดสอบโปรแกรมการรับและส่งสัญญาณ
ด้วยคอนโทรลเลอร์ที่ความถี่ของการสุ่มสัญญาณ 1 kHz และใช้สัญญาณ
อินพุต $0.216 V_{pp}$

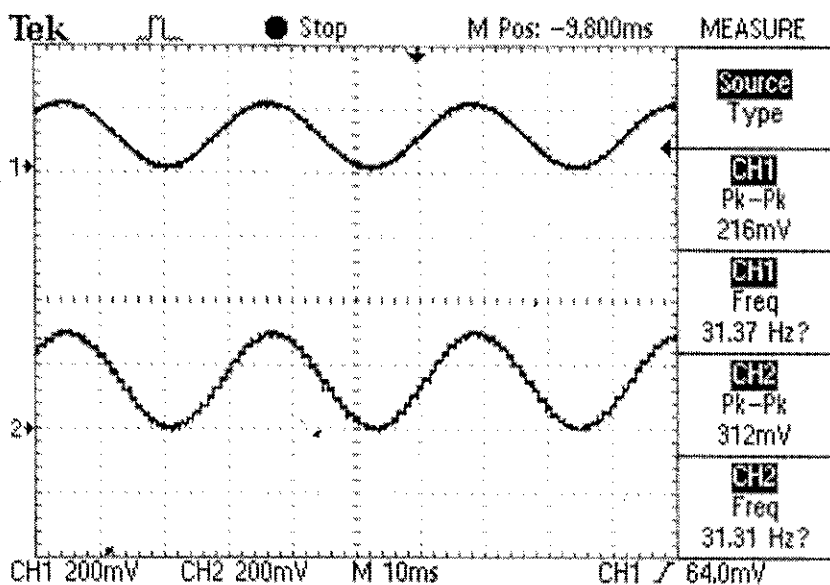
จากรูปที่ 4.6 แสดงให้เห็นว่าช่วงความถี่ที่ให้อัตราขยายเท่ากันประมาณ 0 – 200 Hz และค่า
อัตราขยายโดยเฉลี่ยคือ 1.35 หรือประมาณ 2.64 dB



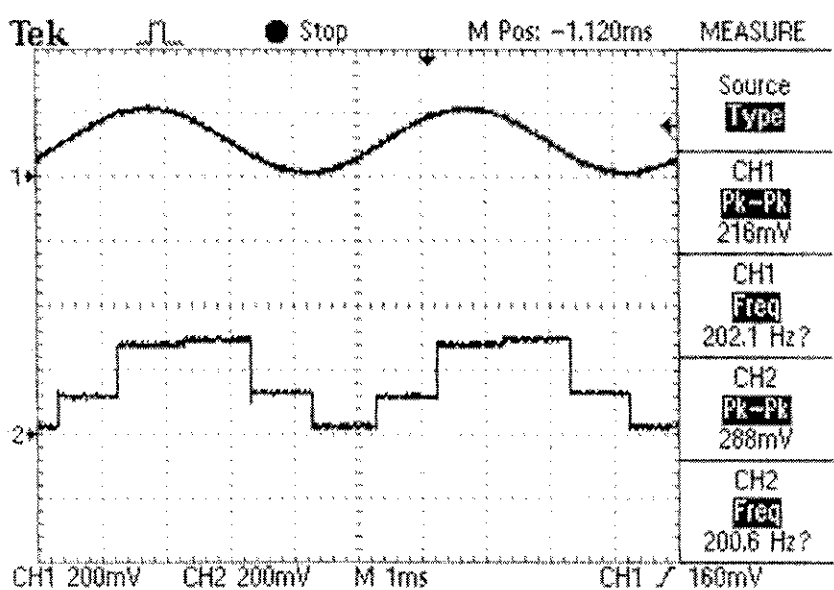
รูปที่ 4.7 รูปสัญญาณที่ความถี่ 4.950 Hz โดยมีความถี่ในการสุ่มสัญญาณเท่ากับ 1 kHz



รูปที่ 4.8 รูปสัญญาณที่ความถี่ 29.07 Hz โดยมีความถี่ในการสุ่มสัญญาณเท่ากับ 1 kHz

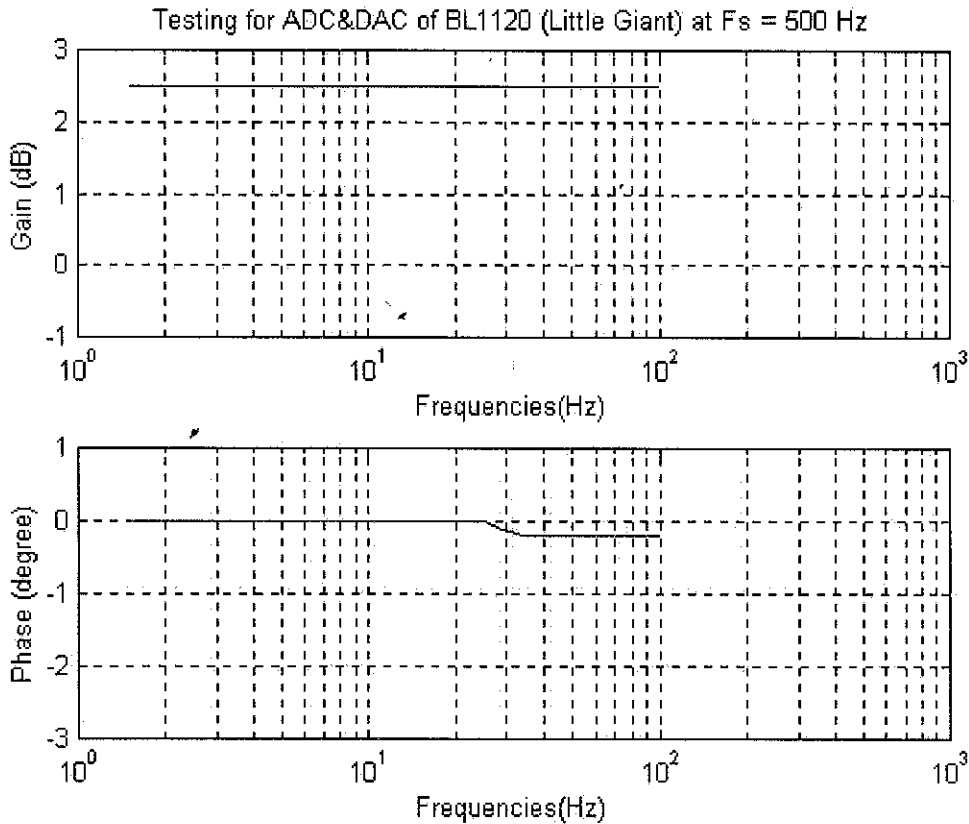


รูปที่ 4.9 รูปสัญญาณที่ความถี่ 31.25 Hz ซึ่งเป็นค่าความถี่ที่มากที่สุดที่สัญญาณอินพุทยังมีเฟสเท่ากันเอาท์พุท โดยความถี่ในการสุ่มสัญญาณเท่ากับ 1 kHz



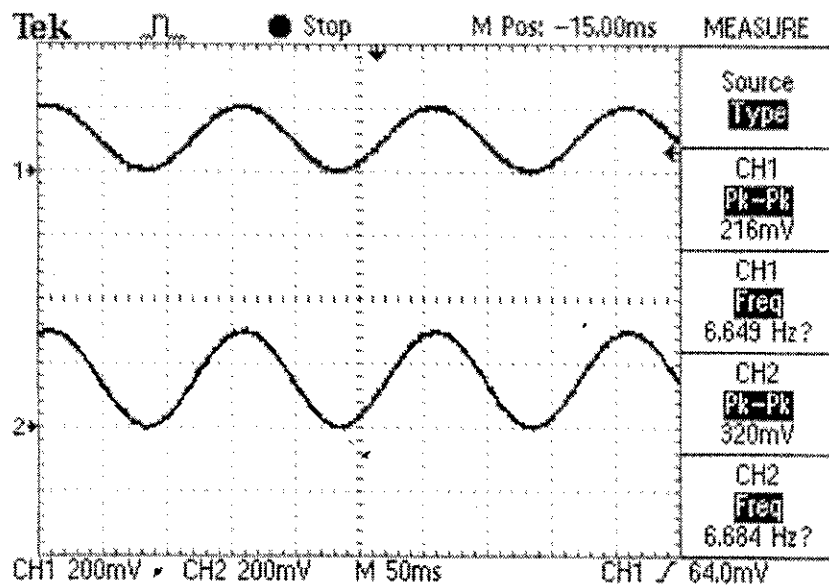
รูปที่ 4.10 รูปสัญญาณที่ความถี่ 200 Hz ซึ่งเป็นค่าความถี่ที่มากที่สุดที่สัญญาณเอาท์พุทยังไม่ผิดเพี้ยนไปจากสัญญาณอินพุท โดยความถี่ในการสุ่มสัญญาณเท่ากับ 1 kHz

ส่วนผลการทดสอบที่ความถี่การสุ่มสัญญาณเท่ากับ 500 Hz แสดงในตาราง จ.4 สามารถสรุปได้ดังรูปที่ 4.11

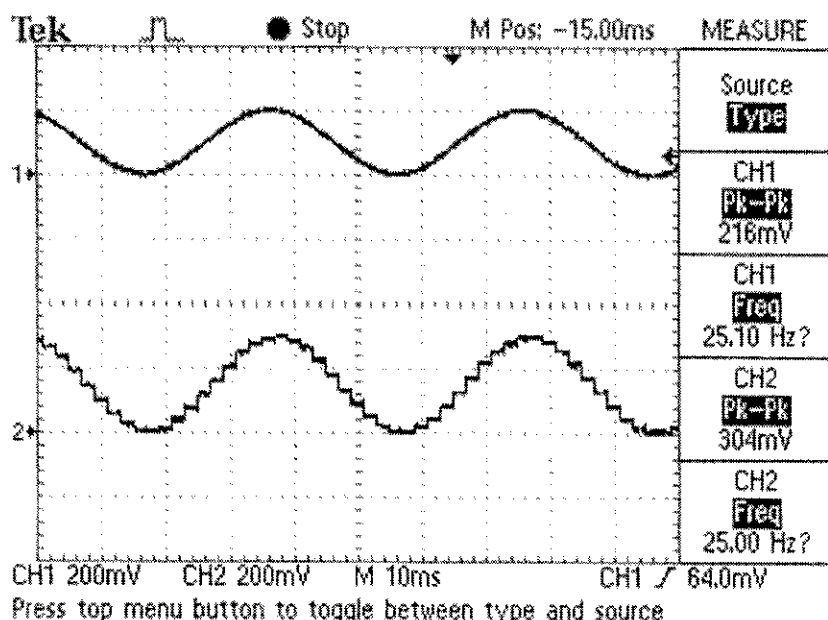


รูปที่ 4.11 อัตราขยายและเฟสของสัญญาณจากการทดสอบโปรแกรมการรับและส่งสัญญาณด้วยคอนโทรลเลอร์บอร์ด ที่ความถี่ของการสุ่มสัญญาณ 500 Hz และใช้สัญญาณอินพุต $0.216 V_{pp}$

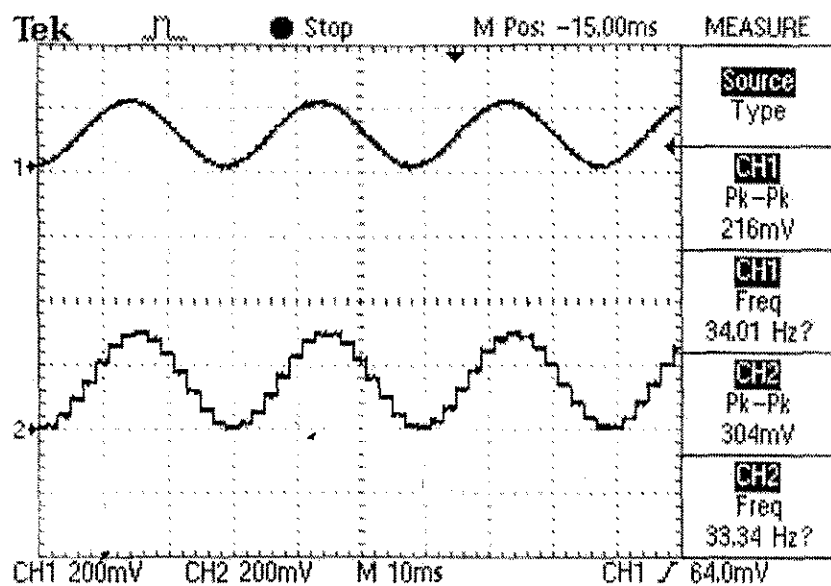
จากรูปที่ 4.11 แสดงให้เห็นว่าช่วงความถี่ที่ให้อัตราขยายเท่ากันประมาณ 0 – 100 Hz และค่าอัตราขยายโดยเฉลี่ยคือ 1.33 หรือประมาณ 2.50 dB



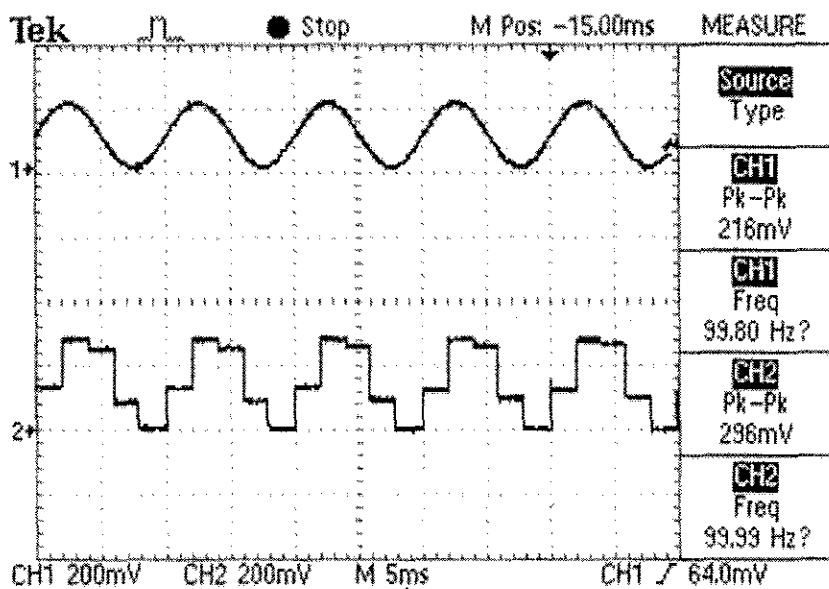
รูปที่ 4.12 รูปสัญญาณที่ความถี่ 6.623 Hz โดยความถี่ในการสุ่มสัญญาณเท่ากับ 500 Hz



รูปที่ 4.13 รูปสัญญาณที่ความถี่ 25.25 Hz ซึ่งเป็นค่าความถี่ที่มากที่สุดที่สัญญาณอินพุทยังมีเฟสเท่ากับเอาท์พุท โดยความถี่ในการสุ่มสัญญาณเท่ากับ 500 Hz



รูปที่ 4.14 รูปสัญญาณที่ความถี่ 33.78 Hz โดยความถี่ในการสุ่มสัญญาณเท่ากับ 500 Hz



รูปที่ 4.15 รูปสัญญาณที่ความถี่ 100 Hz ซึ่งเป็นค่าความถี่ที่มากที่สุดที่สัญญาณเอาท์พุตยังไม่ผิดเพี้ยนไปจากสัญญาณอินพุต โดยความถี่ในการสุ่มสัญญาณเท่ากับ 500 Hz

อภิปรายผลการทดสอบ

จากรูปที่ 4.6 และรูปที่ 4.11 จะเห็นได้ว่าอัตราขยายค่อนข้างคงที่ที่ค่า 2.64 dB และ 2.51 dB ตามลำดับ แสดงว่าตอนโทรศัพท์มีการขยายสัญญาณก่อนที่จะส่งออก ส่วนเฟสในช่วงที่ความถี่ต่ำ ๆ มีค่าเท่ากับศูนย์ และเริ่มนิ่มการเปลี่ยนแปลงเมื่อความถี่มีค่ามากกว่า 31.25 Hz สำหรับรูปที่ 4.6 และ 25.25 Hz สำหรับรูปที่ 4.11 ซึ่งการเปลี่ยนแปลงตังกล่าวมีค่าไม่ถึง 1 องศา (ถือว่ามีการเปลี่ยนแปลงน้อยมากจนอาจประมาณได้ว่ามีค่าเป็นศูนย์) อาจเป็นผลเนื่องมาจากอุปกรณ์ที่ใช้ในการวัด ดังนั้นในการทดสอบทั้งหมดจะทำการควบคุมอุปกรณ์ที่ใช้ในการวัดโดยจะใช้อุปกรณ์ชุดเดียวกันตลอดการทดสอบ เพื่อบังคับการเปลี่ยนแปลงของอัตราขยายและเฟสที่อาจเกิดขึ้นได้

จากรูปที่ 4.7 ถึงรูปที่ 4.10 และรูปที่ 4.12 ถึงรูปที่ 4.15 พบว่าค่าความถี่เพิ่มมากขึ้นจะทำให้สัญญาณเอาท์พุทมีลักษณะเป็นขั้นบันไดชัดเจนขึ้น เนื่องจากไม่มี Low-pass filter ที่ด้านสั่งสัญญาณออก จึงไม่ได้รูปสัญญาณที่เรียบเมื่อความถี่สูงขึ้น ส่วนที่ความถี่ต่ำยังเห็นรูปสัญญาณที่เป็นคลื่นไอน์ชัคเจนเนื่องมาจากพัลส์ที่สุ่มสัญญาณได้อยู่ชิดกันมาก จึงทำให้มองดูเหมือนรูปสัญญาณที่ได้นี้เรียบไม่เป็นขั้นบันได

รูปที่ 4.10 และรูปที่ 4.15 แสดงค่าความถี่มากที่สุดที่รูปสัญญาณเอาท์พุทที่ได้ยังไม่ผิดเพี้ยนไปจากสัญญาณอินพุท ซึ่งค่าความถี่นี้คือ 200 Hz และ 100 Hz ตามลำดับ แสดงให้เห็นว่าช่วงความถี่ที่เหมาะสมสำหรับการทำงานของตอนโทรศัพท์อร์ดนี้คือ 0 - 200 Hz กรณีที่ทำการสุ่มสัญญาณที่ 1 kHz และ 0-100 Hz กรณีที่ทำการสุ่มสัญญาณที่ 500 Hz

จากตาราง ฯ 1 และ ฯ 2 จะเห็นได้ว่าค่าอัตราขยายเฉลี่ยเมื่อทำการทดสอบที่แรงดันอินพุตค่าต่าง ๆ คือ 1.351 หรือ 2.613 dB และ 1.321 หรือ 2.414 dB ตามลำดับ ส่วนช่วงความถี่ที่มีอัตราขยายเท่ากันคือ 0 – 200.8 Hz และ 0 – 101.5 Hz ตามลำดับ แสดงให้เห็นว่าที่ค่าความถี่ในการสุ่มมากขึ้นช่วงความถี่ที่ใช้งานได้จะมากขึ้นด้วย

ดังนั้นในการทดสอบโปรแกรมการอนุวัตตัวชดเชยจะทำการทดสอบที่ความถี่ในการสุ่มสัญญาณเท่ากับ 1 kHz ทดสอบในช่วงความถี่ 0 – 200 Hz สำหรับตัวชดเชยที่มีทรานสเฟอร์ฟิงก์ชันขั้นดับหนึ่งและที่ความถี่ในการสุ่มสัญญาณเท่ากับ 500 Hz ทดสอบในช่วงความถี่ 0 – 100 Hz สำหรับตัวชดเชยที่มีทรานสเฟอร์ฟิงก์ชันอันดับสอง เนื่องจากที่ค่าความถี่ในการสุ่มสัญญาณดังกล่าวเป็นค่าที่เหมาะสมกับทรานสเฟอร์ฟิงก์ชันขั้นดับหนึ่ง ๆ ส่วนในเรื่องอัตราขยายที่เกิดขึ้นเนื่องจากการรับและส่งสัญญาณด้วยตอนโทรศัพท์อร์ด จึงจำเป็นต้องนำค่าอัตราขยายนั้นไปหารออกจากสัญญาณเอาท์พุทที่จะส่งออก

4.4 การทดสอบโปรแกรมการอนุวัตตัวชดเชยด้วยคอนโทรลเลอร์บอร์ด BL1120 (Little Giant)

โปรแกรมการอนุวัตตัวชดเชยแบ่งออกเป็น 2 โปรแกรมด้วยกันคือ โปรแกรมการอนุวัตตัวชดเชยที่มีทรานสเฟอร์ฟังก์ชันอันดับหนึ่งและตัวชดเชยที่มีทรานสเฟอร์ฟังก์ชันอันดับสอง ส่วนโปรแกรมที่ใช้ทดสอบจะใช้เพียงโปรแกรมเดียว เป็นโปรแกรมที่เขียนขึ้นใน MATLAB ชื่อ test.m วิธีที่ใช้ในการทดสอบคือ ในขั้นแรกจะทำการวัดขนาดและเฟสของสัญญาณทั้งอินพุตและเอาท์พุตและนำมาคำนวณค่าอัตราขยาย หลังจากนั้นจะใช้การพล็อตกราฟคุณภาพของทางความถี่ ซึ่งในตัวโปรแกรมจะใส่ค่าอัตราขยายและเฟสที่ได้หลังจากการทดสอบโดยการวัดลงไปโดยตรง จากผลการทดสอบในภาคผนวก ๗ (ถ้าต้องการทดสอบกับตัวชดเชยที่มีทรานสเฟอร์ฟังก์ชันค่างออกไป สามารถนำค่าที่วัดได้มาใส่ในส่วนการกำหนดค่าอัตราขยายและเฟส คุณลักษณะเดียวกันกับภาคผนวก ๗) การรันโปรแกรมจะให้เลือกอันดับของทรานสเฟอร์ฟังก์ชัน แล้วโปรแกรมจะทำการพล็อตผลตอบสนองทางความถี่มาให้ โดยมีรายละเอียดดังนี้

4.4.1 การทดสอบโปรแกรมอนุวัตตัวชดเชยที่มีทรานสเฟอร์ฟังก์ชันอันดับหนึ่ง

ทรานสเฟอร์ฟังก์ชันอันดับหนึ่งของตัวชดเชยใน s-domain คือ

$$H(s) = \frac{s + 30}{s + 20}$$

หลังจากทำการแปลงให้อยู่ใน z-domain โดยอาศัยความสัมพันธ์ของทฤษฎิน จะได้ทรานสเฟอร์ฟังก์ชันในรูป z-domain ดังนี้

$$H(z) = \frac{2.030002 - 1.969998z^{-1}}{2.020001 - 1.979999z^{-1}}$$

$$H(z) = 1.004950 \left(\frac{1 - 0.970442z^{-1}}{1 - 0.980197z^{-1}} \right)$$

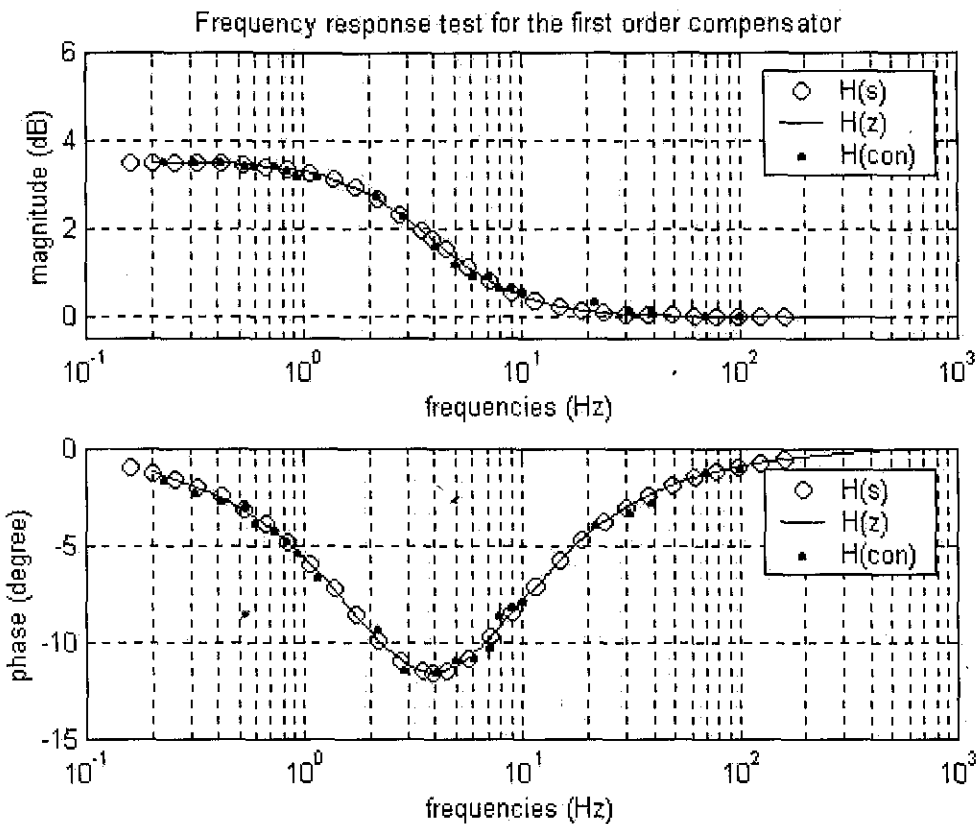
เมื่อนำมาเปลี่ยนเป็นค่าสัมประสิทธิ์ของตัวชดเชยที่ใช้ในการอนุวัต จะมีค่าดังนี้

$$a_{11} = -0.970442$$

$$b_{11} = -0.980197$$

สาเหตุที่ใช้สัมประสิทธิ์เพียง 2 ตัวในการอนุวัดตัวชุดเชยเนื่องมาจากการคำสัมประสิทธิ์ตัวอื่นมีค่าเป็น 1 ดังที่กล่าวในบทที่ 3 หลังจากทำการวัดสัญญาณเสร็จสิ้นแล้วจะต้องนำค่าอัตราขยายที่วัดได้ที่เรียกว่า G_{disp} (Display gain) มาคูณกับค่าคงที่ที่ดึงออกมาจากทรานสเฟอร์ฟิล์กชัน (C_1) ก่อนนำไปใช้ในโปรแกรมการอนุวัดซึ่งมีค่าเท่ากับ 1.004951 ค่าอัตราขยายที่ได้ใหม่จะเรียกว่า G_{act} (Actual gain) หลังจากนั้นจึงนำค่านี้ไปพล็อตกราฟเพื่อคุณลักษณะของความถี่

ผลการทดสอบตัวชุดเชยที่มีทรานสเฟอร์ฟิล์กชันอันดับหนึ่งด้วยคอนโทรลเลอร์บอร์ด BL1120 (Little Giant) โดยโปรแกรม order1.c ในไคนามิกซ์ และนำค่าที่ได้จากการทดสอบมาใช้ในโปรแกรม test.m โดยเลือกทดสอบกรณีทรานสเฟอร์ฟิล์กชันอันดับหนึ่ง ที่ความถี่ของการสุ่มสัญญาณเท่ากับ 1 kHz และคงไว้ในรูปที่ 4.16 ส่วนค่าอัตราขยายและเฟสของ $H(\text{con})$ ที่ได้จากการทดสอบแสดงไว้ในภาคผนวก ๗ ในตาราง ๗.1



รูปที่ 4.16 ผลตอบสนองทางความถี่ของตัวชดเชยที่มีทรานสเฟอร์ฟังก์ชันอันดับหนึ่ง ที่ความถี่ในการสุ่มสัญญาณเท่ากับ 1 kHz

อภิปรายผลการทดสอบ

จากรูปที่ 4.16 จะเห็นได้ว่าอัตราขยายของทรานสเฟอร์ฟังก์ชันใน s-domain $H(s)$ และ z-domain $H(z)$ มีค่าเท่ากัน เมื่อจาก $H(z)$ มี dc gain เท่ากับ $H(s)$ คือ 1 (dc gain ของ $H(z) = 1.004951 \approx 1$) ดังที่ได้กล่าวแล้วว่าการแปลงแบบทุกสิ่งจะต้องมีการปรับ dc gain (K_d) ที่คูณอยู่กับ $H(z)$ เพื่อทำให้ $H(z)$ มี dc gain เท่ากับ $H(s)$ ดังเดิม ส่วนอัตราขยายที่ได้จากการอนุวัตโดยใช้คอนโทรลเลอร์บอร์ด $H(\text{con})$ จะใกล้เคียงกับ $H(s)$ และ $H(z)$ มาก

นอกจากนี้จะเห็นว่าเฟสของ $H(\text{con})$ จะกระจายเล็กน้อย แต่แนวโน้มยังคงกลุ่มอยู่กับ $H(s)$ และ $H(z)$ ลักษณะการกระจายดังกล่าวเกิดขึ้นเนื่องจากความไม่แน่นอน (uncertainty) ของค่าเฟสที่ได้ ซึ่งอาจมีสาเหตุมาจาก phase jitter ในอุปกรณ์อิเลคทรอนิกส์ที่ใช้เป็นส่วนประกอบของ Function generator

4.4.2 การทดสอบโปรแกรมอนุวัตตัวชดเชยที่มีทราบสไฟอร์ฟังก์ชันอันดับสอง ทราบสไฟอร์ฟังก์ชันอันดับสองของตัวชดเชยใน s-domain คือ

$$H(s) = \frac{s^2 + 15s + 15}{s^2 + 14s + 14}$$

หลังจากทำการแปลงให้อยู่ใน z-domain โดยอาศัยความสัมพันธ์ของทฤษฎินแล้ว จะได้ทราบสไฟอร์ฟังก์ชันในรูป z-domain ดังนี้

$$H(z) = \frac{4.060000 - 1.970443z^{-1} + 0.970443z^{-2}}{4.056000 - 1.972386z^{-1} + 0.972386z^{-2}}$$

$$H(z) = 1.000986 \left(\frac{1 - 0.485331z^{-1} + 0.239025z^{-2}}{1 - 0.486289z^{-1} + 0.239740z^{-2}} \right)$$

เมื่อนำมาเปลี่ยนเป็นค่าสัมประสิทธิ์ของตัวชดเชยที่ใช้ในการอนุวัต จะมีค่าดังนี้

$$a_{11} = -0.485331$$

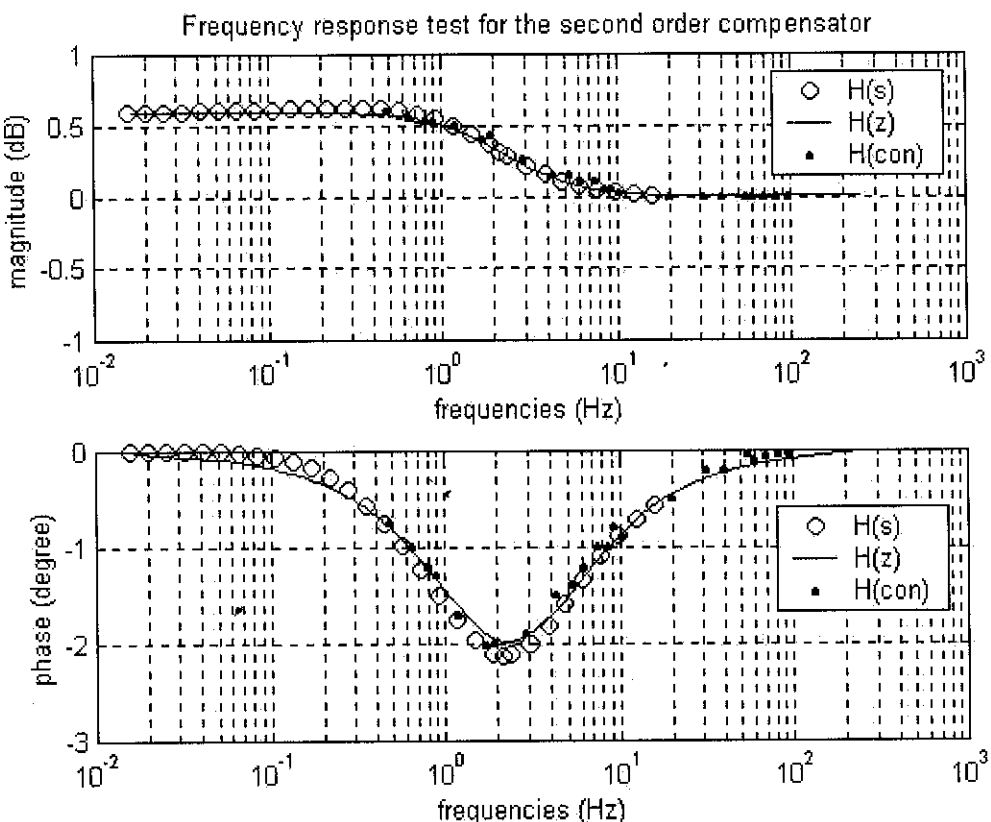
$$a_{21} = 0.239025$$

$$b_{11} = -0.486289$$

$$b_{21} = 0.239740$$

สถาเหตุที่ใช้สัมประสิทธิ์เพียง 4 ตัวในการอนุวัตเนื่องมาจากค่าสัมประสิทธิ์ตัวอื่นมีค่าเป็น 1 หลังจากทำการวัดสัญญาณเสร็จสิ้นแล้วจะต้องนำค่าอัตราขยาย G_{disp} มาคูณกับค่าคงที่ที่ดึงออกมาจากทราบสไฟอร์ฟังก์ชัน (C_2) ก่อนนำไปใช้ในโปรแกรมการอนุวัตตัวชดเชยซึ่งมีค่าเท่ากับ 1.000986 ค่าอัตราขยายที่ได้คือ G_{act} หลังจากนั้นจึงนำค่านี้ไปปลดอกราฟเพื่อดูผลตอบสนองทางความถี่

ผลการทดสอบตัวชดเชยที่มีทราบสไฟอร์ฟังก์ชันอันดับสองด้วยคอนโทรลเลอร์บอร์ด BL1120 (Little Giant) โดยโปรแกรม order2.c ในไดนามิกส์ และนำค่าที่ได้จากการทดสอบมาใช้ในโปรแกรม test.m โดยเลือกทดสอบกรณีทราบสไฟอร์ฟังก์ชันอันดับสอง ที่ความถี่ของการสุ่มสัญญาณเท่ากับ 500 Hz แสดงไว้ในรูปที่ 4.17 ส่วนค่าอัตราขยายและเฟสของ $H(\text{con})$ ที่ได้จากการทดสอบแสดงไว้ในภาคผนวก ๗ ในตาราง ๔.2



รูปที่ 4.17 ผลตอบสนองทางความถี่ของตัวชดเชยที่มีทรานสเฟอร์ฟังก์ชันอันดับสอง ที่ความถี่ในการสู่สัญญาณเท่ากับ 500 Hz

อภิปรายผลการทดสอบ

จากรูปที่ 4.17 จะเห็นได้ว่าอัตราขยายของทรานสเฟอร์ฟังก์ชันใน s-domain $H(s)$ และ z-domain $H(z)$ มีค่าเท่ากัน เนื่องจาก $H(z)$ มี dc gain เท่ากับ $H(s)$ คือ 1 (dc gain ของ $H(z) = 1.000986 \approx 1$) ดังที่ได้กล่าวแล้วว่าการแปลงแบบทุกดินจะต้องมีการปรับ dc gain (K_d) ที่คุณควรอยู่กับ $H(z)$ เพื่อทำให้ $H(z)$ มี dc gain เท่ากับ $H(s)$ ดังเดิม ส่วนอัตราขยายที่ได้จากการอนุวัต โดยใช้ค่าอนุรพลเลอร์บอร์ด $H(\text{con})$ จะใกล้เคียงกับ $H(s)$ และ $H(z)$ มาก หนึ่งกับกรณีของตัวชดเชยที่มีทรานสเฟอร์ฟังก์ชันอันดับหนึ่ง

จากรูปเดียวกันจะเห็นได้ว่าเฟสของ $H(\text{con})$ จะเกากรุ่มกระจายอยู่กับ $H(z)$ มากกว่า ลักษณะการกระจายได้กล่าวแล้วในส่วนของการอภิปรายผลการทดสอบในหัวข้อ 4.4.2

สรุปผลการทดสอบ

การอนุวัตตัวชดเชยด้วยคอนโทรลเลอร์บอร์ด BL1120 (Little Giant) ให้อัตราขยายและเฟสใกล้เคียงกับ $H(z)$ มาก เมื่องมาจากการอนุวัตตัวชดเชยนี้มีรากฐานมาจาก $H(z)$ และ $H(z)$ นี้ได้มาจากการแปลงโดยใช้เทคนิคของทุสตินที่ทำการปรับแก้อาการ โถ่ทางความถี่แล้ว ซึ่งในการแปลงแบบทุสตินนี้จะต้องมีการปรับ dc gain ของ $H(s)$ ให้เท่ากับ $H(z)$ ก่อนนำมาใช้งานจริง นอกจากนั้นผลการทดสอบได้แสดงให้เห็นว่าหลังจากทำการปรับแก้อาการ โถ่ทางความถี่และปรับ dc gain แล้ว การแปลงแบบทุสตินจะให้ผลที่ใกล้เคียงกับ s-domain มาก

บทที่ 5

ข้อสรุปและข้อเสนอแนะ

ในบทนี้จะกล่าวถึงข้อสรุปและข้อเสนอแนะต่างๆ ที่เกี่ยวกับการอนุวัตตัวชดเชย โดยมีรายละเอียดดังต่อไปนี้

5.1 ข้อสรุป

1. โครงสร้างที่ใช้ในการอนุวัตตัวชดเชย จะเหมือนกับโครงสร้างของตัวกรองความถี่แบบติดต่อชนิด IIR (Infinite Impulse Response) เนื่องมาจากตัวชดเชยที่ใช้งานกันส่วนใหญ่จะอนุวัตตามจากทรานสเฟอร์ฟังก์ชันที่อยู่ในรูปที่มีโพลและเซิร์โร่
2. เทคนิคการแปลงทรานสเฟอร์ฟังก์ชันใน s-domain ไปเป็น z-domain แบบทุสตินนั้นจะต้องทำการปรับค่า dc gain ก่อนนำมาใช้งานจริง โดยจะต้องทำให้ค่า dc gain ที่คูณควบอยู่กับ $H(z)$ มีค่าเท่ากับ dc gain ใน $H(s)$ นอกจากนั้นการแก้อาการโก้งทางความถี่ (frequency prewarping) เนื่องมาจากการแปลงแบบทุสตินทำให้ค่า $H(s)$ ใกล้เคียงกับ $H(z)$ มากขึ้น
3. การอนุวัตตัวชดเชยค่วยคอนโทรลเลอร์บอร์ด BL1120 (Little Giant) ให้อัตราขยายและเฟสไกล์เดียวกับ $H(z)$ มากกว่า เนื่องจากโครงสร้างที่นำมาใช้ในการอนุวัตมีรากฐานมาจากทรานสเฟอร์ฟังก์ชันใน z-domain
4. ช่วงความถี่ที่ใช้งานได้ของ การอนุวัตตัวชดเชยถูกจำกัดด้วยคุณสมบัติของคอนโทรลเลอร์บอร์ด BL1120 (Little Giant) ที่ให้อัตราขยายเท่ากันและรูปสัญญาณไม่ผิดเพี้ยนในช่วงความถี่หนึ่ง

5.2 ข้อเสนอแนะ

การพัฒนาโปรแกรมการอนุวัตตัวชุดเชยให้มีประสิทธิภาพและความถูกต้องมากยิ่งขึ้นเพื่อให้สามารถนำไปใช้งานได้จริงนั้นสามารถทำการปรับปรุงและเพิ่มเติมได้ดังนี้

1. ถ้าต้องการให้รูปสัญญาณเรียบขึ้นหรือการเป็นขั้นบันไดลดน้อยลง สามารถเพิ่ม Low-pass filter ที่ด้านเอาท์พุทก่อนที่จะส่งสัญญาณออก แต่ในขณะเดียวกันเมื่อทำการเพิ่ม Low-pass filter แล้วย่อมมีผลกระทบทางด้านอัตราขยายและเฟสตามมาจากการตัว Low-pass filter เอง ดังนั้นทางด้านส่งสัญญาณออกควรมีอุปกรณ์ที่ช่วยทำให้อัตราขยายและเฟสของสัญญาณเท่ากับอัตราขยายที่แท้จริง (actual gain, G_{act}) และเฟสที่แท้จริง ที่ความถี่ในการสุ่มสัญญาณ
2. เทคนิคการแปลงทรานสเฟอร์ฟังก์ชันมีด้วยกันหลายเทคนิค ในการนำไปประยุกต์ใช้งานทางเวลาจริง (real-time) อาจใช้เทคนิคอื่นที่เหมาะสมกว่าได้ เช่น Schneider's rule เป็นต้น
3. การกวัดแก่วงแบบดำเนินตัว (Sustained oscillation) จะมีผลค่อนข้างมากในการใช้งานทรานสเฟอร์ฟังก์ชันอันดับสูง ๆ ผู้ใช้งานต้องทำการเพิ่มความไวเซอร์เพ้าไปในโครงสร้างการอนุวัตเพื่อลดการกวัดแก่วงดังกล่าว

បរចាំនូករម

- Andreas A. (1938). Digital Filters: analysis, design, and applications, 2nd edition. New York : McGraw-Hill, Inc.
- Bishop, R. H. and Dorf, R. C. Modern Control Systems. New York: Addison Wesley, Inc.
- Dynamics C 5.x: Technical Reference. (1998). Z-World, Inc.: The United States of America.
- Dynamics C 5.x: Function Reference. (1998). Z-World, Inc.: The United States of America.
- Dynamics C 5.x: Application Framework. (1998). Z-World, Inc.: The United States of America.
- Hartley, T. T., Beale, G. O. and Chicatelli, S. P. (1964). Digital Simulation of Dynamics System: a control theory approach. Englewood Cliffs NJ: Prentice-Hall
- Ifeachor, E. C. and Jervis, B. W. (1993). Digital Signal Processing: a practical approach. Dorset: Addison-Wesley Publishing Company Inc.
- Ingle, V. K. and Proakis, J. G. Digital Signal Processing Using MATLAB V.4. Boston: PWS Publishing Company.
- Kuo, B. C. (1930). Digital Control Systems. New York: Holt, Rinehart and Winston
- Little Giant: C-Programmable Miniature Controller. (1995). Z-World, Inc.: The United States of America.
- Mitra, S. K. and Kaiser, J. F. (1993). Handbook for digital signal processing. New York: J. Wiley & Sons.

ภาคผนวก

ภาคผนวก ก

โปรแกรมการอนุวัตตัวชุดเบย์ที่มีกรานสเพอร์ฟงก์ชันอันดับหนึ่ง

โปรแกรมการอนุวัตตัวชุดเชยที่มีกรานสเฟอร์ฟงก์ชันอันดับหนึ่ง

(โปรแกรม order1.c ในไกดานามิกส์ชี)

- * โปรแกรมการอนุวัตตัวชุดเชยที่มีกรานสเฟอร์ฟงก์ชันอันดับหนึ่ง
 - * จัดทำโดย : นางสาวศศิธร อันรักกษ์ปัญญา B3904602
 - * อาจารย์ที่ปรึกษา : รศ.ดร. สราวนุพิ สุจิตร
 - * อาจารย์สมศักดิ์ วนิชอนันต์รัช
 - * ลิขสิทธิ์เป็นของมหาวิทยาลัยเทคโนโลยีสุรนารี, พ.ศ. 2543
-

```
#use drivers.lib
#use stdio.lib
#use bl11xx.lib
#use vdriver.lib
```

```
shared int yn1,yn,xn1,xn,ynn;      /* used by interrupt routine and main */
shared float a11,b11;
shared char eval;
shared unsigned long int counter;   /* shared between different interrupt levels */
```

```
main()
```

```
{
    outport(DCNTL,0x30);

    yn1=0;
    yn=0;
    xn1=0;
    xn=0;
    ynn=0;
    a11=0;
    b11=0;
    eval=0;

    a11 = -0.970442;          /* initialize coefficients */
    b11 = -0.980197;          /* sampling interval at 1 msec */

    setdaisy(3);              /* setup KIO daisy chain */
    setctc(2,1,48,1);         /* initialize ctc,enable interrupts */
    counter=0;
    while(1)
    {
        hitwd();
        if(eval)
        {
            evaluate();
            eval=0;
```

```
        }
        outport(ENB485,!((counter&64));    /* flash light */
    }
}
/*.....*/
#INT_VEC CTC2_VEC ccc          /* set interrupt vector for interrupt routine */

/* this interrupt routine sets eval to 1 */

interrupt reti ccc()
{
    eval=1;
    counter++;
}

***** FILTER_1 *****
evaluate1()
{
    xn=ad_rd12(6);                  /* 12 bit ADC ( channel 6, bipolar) */
    yn=xn+(a11*xn1)-(b11*yn1);    /* difference equation */
    xn1=xn;                         /* shift and save delay data */
    yn1=yn;
    ynn=yn/1.35;                   /* DAC (output) */
    wdac(ynn);
}
/*.....*/
```

ภาคผนวก ข

โปรแกรมการอนุวัตตัวชุดเบย์ที่มีกรานสเพอร์ฟิงก์บันอันดับสอง

โปรแกรมการอนุวัตตัวชุดเชยที่มีกรานสเฟอร์ฟังก์ชันอันดับสอง

(โปรแกรม order2.c ในไดนามิกส์ซี)

- * โปรแกรมการอนุวัตตัวชุดเชยที่มีกรานสเฟอร์ฟังก์ชันอันดับสอง
 - * ขัดทำโดย : นางสาวศศิธร อนุรักษ์ปัญญา B3904602
 - * อาจารย์ที่ปรึกษา: รศ.ดร. สรวุฒิ สุจิตร
 - * อาจารย์สมศักดิ์ วานิชอนันต์ชัย
 - * ลิบสิทธิ์เป็นของมหาวิทยาลัยเทคโนโลยีจุฬาภรณ์, พ.ศ. 2543
-

```
#use drivers.lib
#use stdio.lib
#use bl11xx.lib
#use vdriver.lib
```

```
shared int yn1,yn,xn1,xn,yn2,xn2,ynn;
/* declare variables that used by interrupt routine and main */
shared float a11,b11,a21,b21;
shared char eval;
shared unsigned long int counter; /* shared between different interrupt levels */

main()
{
    outport(DCNTL,0x30);

    xn=0;
    yn=0;
    xn1=0;
    xn2=0;
    yn1=0;
    yn2=0;
    ynn=0;
    a11=0;
    a21=0;
    b11=0;
    b21=0;
    eval=0;

    a11 = -0.485331; /* initialize coefficients at 1 kHz sampling rate */
    a21 = 0.239025;
    b11 = -0.486289;
    b21 = 0.239740;

    setdaisy(3); /* setup KIO daisy chain */
    setctc(2,1,96,1); /* initialize ctc,enable interrupts */
    counter=0;
```

```

while(1)
{
    hitwd();
    if(eval)
    {
        evaluate2();
        eval=0;
    }
    outport(ENB485,!((counter&64)); /* flash light */
}
/*.....*/
#INT_VEC CTC2_VEC ccc /* set interrupt vector for interrupt routine */
/* this interrupt routine sets eval to 1 */

interrupt reti ccc()
{
    eval=1;
    counter++;
}

***** FILTER_2 *****/
evaluate2()
{
    xn=ad_rd12(6); /* 12 bit ADC ( channel 6, bipolar) */

    yn=xn+(a11*xn1)+(a21*xn2)-(b11*yn1)-(b21*yn2);
                /* difference equation */
    xn2=xn1; /* shift and save delay data */
    xn1=xn;
    yn2=yn1;
    yn1=yn;

    ynn=yn+2047;
    ynn=ynn/1.32;
    wdac(ynn); /* DAC (output) */
    hitwd();
}

/*.....*/

```

ภาคผนวก ค

โปรแกรมการแปลงกรานสเฟอร์ฟังก์ชันจาก s-domain ไปเป็น z-domain แบบทุสติน

โปรแกรมการแปลงทรายสเฟอร์ฟังก์ชันจาก s-domain ไปเป็น z-domain แบบทุสติน

(โปรแกรม tustin.m ใน Matlab)

- * โปรแกรมการแปลงทรายสเฟอร์ฟังก์ชันจาก s-domain ไปเป็น z-domain
 - * จัดทำโดย : นางสาวศศิธร อนุรักษ์ปัญญา B3904602
 - * อาจารย์ที่ปรึกษา : รศ.ดร. สราเวชิ สุจิตร
 - * อาจารย์สมศักดิ์ วานิชอนันต์ชัย
 - * ลิขสิทธิ์เป็นของมหาวิทยาลัยเทคโนโลยีสุรนารี , พ.ศ. 2543
-

```
disp('Relation of Tustin for coefficients');
disp('Select order of transfer function `1 or 2:');
n=input('Enter order:');
```

```
if(n==1)
    disp('Transfer function for the first order compensator:');
    disp('      s+a');
    disp('G(s)= -----');
    disp('      s+b');
    h=input('Enter h in second: ');
    a=input ('Enter for a:');
    b=input ('Enter for b:');
```

```
m=2/h;
alpha=m*tan(a*h/2);
beta=m*tan(b*h/2);
e=alpha*h;
f=beta*h;
a0=e+2;
a1=(e-2);
b0=f+2;
b1=(f-2);
fprintf('a0=%f\n a1=%f\n b0=%f\n b1=%f\n',a0,a1,b0,b1);
c1=a0./b0;
a11=a1./a0;
b11=b1./b0;
```

```
disp('      1+a11*z^(-1)');
disp('G(z)= c1 -----');
disp('      1+b11*z^(-1));
```

```
disp('y(n) = x(n) + a11*x(n-1) - b11*y(n-1)');
fprintf('c1=%f\n a11=%f\n b11=%f\n',c1,a11,b11);
```

```
else
    disp('Transfer function for the second order compensator:');
```

```

disp('      (s^2+cs+d)');
disp('G(s)= -----');
disp('      (s^2+as+b)');
h=input('Enter h in unit:');
a=input('Enter for a:');
b=input('Enter for b:');
c=input('Enter for c:');
d=input('Enter for d:');
bn=sqrt(b);
dn=sqrt(d);
wp=h*bn/2;
wz=h*dn/2;
m=2/h;
wp=m*tan(wp);
wz=m*tan(wz);

r=c./dn*wz;
w=a./bn*wp;
a_0=2*r*h;
b_0=2*w*h;
a0=4+a_0;
a1=-8./a0;
a2=(4-a_0)./a0;
b0=4+b_0;
b1=-8./b0;
b2=(4-b_0)./b0;

fprintf('a0=%f\n a1=%f\n a2=%f\n b0=%f\n b1=%f\n b2=%f\n',a0,a1,a2,b0,b1,b2);

c2=a0./b0;
a11=a1./a0;
a21=a2./a0;
b11=b1./b0;
b21=b2./b0;

disp('      1+a11*z^(-1)+a21*z^(-2)');
disp('G(z)= c2 -----');
disp('      1+b11*z^(-1)+b21*z^(-2)');

disp('y(n) = x(n) + a1*x(n-1) + a2*x(n-2) - b1*y(n-1) - b2*y(n-2)');
fprintf('c2 = %f \n a11 = %f \n a21 = %f \n b11 = %f \n b21 = %f \n'
,c2,a11,a21,b11,b21);
end

```

ภาคผนวก ง

โปรแกรมทดสอบการรับและส่งสัญญาณด้วยคอนโทรลเลอร์บอร์ด BL1120 (Little Giant)

โปรแกรมทดสอบการรับและส่งสัญญาณด้วยคอนโทรลเลอร์บอร์ด BL1120 (Little Giant)
 (โปรแกรม ADCDAC.c ในไดนามิกส์ชี)

- * โปรแกรมทดสอบการรับและส่งสัญญาณด้วยคอนโทรลเลอร์บอร์ด BL1120 (Little Giant)
- * จัดทำโดย : นางสาวศศิธร อันรุกษ์ปัญญา B3904602
- * อาจารย์ที่ปรึกษา: รศ.ดร. สราเวศ สุจิตร
- * อาจารย์สมศักดิ์ วนิชอนันต์ชัย
- * ลิขสิทธิ์เป็นของมหาวิทยาลัยเทคโนโลยีสุรนารี, พ.ศ. 2543

```
#use drivers.lib
#use stdio.lib
#use bl11xx.lib
#use vdriver.lib

shared int xn;                      /* used by interrupt routine and main */
shared char eval;
shared unsigned long int counter;     /* shared between different interrupt levels */

main()
{
    outport(DCNTL,0x30);
    xn=0;

    setdaisy(3);                     /* setup KIO daisy chain */
    setctc(2,1,96,1);                /* initialize ctc,enable interrupts */
    counter=0;
    while(1)
    {
        hitwd();
        if(eval)
        {
            test();
            eval=0;
        }
        outport(ENB485,! (counter&64)); /* flash light */
    }
}

/*.....*/
#INT_VEC CTC2_VEC ccc             /* set interrupt vector for interrupt routine */

/* this interrupt routine sets eval to 1 */

interrupt reti ccc()
```

```
{  
    eval=1;  
    counter++;  
}  
  
test()  
{  
    xn=ad_rd12(6);           /* 12 bit ADC ( channel 6, bipolar) */  
    wdac(xn);                /* DAC (output) */  
}  
  
/*.....*/
```

ภาคผนวก จ

ผลการทดสอบโปรแกรมการรับและส่งสัญญาณด้วยคอนโทรลเลอร์บอร์ด BL1120 (Little Giant)

ตาราง จ.1 ค่าอัตราขยายและช่วงความถี่ที่มีค่าอัตราขยายเท่ากันจากการทดสอบการรับและส่งสัญญาณด้วยคอนโทรลเลอร์บอร์ด ที่ความถี่ในการสุ่มสัญญาณ 1 kHz โดยทำการเปลี่ยนแปลงขนาดของสัญญาณอินพุต พร้อมแสดงค่าเฉลี่ยที่นำไปใช้ในการอนุวัด

แรงดันอินพุต (V _{in})	แรงดันเอาท์พุต (V _{out})	อัตราขยาย	อัตราขยาย (dB)	ช่วงความถี่ที่มีอัตราขยายเท่ากัน	
				f _{min}	f _{max}
0.216	0.292	1.352	2.619	0	200.0
0.224	0.304	1.357	2.653	0	203.0
0.232	0.315	1.358	2.656	0	201.6
0.240	0.320	1.333	2.499	0	199.7
0.248	0.336	1.355	2.638	0	199.5
ค่าเฉลี่ย		1.351	2.613	0	200.8

ตาราง จ.2 ค่าอัตราขยายและช่วงความถี่ที่มีค่าอัตราขยายเท่ากันจากการทดสอบการรับและส่งสัญญาณด้วยคอนโทรลเลอร์บอร์ด ที่ความถี่ในการสุ่มสัญญาณ 500 Hz โดยทำการเปลี่ยนแปลงขนาดของสัญญาณอินพุต พร้อมแสดงค่าเฉลี่ยที่นำไปใช้ในการอนุวัด

แรงดันอินพุต (V _{in})	แรงดันเอาท์พุต (V _{out})	อัตราขยาย	อัตราขยาย (dB)	ช่วงความถี่ที่มีอัตราขยายเท่ากัน	
				f _{min}	f _{max}
0.216	0.296	1.352	2.619	0	104.3
0.224	0.296	1.321	2.421	0	99.8
0.232	0.296	1.276	2.116	0	101.2
0.240	0.320	1.333	2.499	0	100.8
ค่าเฉลี่ย		1.321	2.414	0	101.5

หมายเหตุ: f_{min} คือความถี่ต่ำสุดที่มีอัตราขยายเท่ากัน
f_{max} คือความถี่สูงสุดที่มีอัตราขยายเท่ากัน

ตารางที่ ๑.๓ ค่าอัตราขยายและเฟสที่ได้จากการโปรแกรมทดสอบการรับและส่งสัญญาณ
ตัวยコンโทรลเลอร์บอร์ด BL1120 (Little Giant) ที่ความถี่ในการสุ่มสัญญาณ
เท่ากับ 1 kHz และใช้สัญญาณอินพุทที่มีขนาด 0.216 V_{pp}

ความถี่ (Hz)	แรงดันอินพุท (V)	แรงดันออก (V)	อัตราขยาย	ค่าความดัน (dB)
1.449	0.216	0.292	1.352	2.619
4.95	0.216	0.292	1.352	2.619
6.173	0.216	0.292	1.352	2.619
13.51	0.216	0.292	1.352	2.619
25	0.216	0.292	1.352	2.619
29.07	0.216	0.292	1.352	2.619
31.25	0.216	0.292	1.352	2.619
33.56	0.216	0.292	1.352	2.619
65.79	0.216	0.292	1.352	2.619
100	0.216	0.292	1.352	2.619
131.6	0.216	0.292	1.352	2.619
169.5	0.216	0.296	1.370	2.737
200	0.216	0.296	1.370	2.737
ค่าเฉลี่ย		1.35	2.64	

ตารางที่ จ.4 ค่าอัตราขยายและเฟสที่ได้จากการโปรแกรมทดสอบการรับและส่งสัญญาณด้วยคอนโทรลเลอร์บอร์ด BL1120 (Little Giant) ที่ความถี่ในการสุ่มสัญญาณเท่ากับ 500 Hz และใช้สัญญาณอินพุตที่มีขนาด $0.216 \text{ V}_{\text{pp}}$

周波数 (Hz)	入力信号 (V)	出力信号 (V)	ゲイン (拡大倍率)	出力信号 (dB)
1.52	0.216	0.288	1.333	2.499
4.95	0.216	0.288	1.333	2.499
6.22	0.216	0.288	1.333	2.499
14.3	0.216	0.288	1.333	2.499
25.25	0.216	0.288	1.333	2.499
29.00	0.216	0.288	1.333	2.499
33.2	0.216	0.288	1.333	2.499
40.25	0.216	0.288	1.333	2.499
65.79	0.216	0.288	1.333	2.499
101.23	0.216	0.288	1.333	2.499
平均値		1.33		2.50

ภาคผนวก ฉ

โปรแกรมที่ใช้ทดสอบโปรแกรมการอนุวัติตัวชดเชยที่มีกรานสเฟอร์ฟังก์ชันอันดับหนึ่งและสอง

โปรแกรมที่ใช้ทดสอบโปรแกรมการอนุวัตตัวชดเชยที่มีกรานสเพอร์ฟิงก์ชันอันดับหนึ่งและสอง

(โปรแกรม test.m ใน Matlab)

- * โปรแกรมทดสอบการอนุวัตตัวชดเชยที่มีกรานสเพอร์ฟิงก์ชันอันดับหนึ่งและสอง
- * จัดทำโดย : นางสาวศศิธร อนรักนัยปัญญา B3904602
- * อาจารย์ที่ปรึกษา: รศ.ดร. สราเวศ สุจิตร
- * อาจารย์สมศักดิ์ วามิชอนันต์ชัย
- * ลิขสิทธิ์เป็นของมหาวิทยาลัยเทคโนโลยีสุรนารี, พ.ศ. 2543

```
disp('Select order of the compensator 1 or 2');
n=input('Enter order:');
```

```
if(n==1)
    disp('      s+a');
    disp('G(s)= ----');
    disp('      s+b');
```

```
h=input('Enter h in second unit: ');
a=input ('Enter for a:');
b=input ('Enter for b:');
```

```
disp('      1+a1*z^(-1)');
disp('G(z)= c1 -----');
disp('      1+b1*z^(-1));
```

```
disp('y(n) = x(n) + a1*x(n-1) - b1*y(n-1)');
```

```
m=2/h;
alpha=m.*tan(a*h/2);
beta=m.*tan(b*h/2);
e=alpha.*h;
f=beta.*h;
a0=e+2;
a1=(e-2);
b0=f+2;
b1=(f-2);
```

```
c1=a0./b0;
a11=a1./a0;
b11=b1./b0;
```

```
zero=[a0 a1];
pole=[b0 b1];
[H,F]=freqz(zero,pole,2500,(1/h));
```

```
nums=[1 a];
dens=[1 b];
```

```

[mag pha w]= bode(nums,dens);
db=[3.522 3.522 3.522 3.522 3.414 3.414 3.414 3.305 3.194 3.194 2.737 2.254
1.610 1.200 0.915 0.915 0.621 0.621 0.545 0.316 0.159 0.159 0.000 0.000];

f=[0.0980 0.2315 0.3165 0.4167 0.5319 0.6024 0.7463 0.8333 0.9346 1.1630
2.174 2.89 4.032 5.051 6.024 7.143 8 9.174 10 21.74 31.25 39.68 70.42 100];

subplot(2,1,1); semilogx(w/(2*pi),20*log10(mag),'bo',F,20*log10(H),'r-',f,db,'m.');
%H(s),H(z),H(con)
axis([1/10 1000 -0.5 6]);
grid on;

title('Frequency response test for the first order compensator');
xlabel('frequencies (Hz)'); ylabel('magnitude (dB)');
legend('H(s)', 'H(z)', 'H(con)', 0);

phase=-[1.058 1.667 2.279 2.700 3.064 3.904 4.299 4.800 5.383 6.699 9.392
11.444 11.612 10.910 10.843 10.286 8.640 8.257 7.920 3.913 3.375 2.857
1.268 1.080];

subplot(2,1,2); semilogx(w/(2*pi),pha,'bo',F,angle(H)*180/pi,'r-',f,phase,'m.');
%phase of H(s),H(dsp)
axis([1/10 1000 -15 0]);

xlabel('frequencies (Hz)'); ylabel('phase (degree)');
legend('H(s)', 'H(z)', 'H(con)', 0);
grid;

else
    disp('      (s^2+cs+d)');
    disp('G(s)= -----');
    disp('      (s^2+as+b)');
    h=input('Enter h in second unit:');
    a=input('Enter for a:');
    b=input('Enter for b:');
    c=input('Enter for c:');
    d=input('Enter for d');

    disp('      1+a11*z^(-1)+a21*z^(-2)');
    disp('G(z)= c2 -----');
    disp('      1+b11*z^(-1)+b21*z^(-2)');

    disp('y(n) = x(n) + a1*x(n-1) + a2*x(n-2) - b1*y(n-1) - b2*y(n-2)');

    bn=sqrt(b);
    dn=sqrt(d);
    wp=h*bn/2;
    wz=h*dn/2;
    m=2/h;

```

```

wp=m.*tan(wp);
wz=m.*tan(wz);

r=c./dn*wz;
w=a./bn*wp;
a_0=2*r*h;
b_0=2*w*h;
a0=4+a_0;
a1=-8;
a2=(4-a_0);
b0=4+b_0;
b1=-8;
b2=(4-b_0);

c2=a0./b0;
a11=a1./a0;
a21=a2./a0;
b11=b1./b0;
b21=b2./b0;

zeros=[a0 a1 a2]; poles=[b0 b1 b2];
[H,F]=freqz(zeros,poles,15000,(1/h));

num=[1 c d]; den=[1 a b];
[mag pha w]= bode(num,den);

db=[0.962 0.962 0.962 0.962 0.962 0.962 0.889 0.816 0.742 0.668 0.592 0.592
0.517 0.363 0.363 0.206 0.127 0.127 0.047 0.047 0.047 0.047 0.047 0.047];

f=[0.4854 0.6579 0.8065 0.9009 1.19 1.736 1.953 2.941 4.31 5.263 6.173 7.463
8.475 9.346 10.42 20 31.65 39.68 54.95 60.21 70.85 82.31 97.09];

subplot(2,1,1); semilogx(w/(2*pi),20*log10(mag),'bo',F,20*log10(H),'r-',f,db,'m.');
%H(s),H(z),H(con)
axis([1/100 1000 -1 2]);
grid on;

title('Frequency response test for the second order compensator');
xlabel('frequencies (Hz)'); ylabel('magnitude (dB)');
legend('H(s)', 'H(z)', 'H(con)', 0);

phase=-[0.280 0.474 0.581 0.649 0.857 0.937 1.406 1.694 2.483 2.653 2.667
2.955 2.929 2.927 2.813 2.232 1.595 1.143 1.187 0.867 0.765 0.593 0.350];

subplot(2,1,2); semilogx(w/(2*pi),pha,'bo',F,angle(H)*180/pi,'r-',f,phase,'m.');
%phase of H(s),H(dsp)
xlabel('frequencies (Hz)'); ylabel('phase (degree)');
legend('H(s)', 'H(z)', 'H(con)', 0);

```

```
axis([1/100 1000 -3 0]);
```

```
grid;
```

```
end
```

ภาคผนวก ช

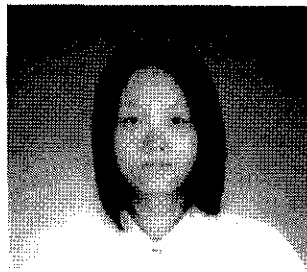
ค่าอัตราขยายและเพิ่มที่ได้จากการทดสอบโปรแกรมการอนุวัตตัวชุดเซย์ที่มีกรานสเฟอร์ฟังก์ชัน
อันดับหนึ่งและสอง

**ตารางที่ ช.1 ค่าอัตราขยายและเฟสที่ได้จากการทดสอบตัวชุดเชยที่มีกรานสเพอร์ฟังก์ชัน
อันดับหนึ่ง ที่ความถี่การสูมสัญญาณเท่ากับ 1 kHz**

ความถี่ (Hz)	G _{dsp}	G _{act}	G _{act} (dB)	ค่าลักษณะ	ไฟก (degree)
0.0980	1.493	1.5000	3.522	lag	1.058
0.2315	1.493	1.5000	3.522	lag	1.667
0.3165	1.493	1.5000	3.522	lag	2.279
0.4167	1.493	1.5000	3.522	lag	2.700
0.5319	1.474	1.4815	3.414	lag	3.064
0.6024	1.474	1.4815	3.414	lag	3.904
0.7463	1.474	1.4815	3.414	lag	4.299
0.8333	1.456	1.4630	3.305	lag	4.800
0.9346	1.437	1.4444	3.194	lag	5.383
1.1630	1.437	1.4444	3.194	lag	6.699
2.174	1.364	1.3704	2.737	lag	9.392
2.890	1.290	1.2963	2.254	lag	11.444
4.032	1.198	1.2037	1.610	lag	11.612
5.051	1.142	1.1481	1.200	lag	10.910
6.024	1.106	1.1111	0.915	lag	10.843
7.143	1.106	1.1111	0.915	lag	10.286
8.000	1.069	1.0741	0.621	lag	8.640
9.174	1.069	1.0741	0.621	lag	8.257
10.000	1.060	1.0648	0.545	lag	7.920
21.74	1.032	1.0370	0.316	lag	3.913
31.25	1.013	1.0185	0.159	lag	3.375
39.68	1.013	1.0185	0.159	lag	2.857
70.42	0.995	1.0000	0.000	lag	1.268
100.00	0.995	1.0000	0.000	lag	1.080

ตารางที่ ช.2 ค่าอัตราขยายและเฟสที่ได้จากการทดสอบตัวชุดเชยที่มีทรานส์ฟอร์มิ่งก์ชัน อันดับสอง ที่ความถี่การสูบสัญญาณเท่ากับ 500 Hz

ความถี่ (Hz)	G_{disp}	G_{act}	G_{act} (dB)	ชนิดของไฟล์	ไฟล์ (degree)
0.4854	1.0657	1.0715	0.600	lag	0.750
0.6579	1.0596	1.0654	0.550	lag	1.000
0.8065	1.0560	1.0617	0.520	lag	1.200
0.9009	1.0560	1.0617	0.520	lag	1.300
1.1900	1.0535	1.0593	0.500	lag	1.700
1.736	1.0415	1.0471	0.400	lag	2.020
1.953	1.0451	1.0508	0.430	lag	2.000
2.941	1.0248	1.0304	0.260	lag	1.900
4.310	1.0119	1.0174	0.150	lag	1.500
5.263	1.0119	1.0174	0.150	lag	1.400
6.173	1.0061	1.0116	0.100	lag	1.200
7.463	1.0061	1.0116	0.100	lag	1.000
8.475	1.0003	1.0058	0.050	lag	1.000
9.346	1.0003	1.0058	0.050	lag	0.800
10.42	0.9969	1.0023	0.020	lag	0.900
20.00	0.9946	1.0000	0.000	lag	0.500
31.65	0.9946	1.0000	0.000	lag	0.200
39.68	0.9946	1.0000	0.000	lag	0.200
54.95	0.9946	1.0000	0.000	lag	0.050
60.21	0.9946	1.0000	0.000	lag	0.100
70.85	0.9946	1.0000	0.000	lag	0.060
82.31	0.9946	1.0000	0.000	lag	0.050
97.09	0.9946	1.0000	0.000	lag	0.050



นางสาวศศิธร อนุรักษ์ปัญญา
เกิดวันที่ 15 กันยายน พ.ศ. 2521
ภูมิลำเนาอยู่ที่จังหวัดนนทบุรี

ประวัติการศึกษา

- สำเร็จการศึกษาชั้นประถมศึกษาจากโรงเรียนวัดมหาพฤฒาราม กรุงเทพมหานคร
- สำเร็จการศึกษาชั้นมัธยมศึกษาตอนต้นจากโรงเรียนเบญจมราชลัย กรุงเทพมหานคร
- สำเร็จการศึกษาชั้นมัธยมศึกษาตอนปลายจากศูนย์การศึกษานอกโรงเรียน โรงเรียนกรุงเทพมหานคร 2
- ปัจจุบัน เป็นนักศึกษาชั้นปีที่ 4 สาขาวิชารัฐศาสตร์ สำนักวิชารัฐศาสตร์ มหาวิทยาลัยเทคโนโลยีสุรนารี จังหวัดนครราชสีมา